

11-168

8

АЗЭРБАЙЧАН ССР ЕЛМЛЭР АКАДЕМИЈАСЫ
АКАДЕМИЯ НАУК АЗЕРБАЙДЖАНСКОЙ ССР

МЭРҮЗАЛЭР ДОКЛАДЫ

ТОМ XXX ЧИЛД

8

„ЕЛМ“ НЭШРИЛТАТЫ
ИЗДАТЕЛЬСТВО „ЭЛМ“
БАКЫ—1974—БАКУ

МҮЭЛЛИФЛӘР ҮЧҮН ГАЈДАЛАР

1. «Азәрбайчан ССР Елмләр Академијасыны Мә'рүзәләри»ндә нәзәри вә тәчрүби әһәмијәттә малик елми-тәдгигатларын тамамлаймыш вә һәлә дәрч едилмәмиш иәтичәләри һагтында гыса мә'лumatlar чар олунур.

«Мә'рүзәләр»дә меканик сурәтдә бир нечә айры-айры мә'лumatlar шәклини салыныш при һәчмәли мәгаләләр, јени фактик мә'лumatлардан мәһрум мубаһиса характеристи мәгаләләр, мүҗјән иәтичә вә үмумиләшдирилмәләрсиз көмәкчи тәчрүбәләрни тәсвириңдән ибарат мәгаләләр, гејри-принципиал, тәсвири вә ичмел характеристи ишләр, төснүжә едилән методу принципија јени олмајан сырф методик мәгаләләр, набелә битки вә һәвашларын систематикасына даир (елм үчүн хүсуси әһәмијәттә малик тапынтыларын тәсвири истиеси олмагла) мәгаләләр дәрч едилмір.

«Мә'рүзәләр»дә дәрч олунан мәгаләләр һәмни мә'лumatlaryn даһа кениш шәклинде башга иешрләрдә чар едилмәси үчүн мүэллифиң һүгугүнә элиндән алмыр.

2. «Мә'рүзәләр»ни редаксијасына дахил олан мәгаләләр жалызы ихтисас үзә бир иәффәр академик тәгдиматындан соңра редаксија һәј'ети тәрәфиндән нәзәрдән кечирилләр. Һәр бир академик илә 5 әдәдән соң олмамаг шәртиле мәгаләләр тәгдим едә биләр. Азәрбайчан ССР Елмләр Академијасыны мүхбир үзвләрнин мәгаләләр тәгдиматын гәбул олунур.

Редаксија академикләрдән хәниши едир ки, мәгаләләр тәгдим едәркән онларын мүэллифләрдән алынmasы тарихини, набелә мәгаләнин јерләшдириләчәни белмәнини адны көстәрсилләр.

3. «Мә'рүзәләр»дә бир мүэллиф илә 3 мәгалә дәрч етдира биләр.

4. «Мә'рүзәләр»дә шәкилләр дә дахил олмагла, мүэллиф вәргинин дөрддә бириңдән артыг олмајараг язы макинасында язылымыш 6—7 сәнифә һәчмидә (10000 чат ишарасы) мәгаләләр дәрч едилләр.

5. Бүтүн мәгаләләрни иницијис дилиндә ҳұласәси олмалыдыр; бундан башга, Азәрбајчан дилиндә язылана мәгаләләр рус дилиндә ҳұласә әлавә едилмәлиләр. Рус дилиндә язылана мәгаләләрни исә Азәрбайчан дилиндә ҳұласәси олмалыдыр.

6. Мәгаләнин сонуunda тәдгигат ишинин јерине јетирилдији елми идарәнин ады вә мүаллифи телефон нөмәрләрдә көстәрилмәлиләр.

7. Елми идарәләрдә апарылан тәдгигат ишләрнин иәтичәләрнин дәрч олунмасы үчүн елми идарәнин директорлыгуну ичазәси олмалыдыр.

8. Мәгаләләр (ҳұласәләр дә дахил олмагла) вәргини бир үзүнде ики хәтт ара бу раҳылараг язы макинасында чар едилмәли иккى нұхсә тәгдим едилмәлиләр. Дүстүрлар дөгиг вә айдын язылымалы, һәм дә бөյүк һәрфләрни алтында, кичикләрни исә ус түндән (гара гәләмлә) ики хәтт чәкилмәлиләр; јунаи элифбасы һәрфләрни гырмызы гәләмлә даирәләрә алмаг лазыымдыр.

9. Мәгаләдә ситет кәтирилән әдәбијат сәнифәнин ахырында чыхыш шәклинде дејиң элифба гајдасы илә (мүэллифиң фамилијасына көрә) мәгаләнин сонуunda мәтихәки исә над нөмәсі көстәрилмәкә үмуми сијаһы үзәр вәрилмәлиләр. Әдәбијатын сијаһын ашагыдағы шәкилдә тәртиб едилмәлиләр:

а) китаблар үчүн: мүэллифиң фамилијасы вә иницијалы, китабын бүтөн ады, чилд нөмәрсі, шәһәр, иешријат вә нөшр или;

б) мәчмууәләрдән (әсөрләрдә) мәгаләләр үчүн: мүэллифиң фамилијасы вә иницијалы, мәгаләнин ады, мәчмууәнин (әсөрләрни) ады, чилд, бурахылыш, нөшр олундуга, иешријат, ил, сәнифә;

в) журнал мәгаләләр үчүн: мүэллифиң фамилијасы вә иницијалы, мәгаләнин ады, журнальны ады, ил, чилд, нөмәр (бурахылыш), сәнифә көстәрилмәлиләр.

Дәрч едилмәмиш әсөрләр (heсебатлар вә елми идарәләрдә саҳланан диссертасијалар истиеси олмагла) исенад етмәк олмаз.

10. Шәкилләрни арха тәроғинде мүэллифиң фамилијасы, мәгаләнин ады вә шәкли нөмәсі көстәрилмәлиләр. Макинада язылымыш шәкиллалты сөзләр айрыча вәрәгдә тәдим едилләр.

11. Мәгаләләрни мүэллифләрни Унификасија олунмуш оиминлик таснифат үзә мәгаләләрни индексини көстәрмәли вә «Рефератив журнал» үчүн реферат әлавә етмәлиләр.

12. Мүэллифләр чәдвәлләрдә, график материалларда вә мәгаләнин мәтихәнде буяу дикәр рәгемләрни тәкәрар едилмәсін јол вермәмәлиләр.

Мәгаләләрни һәчмни кичик олдугу үчүн иәтичәләр жалызы зәрури һаллар берилләр.

13. Ики вә ja даһа чох мәгалә тәгдим едилдикдә опларын дәрчедилмә ардычыллығыны да көстәрмәк лазыымдыр.

14. Мәгаләләрни корректурасы, бир гајда олараг, мүэллифләре көндәрилмір. Коректура көндәрилдији тәгдирдә исә жалызы мәтбәә сәнивләрни дүзәлтмәк олар.

15. Редаксија мүэллифे пулсуз олараг мәгаләнин 15 нұхса айрыча оттискни вери-

МӘ'РҮЗӘЛӘР ДОКЛАДЫ

ТОМ XXX ЧИЛД

№ 8

РЕДАКЦИОННАЯ КОЛЛЕГИЯ:

Г. Б. Абдуллаев (главный редактор), Ш. А. Азизбеков,
 Г. А. Алиев, В. Р. Волобуев,
 А. И. Гусейнов, М. А. Дадашзаде (зам. главного редактора),
 М. А. Кашкай, А. С. Сумбатзаде, М. А. Топчибашев,
 Т. Н. Шахтахтинский, Г. Г. Зейналов (ответств. секретарь).

УДК 517.943

МАТЕМАТИКА

Б. А. МУСТАФАЛЕВ

К СПЕКТРАЛЬНОЙ ТЕОРИИ ФИНИТНО ВОЗМУЩЕННОГО
АНГАРМОНИЧЕСКОГО ОПЕРАТОРА НА ПОЛУОСИ

(Представлено академиком АН Азербайджанской ССР З. И. Халиловым)

1. Постановка задачи. Рассмотрим граничную задачу

$$-y'' - [x^2 - p(x)] y = \lambda y, \quad (1)$$

$$y(0) = 0, \quad 0 < x < \infty, \quad (2)$$

где $p(x)$ непрерывная, вещественная функция и $p(x) \equiv 0$ при $x > a > 0$. Пусть функции $\varphi(x, \lambda)$, $\theta(x, \lambda)$ являются решениями уравнения (1) со следующими начальными условиями:

$$\varphi(0, \lambda) = 0 \quad \varphi'(0, \lambda) = 1 \quad (3)$$

$$\theta(0, \lambda) = 1 \quad \theta'(0, \lambda) = 0. \quad (4)$$

Множество всех финитных функций из пространства $L_2(0, \infty)$ обозначим через K^2 , а $\varphi(x, \lambda)$ —преобразование Фурье функции $f(x) \in K^2$ —через $\hat{f}(\lambda)$:

$$\hat{f}(\lambda) = \int_0^\infty f(x) \varphi(x, \lambda) dx.$$

Известно [1], что для любого λ с $\operatorname{Im} \lambda \neq 0$ уравнение (1) имеет единственное решение

$\psi(x, \lambda) = \theta(x, \lambda) + m(\lambda) \varphi(x, \lambda)$,
 принадлежащее пространству $L_2(0, \infty)$. Причем, если $f(x) \in K^2$,
 $g(x) \in K^2$, то

$$\int_0^\infty f(x) g(x) dx = \frac{1}{\pi} \int_{-\infty}^\infty \hat{f}(\lambda) \hat{g}(\lambda) dM(\lambda),$$

где спектральная функция

$$M(\lambda) = \lim_{\sigma \rightarrow 0} \int_0^\lambda [-\operatorname{Im} m(s + i\sigma)] ds \quad \lambda = s + i\sigma.$$

В данной работе находится асимптотика нормированных собственных функций граничной задачи (1)–(2), с помощью которых определяется ее S -функция и исследуются ее свойства.

В данной заметке мы следуем работе [2], где проведено исследование аналитического продолжения функции Грина задачи (1)–(2).

© Издательство „ЭЛМ“, 1974 г.

Адрес: г. Баку, Коммунистическая, 10. Редакция „Докладов Академии наук Азербайджанской ССР“

2. S-функция и ее свойства. Рассмотрим задачу

$$-y'' - x^2 y = \lambda y, \quad (5)$$

$$y(0) = 0, \quad 0 < x < \infty. \quad (6)$$

Можно показать, что функция

$$\Phi_0(x, \lambda) = e^{-\frac{\lambda x}{2}} \int_0^x e^{\frac{\lambda z}{2}} \left[-\frac{z^2}{4} \frac{\lambda}{z^{2l}} - \frac{1}{2} \right] dz \quad (7)$$

является одним из решений уравнения (5) при любом λ с $\operatorname{Im} \lambda > 0$ и принадлежит $L_2(0, \infty)$.

Контур интегрирования в (7)—петля, которая простирается от $+\infty$, охватывает начало координат против часовой стрелки, затем опять уходит в $+\infty$.

Обозначим через $\Phi(x, \lambda)$ решение уравнения (1), совпадающее с $\Phi_0(x, \lambda)$ при $x \geq a$. Известно [3] существование такой функции $K(x, t)$, что

$$\Phi(x, \lambda) = \Phi_0(x, \lambda) + \int_x^{2a-x} K(x, t) \Phi_0(t, \lambda) dt. \quad (8)$$

Очевидно, что при любом λ с $\operatorname{Im} \lambda > 0$ функция

$$\Phi(x, \lambda) \in L_2(0, \infty).$$

Лемма 1. Производная $K_0(\lambda)$ от спектральной функции оператора, порожденного задачей (5)–(6), определяется по формуле

$$K_0(\lambda) = \frac{2\pi e^{\frac{\pi i \lambda}{2}}}{\operatorname{ch} \frac{\pi \lambda}{2} \left| \Gamma \left(\frac{\lambda}{4i} + \frac{1}{4} \right) \right|^2}. \quad (9)$$

Способом, приведенным в [4], можно показать, что производная $K(\lambda)$ от спектральной функции оператора, порожденного задачей (1)–(2), определяется так:

$$K(\lambda) = \frac{K_0(\lambda)}{\eta_1(\lambda) \eta_2(\lambda)}, \quad (10)$$

где

$$\eta_1(\lambda) = 1 + \int_0^{2a} K(0, t) F_0(t, \lambda) dt,$$

$$F_0(t, \lambda) = \frac{\Phi_0(t, \lambda)}{\Phi_0(0, \lambda)}$$

и $\eta_2(S) = \overline{\eta_1(S)}$ при действительных S .

Лемма 2. Если при $x \rightarrow a$

$$p(x) \sim C_0(a - x)^l, \quad (\text{A})^*$$

где $l \geq 0$, C_0 —фиксированные числа, то

$$K(0, S) = \frac{C_0}{2} \left(a - \frac{S}{2} \right)^{l+1} + 0 \left[\left(a - \frac{S}{2} \right)^{l+1} \right] \quad (11)$$

при $S \rightarrow 2a$.

Используя эту лемму можно доказать следующие утверждения.

Лемма 3. При любом $\epsilon > 0$, $|\arg \lambda| > \epsilon$ и $|\lambda| \rightarrow \infty$ вне S_n^a —кружков с центрами в точках $\pm(2n+1)i$, с радиусом малого постоянного $a > 0$, функции $\eta_1(\lambda)$, $\eta_2(\lambda)$ имеют асимптотику вида:

* В дальнейшем всегда будем считать, что условие (A) выполнено.

$$\eta_1(\lambda) = C_1 \frac{e^{-2i\sqrt{\lambda} a}}{(-i\sqrt{\lambda})^{l+2}} \Gamma(l+2) \left[1 + o\left(\frac{1}{\sqrt{\lambda}}\right) \right], \quad (12)$$

$$\eta_2(\lambda) = C_2 \frac{e^{+2i\sqrt{\lambda} a}}{(i\sqrt{\lambda})^{l+2}} \Gamma(l+2) \left[1 + o\left(\frac{1}{\sqrt{\lambda}}\right) \right]. \quad (13)$$

Следствие 1. При любом $b \geq 0$, $-b \leq \operatorname{Im} \lambda \leq b$, $|\lambda| \rightarrow \infty$ и $\operatorname{Re} \lambda \geq 0$, функции $\eta_1(\lambda)$, $\eta_2(\lambda)$ стремятся к единице.

Лемма 4. Функции $\eta_1(\lambda)$, $\eta_2(\lambda)$ являются мероморфными вполне регулярного роста [5] в областях:

$$\left\{ \lambda \mid |\arg \lambda| \leq \epsilon < \frac{\pi}{2} \right\}, \quad \left\{ \lambda \mid |\arg \lambda - \pi| \leq \epsilon < \frac{\pi}{2} \right\}.$$

Принимая во внимание приведенные выше утверждения, нетрудно проверить, что функция

$$u(x, \lambda) = \Phi(x, \lambda) \overline{\Phi_0(0, \lambda)} S(\lambda) - \overline{\Phi(x, \lambda)} \Phi_0(0, \lambda) \quad (14)$$

порождает равенство Парсеваля [2]

$$\int_{-\infty}^{\infty} u(x, \lambda) \overline{u(t, \lambda)} K_0(\lambda) d\lambda = \delta(x-t), \quad (14')$$

где $S(\lambda) = \frac{\eta_2(\lambda)}{\eta_1(\lambda)}$; ее назовем S-функцией граничной задачи (1)–(2).

Подставив в формулу (14) выражение $\Phi(x, \lambda)$ –(8), получим

$$u(x, \lambda) = [\Phi_0(x, \lambda) \overline{\Phi_0(0, \lambda)} S(\lambda) - \overline{\Phi_0(x, \lambda)} \Phi_0(0, \lambda)] + \\ + \int_x^{2a-x} K(x, t) [\Phi_0(t, \lambda) \overline{\Phi_0(0, \lambda)} S(\lambda) - \overline{\Phi_0(t, \lambda)} \Phi_0(0, \lambda)] dt. \quad (15)$$

Из последнего очевидно, что при $x \rightarrow \infty$ асимптотика $u(x, \lambda)$ определяется функцией $S(\lambda)$.

Лемма 5. S-функция граничной задачи (1)–(2) обладает свойствами:

а) $\overline{S(\lambda)} = S^{-1}(\lambda)$; при действительных λ ;

б) является мероморфной вполне регулярного роста в области x :

$$\left\{ \lambda \mid |\arg \lambda| \leq \epsilon < \frac{\pi}{2} \right\}, \quad \left\{ \lambda \mid |\arg \lambda - \pi| \leq \epsilon < \frac{\pi}{2} \right\};$$

в) при любом $b \geq 0$, $-b \leq \operatorname{Im} \lambda \leq b$, $\operatorname{Re} \lambda \geq 0$ и $|\lambda| \rightarrow \infty$ стремится к единице.

3. Основное уравнение. Умножим обе части равенства (15) на $f(\xi, \bar{\lambda}) K_0(\lambda)$, где

$$f(x, \lambda) = \Phi_0(x, \lambda) \overline{\Phi_0(0, \lambda)} S(\lambda) - \overline{\Phi_0(x, \lambda)} \Phi_0(0, \lambda).$$

Затем проинтегрируем по λ от $-\infty$ до $+\infty$. Учитывая равенство Парсеваля (14') и формулу (10), получим интегральное уравнение типа В. А. Марченко

$$F(x, \xi) + K(x, \xi) + \int_x^{2a-x} K(x, t) F(t, \xi) dt = 0,$$

где

$$F(x, \xi) = \int_{-\infty}^{\infty} \left[\frac{\Phi_0(x, \lambda) \Phi_0(\xi, \lambda) [1 - S(\lambda)]}{\Phi_0(0, \lambda)} \cdot \frac{\overline{\Phi_0(0, \lambda)}}{W_0(\lambda)} + \right. \\ \left. + \frac{\overline{\Phi_0(x, \lambda)} \overline{\Phi_0(\xi, \lambda)} [1 - \overline{S(\lambda)}]}{\overline{\Phi_0(0, \lambda)}} \cdot \frac{\Phi_0(0, \lambda)}{W_0(\lambda)} \right] d\lambda,$$

$$W_0(\lambda) = \Phi_0(0, \lambda) \overline{\Phi_0(0, \lambda)} - \Phi'_0(0, \lambda) \overline{\Phi_0(0, \lambda)}.$$

$$\begin{aligned}
&= \left(\int_{-\delta}^{\delta} + \int_{\delta}^l \right) \frac{(t'(\varepsilon) - t'(0))d\varepsilon}{|t(\varepsilon) - t(0)|^\alpha (t(\varepsilon) - t(0))} + \\
&+ t'(0) \int_{\delta}^l \frac{|t(\varepsilon) - t(0)|^\alpha (t(\varepsilon) - t(0) - t'(0)\varepsilon)}{|t(-\varepsilon) - t(0)|^\alpha (t(-\varepsilon) - \\
&- t(0)) |t(\varepsilon) - t(0)|^\alpha (t(\varepsilon) - t(0))} + \\
&+ (t'(0))^2 \int_{\delta}^l \frac{(|t(\varepsilon) - t(0)|^\alpha - |t(-\varepsilon) - t(0)|^\alpha) \varepsilon d\varepsilon}{|t(-\varepsilon) - t(0)|^\alpha (t(-\varepsilon) - t(0)) |t(\varepsilon) - t(0)|^\alpha (t(\varepsilon) - t(0))}.
\end{aligned}$$

Оценивая члены правой части последнего равенства, получим утверждение предложения 1.

Теорема 1. Пусть замкнутая жорданова спрямляемая кривая γ является "К-кривой". Если

$$\int_0^{l/2} \frac{\omega_u(\varepsilon)}{\varepsilon^{1+\alpha}} d\varepsilon < \infty,$$

то

$$\omega_v(\delta) \leq C_1 \left(\int_0^{\delta} \frac{\omega_u(\varepsilon)}{\varepsilon^{1+\alpha}} d\varepsilon + \delta \int_{\delta}^{l/2} \frac{\omega_u(\varepsilon)}{\varepsilon^{2+\alpha}} d\varepsilon + \delta^\alpha \int_{\delta}^{l/2} \frac{\omega_u(\varepsilon)}{\varepsilon^{1+2\alpha}} d\varepsilon \right)$$

$$\|v\|_{c_1} \leq C_2 \int_0^{l/2} \frac{\omega_u(\varepsilon)}{\varepsilon^{1+\alpha}} d\varepsilon,$$

где

$$v(t) = \int_{\gamma} \frac{u(\varepsilon) - u(t)}{|\varepsilon - t|^\alpha (\varepsilon - t)} d\varepsilon$$

C_1, C_2 —положительные числа, зависящие лишь от γ .

Утверждение теоремы следует из следующего представления и почленной оценки слагаемых в правой части

$$\begin{aligned}
v(t_1) - v(t_2) &= \int_{t_1}^l \frac{(u(\varepsilon) - u(t_1))d\varepsilon}{|\varepsilon - t_1|^\alpha (\varepsilon - t_1)} - \int_{t_1}^l \frac{(u(\varepsilon) - u(t_2))d\varepsilon}{|\varepsilon - t_2|^\alpha (\varepsilon - t_2)} + \\
&+ \int_{t_1}^l \frac{|\varepsilon - t_2|^\alpha - |\varepsilon - t_1|^\alpha}{|\varepsilon - t_1|^\alpha |\varepsilon - t_2|^\alpha (\varepsilon - t_2)} (u(\varepsilon) - u(t_1))(d\varepsilon + \\
&+ (t_1 - t_2) \int_{t_1}^l \frac{(u(\varepsilon) - u(t_1))d\varepsilon}{|\varepsilon - t_1|^\alpha (\varepsilon - t_1)(\varepsilon - t_2)} + \int_{t_1}^l \frac{|\varepsilon - t_2|^\alpha - |\varepsilon - t_1|^\alpha}{|\varepsilon - t_1|^\alpha |\varepsilon - t_2|^\alpha (\varepsilon - t_2)} \times \\
&\times (u(\varepsilon) - u(t_2))d\varepsilon + (t_1 - t_2) \int_{t_1}^l \frac{(u(\varepsilon) - u(t_2))d\varepsilon}{|\varepsilon - t_1|^\alpha (\varepsilon - t_1)(\varepsilon - t_2)} + \\
&+ (u(t_2) - u(t_1)) \left(\int_{t_1}^l \frac{d\varepsilon}{|\varepsilon - t_2|^\alpha (\varepsilon - t_2)} + \int_{t_1}^l \frac{d\varepsilon}{|\varepsilon - t_1|^\alpha (\varepsilon - t_1)} \right),
\end{aligned}$$

где точка t выбрана на γ так, чтобы $s(t_1, t) = s(t, t_2)$ и

$$t = t(0), \quad t_1 = t \left(l - \frac{s(t_1, t_2)}{2} \right), \quad t_2 = t \left(\frac{s(t_1, t_2)}{2} \right)$$

$$\tau_0 = t \left(\frac{l}{2} \right), \quad \tau_1 = t \left(\frac{l - s(t_1, t_2)}{2} \right), \quad \tau_2 = t \left(\frac{l + s(t_1, t_2)}{2} \right)$$

$$z_1 = t \left(l - \frac{3}{2} s(t_1, t_2) \right), \quad z_2 = t \left(\frac{3}{2} s(t_1, t_2) \right), \quad \gamma_0 = \overline{z_1 z_2}$$

$$\gamma_1 = \tau_0 \bar{\gamma}_1, \quad \gamma_2 = z_2 \bar{\gamma}_0.$$

* γ —"К-кривая" $\equiv (\exists \kappa > 0) (\forall t, \varepsilon \in \gamma) s(t, \varepsilon) < K |t - \varepsilon|$.

Через Φ обозначим множество положительных, почти возрастающих функций* $\varphi(\delta)$, определенных и непрерывных на $(0, l]$ таких, что $\frac{\varphi(\delta)}{\delta}$ почти убывающая и $\varphi(\delta) \rightarrow 0$ при $\delta \rightarrow 0$.

Множество положительных функций $\varphi(\delta)$, для которых сходится

$$\int_0^{l/2} \frac{\varphi(\varepsilon)}{\varepsilon^{1+\alpha}} d\varepsilon$$

обозначим через J . Для $\varphi \in \Phi \cap J$ введем оператор

$$Z(\delta, \varphi) = \int_0^{\delta} \frac{\varphi(\varepsilon)}{\varepsilon^{1+\alpha}} d\varepsilon + \delta \int_{\delta}^{l/2} \frac{\varphi(\varepsilon)}{\varepsilon^{2+\alpha}} d\varepsilon + \delta^\alpha \int_{\delta}^{l/2} \frac{\varphi(\varepsilon)}{\varepsilon^{1+2\alpha}} d\varepsilon,$$

который будем называть оператором типа Зигмунда.

Лемма 1. Для оператора типа Зигмунда справедливы утверждения:

1. $Z(\delta, \varphi)$ почти возрастает
2. $Z(\delta, \varphi) \rightarrow 0$ при $\delta \rightarrow 0$
3. $\frac{Z(\delta, \varphi)}{\delta}$ почти убывает
4. Если $\varphi_1(\delta) = 0 (\varphi_2(\delta))$, то $Z(\delta, \varphi_1) = 0 (Z(\delta, \varphi_2))^{**}$
5. Если $\varphi_1(\delta) \sim \varphi_2(\delta)$, то $Z(\delta, \varphi_1) \sim Z(\delta, \varphi_2)^{***}$
6. Если $\varphi_1(\delta) = 0 (\varphi_2(\delta))$, то $Z(\delta, \varphi_1) = 0 (Z(\delta, \varphi_2))$.

Пусть $\varphi \in \Phi$. Говорят, что функция $u(t)$, определенная на γ , принадлежит множеству H_φ , если

$$(\exists c > 0) \left(\forall \delta \in \left(0, \frac{l}{2} \right] \right) \omega_u(\delta) \leq c \varphi(\delta)$$

H_φ —бесконечномерная линейная система над полем комплексных чисел.

Если в H_φ ввести норму

$$\|u\|_\varphi = \|u\|_{c_1} + \sup_{\delta} \frac{\omega_u(\delta)}{\varphi(\delta)},$$

то H_φ становится банаевым пространством.

Непосредственно из теоремы следует

Теорема 2. Пусть замкнутая жорданова спрямляемая кривая γ является "К-кривой".

Если $\varphi \in \Phi \cap J$, то оператор

$$A_u = \int_{\gamma} \frac{u(\varepsilon) - u(t)}{|\varepsilon - t|^\alpha (\varepsilon - t)} d\varepsilon$$

действует из H_φ в $H_{Z(\delta, \varphi)}$ и ограничен, где $Z(\delta, \varphi)$ определяется равенством.

Предложение 2. Если $\varphi \in \Phi \cap J$, то $\frac{\varphi(\delta)}{\delta} = 0 (Z(\delta, \varphi))$.

* Неотрицательная функция $u(t)$ называется почти возрастающей, если $(\exists A > 0) (\forall t_1 < t_2) u(t_1) < Au(t_2)$

и $u(t)$ —почти убывающей, если $(\exists A > 0) (\forall t_1 < t_2) u(t_1) > Au(t_2)$

** $\varphi_1(\delta) = 0 (\varphi_2(\delta)) \equiv (\exists c > 0) \left(\forall \delta \in \left(0, \frac{l}{2} \right] \right) \varphi_1(\delta) \leq c \varphi_2(\delta)$.

*** $\varphi_1(\delta) \sim \varphi_2(\delta) \equiv \varphi_1(\delta) = C(\varphi_2(\delta)), \quad \varphi_2(\delta) = 0 (\varphi_1(\delta))$.

Обозначим

$$\Phi H = \left\{ \varphi \in \Phi \cap J \mid Z(\delta, \varphi) = 0 \left(\frac{\varphi(\delta)}{\delta^\alpha} \right) \right\}.$$

Заметим, что если $\varphi \in \Phi H$, то $Z(\delta, \varphi) \sim \frac{\varphi(\delta)}{\delta^\alpha}$.

Следствием теоремы 2 является.

Теорема 3. Пусть замкнутая жорданова спрямляемая кривая γ является "К-кривой". Если $\varphi \in \Phi H$, то оператор

$$Au = \int_1^t \frac{u(\varepsilon) - u(t)}{|\varepsilon - t|^\alpha (\varepsilon - t)} d\varepsilon$$

действует из H_φ в H_ψ и ограничен, где $\psi(\delta) = \frac{\varphi(\delta)}{\delta^\alpha}$.

Эта теорема является аналогом теоремы И. И. Привалова для сингулярного оператора

$$Au = \int_1^t \frac{u(\varepsilon) - u(t)}{|\varepsilon - t|^\alpha (\varepsilon - t)} d\varepsilon$$

Для гельдеровой шкалы пространств $H_\beta = H\delta^\beta$ имеем

Теорема 4. Если замкнутая жорданова спрямляемая кривая γ является "К-кривой", то оператор

$$Au = \int_1^t \frac{u(\varepsilon) - u(t)}{|\varepsilon - t|^\alpha (\varepsilon - t)} d\varepsilon$$

действует из H_β в $H_{\beta-\alpha}$ и ограничен, где $\beta > \alpha$ ($\beta > 0$).

Теорема 5. Если замкнутая жорданова спрямляемая кривая γ такова, что

$$\int_0^{l_1} \frac{\omega t^0(\varepsilon)}{\varepsilon^{1+\alpha}} d\varepsilon < \infty,$$

то

$$\begin{aligned} \omega_1(\delta) &\leq C \left(\int_0^{\delta} \frac{\omega t^0(\varepsilon)}{\varepsilon^{1+\alpha}} d\varepsilon + \delta^\alpha \int_{\delta}^{l_1} \frac{\omega t^0(\varepsilon)}{\varepsilon^{1+2\alpha}} d\varepsilon + \right. \\ &\quad \left. + \delta \int_{\delta}^{l_1} \frac{\omega t^0(\varepsilon)}{\varepsilon^{2+\alpha}} d\varepsilon + \int_{\delta}^{\mu-1(\delta^\alpha)} \frac{\omega t^0(\varepsilon)}{\varepsilon^{1+\alpha}} d\varepsilon \right), \end{aligned}$$

где

$$\bar{l}(t) = \int_1^t \frac{d\varepsilon}{|\varepsilon - t|^\alpha (\varepsilon - t)}$$

C —постоянное число, зависящее лишь от γ , $\mu(x) = x^\alpha \omega t^0(x)$.

Теорема 6. Пусть замкнутая жорданова спрямляемая кривая γ такова, что

$$\int_0^{l_1} \frac{\omega t^0(\varepsilon)}{\varepsilon^{1+\alpha}} d\varepsilon < \infty.$$

Если $\varphi \in \Phi \cap J$, то оператор

$$Bu = \int_1^t \frac{u(\varepsilon) d\varepsilon}{|\varepsilon - t|^\alpha (\varepsilon - t)}$$

действует из H_φ в $H_{\gamma(\gamma, \varphi)+1(\delta)}$ и ограничен, где $Z(\delta, \varphi)$ определяется равенством, а

$$f(\delta) = \int_0^{\delta} \frac{\omega t^0(\varepsilon)}{\varepsilon^{1+\alpha}} d\varepsilon + \delta \int_{\delta}^{l_1} \frac{\omega t^0(\varepsilon)}{\varepsilon^{2+\alpha}} d\varepsilon + \delta^\alpha \int_{\delta}^{l_1} \frac{\omega t^0(\varepsilon)}{\varepsilon^{1+2\alpha}} d\varepsilon + \int_0^{\mu-1(\delta^\alpha)} \frac{\omega t^0(\varepsilon)}{\varepsilon^{1+\alpha}} d\varepsilon$$

Теорема 7. Пусть замкнутая жорданова спрямляемая кривая γ такова, что

$$\int_0^{l_1} \frac{\omega t^0(\varepsilon)}{\varepsilon^{1+\alpha}} d\varepsilon < \infty.$$

Если $\varphi \in \Phi H$, то оператор

$$Bu = \int_1^t \frac{u(\varepsilon) d\varepsilon}{|\varepsilon - t|^\alpha (\varepsilon - t)}$$

действует из H_φ в H_ψ и ограничен, где $\psi(\delta) = \frac{\varphi(\delta)}{\delta^\alpha} + f(\delta)$ определяется равенством

Теорема 8. Если замкнутая жорданова спрямляемая кривая γ такова, что $\omega t^0(\varepsilon) = \varepsilon^{\alpha+\nu}$, $\alpha + \nu < 1$, то оператор

$$Bu = \int_1^t \frac{u(\varepsilon) d\varepsilon}{|\varepsilon - t|^\alpha (\varepsilon - t)}$$

действует из H_φ в H_λ и ограничен, где $\lambda = \min \left\{ \beta - \alpha, \frac{\alpha\nu}{2\alpha + \nu} \right\}$ ($\beta > \alpha$).

Авторы выражают признательность А. А. Бабаеву за постановку задачи и ценные замечания.

АГУ им. С. М. Кирова
Карачаево-Черкесский гос. пед. ин-т

Поступило 25. I 1973

В. В. Салаев, А. И. Черкезов

Бир нэв мэхсүсүү интеграл һаггында

ХҮЛӘСӘ

Мәгәләдә дүзләндирилә билән гапалы γ Жордан әјриси үзә

$$\widehat{u}(t) = \int_1^t \frac{u(\xi) d\xi}{|\xi - t|}$$

сингулар интегралы кәсилемән функцијалар фәзасында өјрәнилмишdir. Бу һалда әјринин төрәмәсүннүн кәсилемәзлик модулу

$$\int_0^\infty \frac{\omega_t(\xi)}{\xi^{1+\alpha}} d\xi < \infty$$

шартини өдәјир.

Сингулар оператор үчүн Зигмунд типли бәрабәрсизлик вә И. И. Привалов типли теоремләр исбат едилмишdir.

I. I. Salaev, A. J. Cherkasov

About one type of singular integral

SUMMARY

In the paper is considered the singular integral

$$\widehat{u}(t) = \int_1^t \frac{u(\xi) d\xi}{|\xi - t|^\alpha (\xi - t)}$$

in the space of continuous functions on the class of curve whose modul of continuing of derivative satisfies condition

$$\int_0^{l_1} \frac{\omega_t(\xi)}{\xi^{1+\alpha}} d\xi$$

For it is proved an estimate of type of Sigmund theorems of type J. J. Prevalov, in particular the operator $Au = \widehat{u}$ is boundedly represents H_β into $H_{\beta-\alpha}$ ($\beta > \alpha$).

УДК 531. 12:531. 51

МАТЕМАТИЧЕСКАЯ ФИЗИКА

О. И. ДАЛГАТОВ

ЧИСЛЕННЫЙ РАСЧЕТ ДИНАМИКИ ЗАРЯЖЕННОЙ ПЫЛИ В ОТО

(Представлено академиком АН Азербайджанской ССР Х. И. Амирхановым)

1. Исследование конкретных задач электродинамики в римановой геометрии важно как средство выяснения структуры и возможностей специального раздела общерелятивистской физики—электродинамики силошных сред в общековариантной постановке, а также в силу физических следствий, имеющих большое значение для релятивистской астрофизики.

В работе [1] исследовано внешнее гравитационное поле сосредоточенного источника в вакууме и в нейтральной среде, исследованы внутренние статические решения для протяженных заряженных сред, при исследовании динамики сферически-симметричных распределений заряженной пыли получен важный результат остановки коллапса заряженной пыли на основе точного решения.

Представляет интерес численное исследование динамики заряженной пыли, возможность остановки коллапса для различных отношений плотности заряда к плотности массы $\rho = p/e$, а также геометрия в момент остановки.

Подобное исследование важно, так как электромагнитное взаимодействие почти на сорок порядков превышает по интенсивности гравитацию, поэтому даже весьма незначительное отклонение от условия электронейтральности реальной звезды должно привести если не к прекращению коллапса, то, во всяком случае, к резкому изменению его характера.

2. Рассмотрим поведение неограниченного сферически-симметричного распределения заряженной пыли в собственном гравитационном поле, метрику которого можно написать в виде

$$d\bar{S}^2 = C^2 \bar{t} dt^2 - \bar{t}^\lambda d\bar{t}^2 - \bar{r}^2 (d\theta^2 + \sin^2 \theta d\varphi^2) \quad (1)$$

Систему отсчета выберем спутывающей сжимающейся среде, так что из четырех компонент

$$\underline{U}^\mu = dx^\mu/d\bar{S}$$

не равной нулю будет лишь

$$\underline{U}^0 = C dx^0/d\bar{S} = C (\underline{g}_{00})^{-1/2} \quad (2)$$

В выбранной системе отсчета возникнет ток

$$\underline{J}^0 = C \rho \underline{g}_{00}^{-1/2}, \quad \rho = \rho(\bar{R}, t) \quad (3)$$

и электромагнитное поле, потенциал которого имеет вид

$$\underline{A}_\mu = [0, 0, 0, \varphi(\bar{R}, t)]$$

Тензор электромагнитного поля

$$\underline{F}_{\mu\nu} = \underline{A}_{\nu,\mu} - \underline{A}_{\mu,\nu}$$

будет иметь лишь компоненты

$$\underline{F}_{10} = -\underline{F}_{01} = \dot{\varphi} \quad (4)$$

или в контравариантной записи

$$\underline{F}^{\mu\nu} = \underline{g}^{\alpha\beta} \underline{g}^{\beta\nu} \underline{F}_{\alpha\beta}, \quad \underline{F}^{10} = -\underline{T}^{01} = -\underline{l}^{-(\lambda+\nu)} \varphi \quad (5)$$

Учитывая (3–5), систему уравнений Максвелла можно привести к двум уравнениям

$$\varphi' \left[\dot{\mu} - \frac{1}{2} (\dot{\lambda} + \dot{\mu}) \right] + \dot{\varphi} = 0 \quad (6)$$

$$\varphi'' + \varphi' \left[\mu' - \frac{1}{2} (\lambda' + \nu') \right] = -4\pi\rho l^{\lambda+\nu} \quad (7)$$

Левая часть уравнений Эйнштейна с метрикой (1) имеет стандартный вид, а исчезающие компоненты тензора энергии-импульса

$$\underline{T}_{\mu\nu} = \underline{E}_{\mu\nu} + \underline{M}_{\mu\nu}$$

(где $\underline{M}_{\mu\nu}$, $\underline{E}_{\mu\nu}$ —тензоры энергии-импульса соответственно вещества и электромагнитного поля) будут только

$$-\frac{8\pi\kappa}{C^4} \underline{T}_1^1 = \frac{8\pi\kappa}{C^4} \underline{T}_2^2 = \frac{8\pi\kappa}{C^4} \underline{T}_3^3 = \frac{8\pi\kappa}{C^4} \left(-\frac{\dot{\varphi}^2}{8\pi} \underline{l}^{-(\lambda+\nu)} \right)$$

$$\frac{8\pi\kappa}{C^4} \underline{T}_0^0 = \frac{8\pi\kappa}{C^4} \left(\epsilon + \frac{\dot{\varphi}^2}{8\pi} \underline{l}^{-(\lambda+\nu)} \right)$$

В полной системе уравнений Эйнштейна и Максвелла можно опустить два уравнения, заменив их уравнениями движения

$$\underline{T}_{\mu\nu}^v = 0. \quad (8)$$

Дивергенируя систему уравнений, методом аналогичным [2], получим полную систему уравнений в дивергентной форме [1] (т. е. в форме законов сохранения)

$$\underline{m} = \frac{C^2 r}{2\kappa} \left(1 + \frac{\dot{r}^2}{C^2} \underline{l}^{-\nu} - \dot{r}^2 \underline{l}^{-\lambda} \right) \quad (9)$$

$$\underline{m} = \psi(\bar{R}) - \frac{f(\bar{R})}{2r}$$

$$\underline{m}' = 4\pi\epsilon r^2 r' + \frac{f(\bar{R}) r'}{2r^2} \quad (10)$$

$$\underline{m}' = 4\pi\epsilon r^2 r' + \frac{f(\bar{R}) r'}{2r^2} \quad (11)$$

$$\epsilon r^2 = F(\bar{R}) \underline{l}^{-\lambda/2} \quad (12)$$

$$v' + \frac{f'(\bar{R})}{4\pi\epsilon r^4} \quad (13)$$

$$\varphi^2 l^{-(\lambda+1)} = \frac{f(\bar{R})}{r^4} \quad (14)$$

$$\frac{f'}{\sqrt{f}} = -8\pi\rho r^2 l^{\lambda}, \quad (15)$$

где m имеет смысл массы, заключенной в сфере радиуса \bar{R} .

Сравнивая (12) и (15) получим соотношение

$$a = \rho/\epsilon = -\frac{f'(\bar{R})}{V f(\bar{R})} \cdot \frac{1}{8\pi F(\bar{R})} \quad (16)$$

Откуда следует, что отношение плотности заряда к плотности энергии не изменяется со временем.

Из (13), (14) и (15) легко получить

$$v' = -2al^{-\lambda} \cdot \varphi',$$

интегрируя которое, получим

$$l' = (a\varphi + C(\tau))^2 \quad (17)$$

Известный результат, полученный в ранних работах [3, 4].

Из уравнений (9–12) имеем:

$$\dot{r} = \frac{l^{\lambda}}{r} \cdot \left\{ C^2 r^2 \left(\frac{C^4 \psi^2}{16\pi^2 \bar{F}^2} - 1 \right) + 2kr \left(\psi + \frac{C^4 a}{4\pi k} \frac{\sqrt{f}}{F} \psi' \right) - fC^2 \left(\frac{k}{C^4} - a^2 \right) \right\}^{\frac{1}{\lambda}} \quad (18)$$

При некотором $r_k(\bar{R})$ скорость сжатия $\dot{r} = 0$, т. е. сжатие среды остановится. В момент остановки имеем

$$r_k(\bar{R}) = \frac{-\left(\psi + \frac{a\sqrt{f}\psi}{4\pi\bar{F}} \right) + \left(\psi^2 + a^2 f + f \left(\frac{\psi'}{4\pi\bar{F}} - 1 \right) \right)^{\frac{1}{\lambda}}}{\frac{\psi^2}{4\pi\bar{F}} - 1}. \quad (19)$$

Зная $r_k(\bar{R})$, можно определить $\lambda_k(\bar{R})$, $v_k(\bar{R})$, т. е. геометрию среды в момент останова.

Для численного расчета динамики была поставлена разностная схема для уравнений (9–15)

$$r_k^{n+1} = r_k^n - \bar{T} \cdot C \cdot \exp(v_k^n/2) \cdot \left(\frac{2km_k^n}{r_k^n} + \exp(-\lambda_k^n) \cdot \left(\frac{r_k^n - r_{k-1}^n}{H} \right)^2 - 1 \right)^{\frac{1}{\lambda}}; \quad (20)$$

$$m_k^{n+1} = \psi_k - \frac{f_k}{2r_k^{n+1}} \quad (21)$$

$$e_k^{n+1} = \frac{3}{4\pi} \left(m_k^{n+1} - m_{k-1}^{n+1} + \frac{f_k(r_k^{n+1} - r_{k-1}^{n+1})}{2r_k^{n+1}} \cdot \frac{1}{(r_k^{n+1})^3 - (r_{k-1}^{n+1})^3} \right) \quad (22)$$

$$l^{-\lambda_k^{n+1}} = (e_k^{n+1} \cdot (r_k^{n+1})^2 / F_k)^2 \quad (23)$$

$$v_{k-1}^{n+1} = v_k^{n+1} - f_k / 4\pi e_k^{n+1} (r_k^{n+1})^4 \quad (24)$$

Рассматривалось поведение самогравитирующих конфигураций заряженной пыли с различными относительными плотностями электрического заряда к плотности материи с начальной скоростью сжатия, причем в начальный момент размер конфигурации равен $2 + r_g$. Расчет показал, что в поведении среды можно указать три типа конфигураций:

$$a) 0 < (\underline{a} = \rho/\epsilon) < 10^{-2}$$

В центре конфигурации достигается бесконечная плотность материи, когда вся конфигурация заходит под гравитационный радиус, такая малая плотность электрического заряда не в состоянии предотвратить гравитационный коллапс. Поведение среды аналогично поведению пыли в задаче Толмана.

$$b) 10^{-2} < \underline{a} < 10^{-1}$$

Сжатие среды останавливается вблизи сингулярной области (внутри r_g), плотность материи и метрические коэффициенты несингулярны; методика расчета не позволяет исследовать дальнейшее поведение среды (расширение в другое пространство или устойчивый покой).

$$c) 10^{-1} < \underline{a} < 1,0$$

Сжатие останавливается, но при этом среда деформируется, по-видимому, происходит обратное движение ее в пределах конфигурации (волна уплотнения к внешней границе).

Все эти случаи поведения заряженной пыли требуют дальнейшего геометрического исследования. Особенно важно знать, что происходит со средой после остановки, так как это состояние, по-видимому, неустойчиво.

ЛИТЕРАТУРА

1. Далгатов О. И. Дисс. ВНИИОФИ. М., 1973. 2. Подурец А. М. Астрономич. журн., 41, 1091. М., 1967. 3. Weyl H. Annalen d. Physik. 54, 117. ИЛ, 1917. 4. Majumdar S. D. Phys. Rev., 72, 390. ИЛ., 1947.

Даг. ФАН СССР

Поступило 21. VIII 1973

O. J. Dalgatov

The numerical computation of the dynamics charged by dust in TTR

SUMMARY

Results of numerical computation of dynamics charged dust for different ratio $\underline{a} = \rho/\epsilon$ is obtained. It is shown that: 1) for $0 < \underline{a} < 10^{-2}$ solution is analogous Tolmans solution; 2) for $10^{-2} < \underline{a} < 10^{-1}$ collapse stops near singular region; 3) for $10^{-1} < \underline{a} < 1$ collapse stops and there are reverse motion within configuration.

УДК 01. 041

ФИЗИКА

С. А. ГАДЖИЕВ

ДВАЖДЫЛОГАРИФМИЧЕСКАЯ АСИМПТОТИКА ОБРАЗОВАНИЯ ПАРЫ В ПОЛЕ ЭЛЕКТРОНА ФОТОНОМ

(Представлено академиком АН Азербайджанской ССР Г. Б. Абдуллаевым)

При низких энергиях все электродинамические процессы, вычисленные в низком порядке теории возмущения, удовлетворительно согласуются с экспериментальными данными. В области высоких энергий, традиционные расчеты в духе теории возмущения оказываются неудовлетворительными по той причине, что в более высоких приближениях ряд теории возмущения расходится, поэтому учет высоких приближений не всегда удается произвести, кроме того, при этом

возникает бесконечное число диаграмм с различными выставками, не имеющими ни симметрии, ни закономерности (в смысле математики). Отсутствие симметрий и закономерности затрудняет вопрос о суммировании ряда теории возмущения. Поэтому данный вопрос удается решать в асимптотических приближениях (эйкональное приближение, дваждылогарифмическое приближение и т. д.).

В данной работе рассматривается суммирование ряда теории возмущения в дваждылогарифмическом приближе-

нии для образования пары электрон—позитрон фотоном в поле электрона. Анализ ряда электродинамических процессов показывает, что из всех возможных диаграмм дваждылогарифмический вклад дают те диаграммы, у которых внутренние блоки находятся в асимптотическом режиме. Такими диаграммами являются диаграммы лестничного типа (бесконечные перекладины) и диаграммы, которые на точку излучения реального и виртуального фотона накручиваются виртуальные фотонны тормозной природы. Анализ рассматриваемого явления показывает, что диаграммы, содержащие виртуальные тормозные фотонны, не дают дваж-

дыхлогарифмического вклада, они играют существенную роль в главнологарифмическом приближении, в чем можно убедиться прямым вычислением. Поэтому мы опускаем такие диаграммы.

Матричный элемент в низком порядке теории возмущения, соответствующий рисунку (диаграмма *a*, *b*), записывается как

$$M_3' = -\frac{e^3}{(2\pi)^3} \left\{ (\bar{U}_{\gamma_\mu} v) \left(\bar{U}_{\gamma_\mu} \frac{i f_1 - m}{f_1^2 + m^2} \hat{e} U \right) \frac{1}{\kappa_1^2} + \right. \\ \left. + (\bar{U}_{\gamma_\mu} U) \left(\bar{U} \hat{e} \frac{i f_2 - m}{f_2^2 + m^2} \gamma_\mu v \right) \frac{1}{\kappa_2^2} + \text{об. члены.} \right\} \quad (1)$$

Здесь $f_1 = p_1 - \kappa$, $f_2 = p_- + \kappa$, p_1 , p_- , p_+ , κ 4-импульсы электронов, позитрона и фотона, \hat{e} —вектор поляризации фотона.

Следует отметить, что в низком порядке теории возмущения имеется всего 8 диаграмм, две из них представлены на рисунке. Остальные диаграммы получаются, если поменять местами конечные электроны, а также импульсы реального и виртуального фотона, т. е.

$$p_1' \xrightarrow{\gamma} p_1, \quad \kappa \xrightarrow{\gamma} -\kappa$$

Полный матричный элемент (1) рассматриваемого процесса приведен в [1, 2]. В работе [1] вблизи порога образования вычислено полное сечение и показано, что сечение $\sigma \sim \omega^2$. В работе [2] вычислено сечение в крайне релятивистском случае и показано, что $\sigma \sim \ln \frac{\omega}{m}$.

Анализ результатов работы [1, 2] показывает, что с увеличением энергии начальных частиц характер зависимости сечения от энергии существенно меняется, поэтому данный процесс нами анализируется в области высоких энергий.

В области высоких энергий ($s = -(p_1 + \kappa)^2/m^2 \gg 1$) с учетом уравнения Дирака выражение (1) принимает следующий вид:

$$M_3^{(1)} = -\frac{ie^3}{(2\pi)^4} \cdot \frac{1}{m^2 t} \left\{ \left[\frac{e \cdot p_-}{\kappa \cdot p_-} - \frac{e \cdot p_+}{\kappa \cdot p_+} - \left(\frac{e \cdot p_1}{\kappa \cdot p_1} - \frac{e \cdot p_1'}{\kappa \cdot p_1'} \right) \frac{1}{1+x} \right] \right. \\ \left. (\bar{U}_{\gamma_\mu} U) (\bar{U}_{\gamma_\mu} v) + \text{об. члены} \right\} \quad (2)$$

$$\sigma = 1,2, \quad x = 2\kappa \cdot (p_1 - p_1')/m^2 t.$$

Рассмотрим диаграмму пятого порядка и проведем полное вычисление для одной диаграммы (диаграмма, *c*)

$$M_5^{(1)} = -\frac{ie^5}{(2\pi)^6} \int \frac{(\bar{U}_{\gamma_\mu} (if_1 - m) \gamma_\nu U) (\bar{U} \hat{e} (if_2 - m) \gamma_\mu (if_3 - m) \gamma_\nu v)}{(f_1^2 + m^2)(f_2^2 + m^2)(f_3^2 + m^2) \kappa_1^2 \kappa_2^2} d^4 f \quad (3)$$

Введем параметр Судакова [3, 4]

$$f_1 = \alpha p_1 + \beta \kappa + p_\perp,$$

причем

$$p_1 \cdot p_\perp = \kappa \cdot p_\perp = 0,$$

выражая все переменные через параметр Судакова, получаем следующее:

$$f_1^2 + m^2 = p_\perp^2 - m^2 \alpha \beta s, \quad f_2^2 + m^2 = -2p_- \cdot \kappa \\ \kappa_1^2 = p_\perp^2 - m^2 \alpha \beta s + m^2 s \beta, \quad \kappa_2^2 = p_\perp^2 - m^2 \alpha \beta s - m^2 \alpha t - m^2 \beta t \\ f_3^2 + m^2 = p_\perp^2 - m^2 \alpha \beta s - m^2 \alpha t - m^2 \beta t - m^2 \alpha s \\ d^4 f = \frac{1}{2} \pi m^2 s d\alpha d\beta dp_\perp^2$$

Подставляя эти выражения в (3), мы убеждаемся, что при $t = -\frac{(p_1' - p_1)^2}{m^2} \gg 1$ оно не содержит дважды логарифмических членов, если рассматривать область $t \sim 1$, то

$$M_5^{(1)} = \frac{e^5}{(2\pi)^8} \int \frac{(\bar{U}_1 \bar{f}_1 \bar{U}_1 U) (\bar{U}_2 \bar{f}_2 \bar{U}_2 v) \pi m^2 s d\alpha d\beta dp_1^2}{4p_- \cdot k (p_1^2 - m^2 \alpha \beta s)^2 (p_1^2 - m^2 \alpha \beta s + m^2 s \beta)} \rightarrow \frac{1}{(p_1^2 - m^2 \alpha \beta s - m^2 \alpha s)}. \quad (4)$$

Анализ подынтегрального выражения показывает, что оно имеет единственный полюс в верхней полуплоскости в точке $p_1^2 = m^2 \alpha \beta s$ и он соответствует условию $p_1^2 > m^2$. Упрощая числитель подынтегрального выражения (4) по стандартному рецепту [5, 6] и интегрируя по всем переменным, получим следующее:

$$M_5^{(1)} = -\frac{\alpha}{4\pi} M_3^{(1)} \left(\frac{1}{2} \ln^2 s - \ln U \cdot \ln s \right) \quad (5)$$

$$U = -(\kappa + p_-)^2/m^2.$$

С учетом стальных диаграмм:

$$M_5 = -\frac{\alpha}{4\pi} M_3 \left(\frac{1}{2} \ln^2 s - \ln U \cdot \ln s \right) \quad (6)$$

Учет диаграммы седьмого порядка производится аналогично диаграммам пятого порядка. С учетом всех приближений выражение (6) приобретает следующий вид:

$$M_{2n+3} = \left(-\frac{\alpha}{4\pi} \right)^n M_3 \left(\frac{1}{2} \ln^2 s - \ln U \cdot \ln s \right)^n. \quad (7)$$

Учет эквивалентных нормальных произведений производится суммированием выражения (7) по перестановкам виртуальных фотонов, следовательно:

$$M = \sum_n \sum_p M_{2n+3}^p = M_3 \sum_n \frac{1}{n!} \left(-\frac{\alpha}{4\pi} \right)^n \left(\frac{1}{2} \ln^2 s - \ln U \cdot \ln s \right)^n, \quad (7)$$

$$\text{отсюда } M = M_3 e^{-\frac{\alpha}{4\pi} \left(\frac{1}{2} \ln^2 s - \ln U \cdot \ln s \right)} \quad (8)$$

Следует отметить, что при получении выражения (8), гами не были учтены диаграммы типа γ их можно определить, исходя из градиентной инвариантности теории по методу Лоу [7]. Однако полученное выражение, определяемое методом Лоу, взаимно сокращается, поэтому такие диаграммы опускаются. Сечение, определяемое выражением (8), имеет вид:

$$\frac{d\sigma}{dt} = \frac{d\sigma_0}{dt} e^{-\frac{\alpha}{4\pi} \left(\frac{1}{2} \ln^2 s - \ln U \cdot \ln s \right)}. \quad (9)$$

Здесь $d\sigma_0/dt$ — сечение в низком порядке теории возмущения. Из формулы (9) следует, что при $s \rightarrow \infty$ $d\sigma/dt \rightarrow 0$. Это означает, что (если формула (9) верна при всех s) при очень высоких энергиях ($s \rightarrow \infty$) пары не успевают образоваться и происходит обычное комптоновское рассеяние.

Теперь определим предел применимости формулы (9). При получении формулы (8) мы не затрагивали условие сходимости ряда (7), который можно суммировать при

$$\left| \frac{\alpha}{4\pi} \cdot \frac{\frac{1}{2} \ln^2 s - \ln U \cdot \ln s}{n+1} \right| < 1.$$

Если $\ln U \ll \sqrt{\frac{8\pi}{\alpha}} \sim 10^2$, то область сходимости ряда определяется как $(E + \omega) < 1$ Бев, тораико достижима на современных ускорителях. С увеличением $\ln U$ область сходимости ряда расширяется; при $\ln U \sim \sqrt{\frac{8\pi}{\alpha}}$ ряд сходится при $(E + \omega) < 10^6$ Бев.

Таким образом при $s \gg 1$ и $t \sim 1$, каков бы не был передаваемый импульс $U = -(p_- + \kappa)^2/m^2$, полученный результат допускает экспериментальную проверку, так как при этом полная энергия падающих частиц оказывается достижимой на современных ускорителях.

ЛИТЕРАТУРА

1. Немировский Э. ЖЭТФ 18, 899, 1943.
2. Votruva. Phys-Rev., 73, 1468, 1948.
3. Судаков. ЖЭТФ 30, 87, 1956.
4. Абрикосов. ЖЭТФ 30, 386, 1956.
5. Ахиезер. Берестецкий. Квантовая электродинамика. М., 1969.
6. Гаджиев С. Изв. АН Азерб. ССР, № 1, 84, 1973.
7. Low F. Phys. Rev., 101, 1828, 1956.

Поступило 27. III 1974

С. Э. Гачыев

Фотон-электрон тоггушасында чүт јарымасы
еңтималынын икилогарифмик асимптотикасы

ХУЛАСЭ

Мәгаләдә электрон саһәсүндә фотонун чүт јарымасы надисәси бөјүк енержиләр үчүн тәһлил едилмишdir. Һәмин надисәсүн еффектив кәсијинин икилогарифмик асимптотикасы несабланыш вә hәјечанланма нәзәријәси сырасынын жылымла областы тә'жин едилмишdir.

S. A. Gadzhiev

Twicelogarithmical asymptotic of formation of para by photon in the field of electron

SUMMARY

Present work examines the formation of para that performs by photon in the field of electron when high energy; the section of given process in twicelogarithmical approximation is calculated and the range of coincidence of a series of the theories of perturbation for staircase's diagrams is determined.

УДК 622. 276. 038:532. 5

МЕХАНИКА

Г. П. ГУСЕЙНОВ, Ю. Г. КЕРИМОВ, И. А. НАСРУЛЛАЕВ

ПРИТОК ЖИДКОСТИ К НАКЛОННОЙ СКВАЖИНЕ В ПЛАСТЕ
С НЕПРОНИЦАЕМОЙ КРОВЛЕЙ И ПОДОШВОЙ
ПРИ УПРУГОМ РЕЖИМЕ

(Представлено академиком АН Азербайджанской ССР А. Х. Мирзаджанзаде)

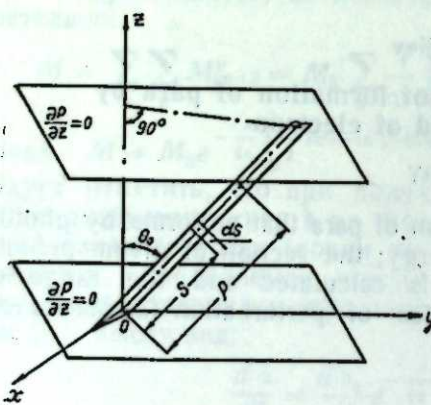
При изучении задачи притока к наклонной скважине в пласте с непроницаемой кровлей и подошвой, обычно для простоты реальное течение жидкости заменяют плоскопараллельным [2, 4, 5]. Однако степень точности полученных решений после такой схематизации до сих пор не установлена. Поэтому в настоящей работе рассматривается движение жидкости к наклонной скважине с постоянным дебитом в пласте с непроницаемой кровлей и подошвой при стационарном и нестационарном режимах, не заменяя реальное течение плоскопараллельным.

Поскольку решение задачи стационарного режима в приведенных случаях можно получить из решения задачи нестационарного режима, выделив в нем не зависящую от времени часть, то рассмотрим нестационарную фильтрацию.

Задачу решим методом зеркального отображения скважины относительно кровли и подошвы пласта, рассматривая каждый элемент скважины, как точечный сток с известной интенсивностью.

Предположим, что скважина длиной l находится в пласте с непроницаемой кровлей ($z = h$) и подошвой ($z = 0$) и составляет с осью z угол θ_0 (рисунок). Тогда формулу для безразмерного перепада давления по принципу суперпозиции при указанных условиях можем написать в следующем виде:

$$P_0 - P = \frac{\mu q}{4\pi kh} \int \sum_{n=-\infty}^{\infty} \left[\frac{1}{R_1(s)} \operatorname{erfc} \frac{R_1(s)}{2\sqrt{\kappa t}} + \frac{1}{R_2(s)} \operatorname{erfc} \frac{R_2(s)}{2\sqrt{\kappa t}} \right] ds, \quad (1)$$



$$R_1(s) = \sqrt{r^2 + (2nh + z - z_0)^2}, \quad R_2(s) = \sqrt{r^2 + (2nh - z - z_0)^2}, \quad (1)$$

$$r = \sqrt{(x - x_0)^2 + (y - y_0)^2}$$

x_0, y_0, z_0 — координаты произвольной точки скважины, зависящие от s , q — интенсивность скважины, дебит, приходящийся на единицу длины ее, h — мощность пласта, $\operatorname{erfc} x = 1 - \operatorname{erf} x$, $\operatorname{erf} x$ — интеграл вероятности [6].

Используя интегральные представления функций $\operatorname{erfc} x$, $K_0(x)$ (1), можно свести к виду

$$P_0 - P = \frac{\mu q}{4\pi kh} \int \left\{ -E_1 \left(-\frac{r^2}{4\kappa t} \right) + 4 \sum_{n=1}^{\infty} \left[K_0 \left(\frac{n\pi}{h} r \right) - \int e^{-\frac{r^2}{4\kappa t}} \left(\frac{n\pi}{h} \right)^2 \frac{x}{t} \cdot \frac{d\xi}{\xi} \right] \cos \frac{n\pi}{h} z \cdot \cos \frac{n\pi}{h} z_0 \right\} ds \quad (2)$$

Интеграл по ξ в (2) по величине меньше, чем $-\frac{1}{2} E_1 \left(-\frac{\pi^2 n^2}{4\kappa t} \right)$,

которой можно пренебречь с большой степенью точности при $\tau = \frac{xt}{h^2} > 1$. Безразмерное время $\tau = 1$ при $\kappa = 10000 \text{ см}^2/\text{сек}^2$, $h = 10 \text{ м}$ соответствует значению $t = 100 \text{ сек}$. Следовательно, для практически интересных значений времени формулу (2) можно представить в виде

$$P_0 - P = \frac{\mu q}{4\pi kh} \int \left\{ -E_1 \left(\frac{r^2}{4\kappa t} \right) + 4 \sum_{n=1}^{\infty} K_0 \left(\frac{n\pi}{h} r \right) \cos \frac{n\pi}{h} z \cos \frac{n\pi}{h} z_0 \right\} ds. \quad (3)$$

Выделяя независимую от времени часть подынтегральной функции в (3), получим решение стационарной задачи, приведенное в [1], т. е. решение задачи, когда между двумя непроницаемыми параллельными плоскостями в точке имеется сток с единичной интенсивностью и контур питания бесконечно удален:

$$P_0 - P = \frac{\mu q}{4\pi kh} \left\{ -C + \ln \frac{2}{r} + 4 \sum_{n=1}^{\infty} K_0 \left(\frac{n\pi}{h} r \right) \cos \frac{n\pi}{h} z \cos \frac{n\pi}{h} z_0 \right\} \quad (4)$$

Переходя в (3) сферическим координатам можно получить выражение для перепада давления. Однако при этом интегралы аналитически в конечных видах не раскрываются. Поэтому, используя формулу 8,526 [6], суммы в (3) приведем к следующему виду:

$$4 \sum_{n=1}^{\infty} K_0 \left(\frac{n\pi}{h} r \right) \cos \frac{n\pi}{h} z \cos \frac{n\pi}{h} z_0 = 2 \left(C + \ln \frac{r}{4h} \right) + \sum_{n=-\infty}^{\infty} \left[\frac{h}{\sqrt{r^2 + (2nh + z + z_0)^2}} + \frac{h}{\sqrt{r^2 + (2nh + z - z_0)^2}} - \frac{1}{|n|} \right] \quad (5)$$

Знак ''-'' указывает, что в ряде (5) при $n=0$ член $\frac{1}{n}$ отпадает.

Теперь для простоты найдем забойное давление скважины при сравнительно небольших наклонах. Тогда в (5) r^2 примет малые значения, поэтому при $n \geq 1$ ими можно пренебречь по сравнению с $(2nh + z + z_0)^2$ и $(2nh + z - z_0)^2$.

При этом допустимая погрешность будет меньше, чем

$$\frac{hr^2}{2} \sum_{n=1}^{\infty} \left[\frac{1}{(2nh + z + z_0)^3} + \frac{1}{(2nh + z - z_0)^3} \right] \quad (6)$$

После указанных упрощений для малых значений τ формула (1) примет вид

$$P_0 - P = \frac{\mu q}{4\pi kh} \int_0^t \left\{ -E_1\left(-\frac{r^2}{4\pi t}\right) + 2\left(C + \ln\frac{r}{4h}\right) + \right. \\ + \frac{h}{Vr^2 + (z-z_0)^2} + \frac{h}{Vr^2 + (z+z_0)^2} + \frac{h}{Vr^2 + (2h-z-z_0)^2} + \\ \left. + \sum_{n=1}^{\infty} \left[\frac{h}{2nh+2h-z-z_0} + \frac{h}{2nh+z-z_0} + \frac{h}{2nh-z+z_0} + \right. \right. \\ \left. \left. + \frac{h}{2nh+z+z_0} - \frac{2}{n} \right] \right\} ds. \quad (7)$$

Полагая в этой формуле $x = x_c = \rho \sin \theta_0 + r_c \cos \theta_0$, $x_0 = s \sin \theta_0$, $y = y_0$, $z = z_c = \rho \cos \theta_0 - r_c \sin \theta_0$, $z_0 = s \cos \theta_0$, произведя интегрирование и пренебрегая величинами малого порядка, для забойного давления, получим:

$$P_0 - P = \frac{\mu ql}{4\pi kh} \left\{ -\frac{x_c}{L} E_1\left(-\frac{x_c^2}{4\pi t}\right) - \left(1 - \frac{x_c}{L}\right) E_1\left(-\frac{(L-x_c)^2}{4\pi t}\right) + \right. \\ + \frac{2\sqrt{\pi\pi t}}{L} \left[\operatorname{erfc} \frac{x_c}{2\sqrt{\pi t}} + \operatorname{erf} \frac{L-x_c}{2\sqrt{\pi t}} \right] + \frac{2x_c}{L} \ln \frac{x_c}{h} + \\ + 2\left(1 - \frac{x_c}{L}\right) \ln \frac{L-x_c}{h} - 2 - \ln \left(1 + \frac{z_c}{h}\right) \left(2 - \frac{z_c}{h}\right) + \\ + \frac{h}{l} \ln \frac{V(l-\rho)^2 + r_c^2 + (l-\rho)}{V\rho^2 + r_c^2 - \rho} + \\ + \frac{h}{l} \ln \frac{l - \rho \cos 2\theta_0 + Vl^2 + 2l\rho \cos \theta_0 + \rho^2}{\rho \cos 2\theta_0 - r_c \sin 2\theta_0 V\rho^2 + r_c^2} + \\ \left. + \frac{h}{l} \ln \frac{V(l-f)^2 + \varphi^2 + l-f}{Vf^2 + \varphi^2 + \varphi} \right\}, \quad (8)$$

где $L = l \sin \theta_0$, $f = 2h \cos \theta_0 - \rho \cos 2\theta_0 + r_c \sin 2\theta_0$, $\varphi = -2h \sin \theta_0 + s \sin 2\theta_0 + r_c \cos 2\theta_0$.

Отметим, что после интегрирования в формуле (7) суммы рядов найдены использованием формулы [6]

$$\frac{e^{cx}}{\Gamma(z-x+1)} = \prod_{k=1}^{\infty} \left(1 - \frac{x}{k+z}\right) e^{\frac{x}{k}},$$

для гамма-функции. Однако эти суммы могут быть найдены и по формуле Маскета [1] для несовершенной скважины.

Приближая в (8) θ_0 к нулю и устранивая полученную при этом неопределенность по правилу Лопитала, получим выражение для перепада давления в случае вертикальной скважины.

Следует отметить, что в формуле (8) член в фигурной скобке показывает плоско-параллельное течение. Наличие остальной части формулы показывает, что предложение о том, что приток к наклонным скважинам плоскопараллелен, приводит к определенным погрешностям.

Для установления влияния наклона скважины произведены расчеты по формуле (8), при различных θ_0 и ρ . В таблице приводятся

τ	$\theta_0 = 0^\circ$		$\theta_0 = 30^\circ$		$\theta_0 = 45^\circ$		$\theta_0 = 60^\circ$		$\theta_0 = 90^\circ$	
	$\Delta \bar{P}_c$	$\Delta \bar{P}_{c1}$	$\Delta \bar{P}_{c2}$	$\Delta \bar{P}_{c1}$	$\Delta \bar{P}_{c2}$	$\Delta \bar{P}_{c1}$	$\Delta \bar{P}_{c2}$	$\Delta \bar{P}_c$		
1	10,02	5,68	10,65	5,40	11,27	5,46	12,21	12,65		
2	10,71	6,44	11,40	6,36	12,23	6,72	13,47	15,59		
5	11,63	7,53	12,49	7,64	13,58	8,48	15,23	21,41		
8	12,10	8,11	13,08	8,30	13,76	9,36	16,11	25,61		
10	12,32	8,36	13,33	8,62	14,48	9,80	16,55	27,98		
16	12,79	8,92	13,89	9,27	15,14	10,76	17,51	33,92		
50	13,93	10,28	15,29	10,80	17,02	12,98	19,74	55,69		
100	14,62	11,09	16,10	11,94	17,80	14,38	21,14	76,46		
5·10 ²	16,23	14,03	17,85	14,00	19,86	17,21	23,97	164,10		
10 ³	16,93	15,82	18,78	14,89	20,76	18,81	25,56	229,77		
10 ₄	19,23	17,93	20,94	16,62	22,48	23,10	29,86	714,56		
10 ⁵	21,53	18,62	23,71	19,94	25,80	27,68	34,43	2247,62		

результаты расчетов, т. е. значение безразмерного перепада среднего забойного давления

$$\Delta \bar{P}_{c2} = \frac{4\pi kh(P_0 - P)}{\mu ql_0},$$

где l_0 — фиксированное значение l , во времени τ . Эти значения забойного давления сравниваются с таковыми же $\Delta \bar{P}_{c1}$, когда поток считается плоскопараллельным. Расчеты показывают (см. таблицу), что значения $\Delta \bar{P}_{c1}$ и $\Delta \bar{P}_{c2}$ при различных θ_0 , при малых значениях τ резко отличаются друг от друга, однако в дальнейшем они сближаются. Следовательно, реальное течение жидкости к наклонным скважинам при малых τ нельзя заменить плоскопараллельным, а при больших τ такая замена возможна при допустимых для практики погрешностях.

Наряду с этим в последнем столбце таблицы приводятся значения забойного давления $\theta_0 = 90^\circ$ горизонтальной бесконечной скважины, расположенной в середине пласта (по мощности) [3].

ЛИТЕРАТУРА

- Маскет М. Течение однородных жидкостей в пористой среде. Гостоптехиздат, 1949.
- Николаевский В. Н. Влияние наклона скважины на ее дебит. Изв. АН СССР, отделение технич. наук. М., 1958.
- Гусейнов Г. П., Насруллаев И. А. Интерференция примолинейной бесконечной батареи совершенных скважин при упругом режиме. Нефть и газ. № 1, 1962.
- Табаков В. П. Приток жидкости к батарее наклонных скважин в слоистом пласте. Научно-технич. сб. по добыче нефти, вып. 10. Гостоптехиздат, 1960.
- Керимов Ю. Г. Приток жидкости к круговой батарее наклонных скважин с постоянными забойными давлениями в слоистом пласте при упругом режиме. АНХ, № 4, 1970.
- Градстейн И. С., Рыжик И. М. Таблицы интегралов, сумм, рядов и произведений. Физматгиз, 1962.
- Пагурова В. И. Таблицы неполной гамма-функции. Вычислительный центр АН СССР, М., 1963.

Поступило 20. V 1973

Б. П. Гусейнов, Я. Б. Керимов, И. Э. Насруллаев

Таван вэ дэшэмэс кечирмээ лајда маили гууја
гэрарлашмамыш ахын

ХУЛАСЭ

Мэгэлэдээ таван вэ дэшэмэс кечирмээ сонсуз эластик лајда јерлэшиши сабит мэһсүлдарлыглы маили гууја мајенин гэрарлашмамыш ахынындан бэхс олумушдур.

Мэсэлэ гујуну таван вэ дөшэмэ мүстэвилэринэ нэээрэн экс етдир-
мэк усуу илэ дэгиг һэлл сийлмишдир. Тээзигин лајда пајланмасы
учун алыныш дэгиг ифадэний заманын бөјүк гијмэтлэриндэ садэ-
лэшдирилмэснэ хүсүй ёр верилмишдир.

Алыныш һэллэрэ көрэ гујунун мухтэлиф маилликлэриндэ онун
гујудиби тээзиги замандан асылы несаблашмыш вэ эмэли өхөмийжти
олан нэтичэлэр чыхарылмышдыр.

G. P. Guseinov, Y. G. Kerimov, I. A. Nasrullayev

Fluid flow towards directional well in elastic drive reservoir characterized by impermeable roof and bottom

SUMMARY

The paper investigates the flow of fluid towards a directional well having a given constant rate of production in an infinite elastic drive reservoir characterized by impermeable roof and bottom.

An accurate solution to the problem is presented; it has been considerably simplified for BHP.

The bottom hole pressure versus time has been estimated for different well slopes. It has been concluded that at great time values the fluid flow towards a directional well can be substituted by a plane-parallel one, while at small time values such substitution will lead to considerable errors (depending on the slope).

АЗЭРБАЙЧАН ССР ЕЛМЛЭР АКАДЕМИЈАСЫНЫН МЭРҮЗЭЛЭРИ

ДОКЛАДЫ АКАДЕМИИ НАУК АЗЕРБАЙДЖАНСКОЙ ССР

ТОМ XXX чилд

№ 8

1974

ОРГАНИЧЕСКАЯ ХИМИЯ

УДК 66. 062. 23:66. 095. 253

Акад. С. Д. МЕХТИЕВ, Т. А. ПАШАЕВ, Ф. А. ПАШАЕВА,
Б. С. САЛИМОВА

АЛКИЛИРОВАНИЕ БЕНЗОЛА И ЕГО ГОМОЛОГОВ ИНДИВИДУАЛЬНЫМИ ИЗОМЕРАМИ МЕТИЛЦИКЛПЕНТЕНА

Ранее [1, 2] были сообщены результаты алкилирования ряда ароматических углеводородов смесью изомеров метилциклогептена в присутствии серной кислоты. Представляет интерес проведение исследования по алкилированию индивидуальными изомерами метилциклогептена, которое даст возможность выяснить реакционную способность этих изомеров в реакции циклоалкилирования, а также установить молекулярную структуру полученных метилциклогептилзамещенных ароматических углеводородов.

В связи с этим в настоящей работе приводятся результаты исследования по алкилированию бензола, толуола, этилбензола, трех изомеров ксиола, мезитиlena, псевдокумола, изопропилбензола и втор.-бутилбензола 1-метил- и 3-метилциклогептенами.

1-метил- и 3-метилциклогептены были получены дегидратацией 1-метил- и 3-метилциклогептанолов соответственно над Al_2O_3 при температуре 250–260°C и имели следующие показатели:

1-метилциклогептен—т. кип. 75–76°C, d_4^{20} — 0,7805, n_D^{20} — 1,4331;
3-метилциклогептен—т. кип. 66–67°C, d_4^{20} — 0,7664, n_D^{20} — 1,4228.

Результаты хроматографического анализа показали, что в указанных условиях при дегидратации 1-метилциклогептанола получается чистый 1-метилциклогептен, при дегидратации же 3-метилциклогептанола продукт реакции содержит 95% 3-метилциклогептена и 5% 1-метилциклогептена.

Алкилирование исследуемых углеводородов проводилось при температуре 20°C, молярном соотношении ароматического углеводорода и метилциклогептена 6:1, в присутствии 90%-ной серной кислоты в количестве 100 вес. % от ароматического углеводорода и продолжительности 1,5 ч при подаче метилциклогептена со скоростью 0,2733 г в 1 мин в течение 1 ч.

Результаты проведенных опытов помещены в табл. 1. Из данных таблицы следует, что 3-метилциклогептен является более реакционноспособным, чем 1-метилциклогептен. Так, выход целевого продукта реакции в случае алкилирования 3-метилциклогептеном значительно больше при одновременном уменьшении образования побочного продукта—гидродимера метилциклогептена. Это явление следует

объяснить тем, что реакция циклоалкилирования под действием протонных кислот протекает через промежуточное образование карбоневого иона, причем образование последнего в случае 3-метилцикlopентана происходит быстрее, из-за отсутствия пространственных затруднений, создаваемых метильной группой у двойной связи метилцикlopентена.

Таблица 1

Алкилируемый углеводород	Выход продуктов алкилирования							
	3-метилцикlopентеном				1-метилцикlopентеном			
	алкилата, на вес взятых углеводородов, %	гидродимера метилцикlopентена от теории, %	метилцикlopентил-производного от теории, %	дицикlopентил-производного от теории, %	алкилата, на вес взятых углеводородов, %	гидродимера метилцикlopентена от теории, %	метилцикlopентил-производного от теории, %	дицикlopентил-производного от теории, %
Бензол*	94,7	—	30,0	28,5	94,5	—	28,1	27,7
Толуол	95,3	—	82,0	7,6	95,0	2,0	62,6	19,6
Этилбензол	97,3	—	81,9	8,0	96,4	7,2	59,0	20,2
Изо-пропилбензол	98,3	10,2	54,0	10,6	97,1	14,7	39,6	12,7
Втор.-бутилбензол	97,7	12,0	45,4	12,2	96,8	15,0	25,2	14,1
О-ксилол	93,2	—	91,5	2,2	93,3	—	86,0	5,2
М-ксилол	88,5	9,3	48,8	17,8	87,4	10,8	35,2	17,4
П-ксилол	92,7	14,0	23,9	14,5	91,9	20,0	8,8	17,0
Мезитилен	84,7	21,7	15,4	11,3	85,8	23,5	13,4	13,4
Псевдокумол	88,9	7,2	32,9	16,2	88,3	10,5	16,8	18,3

* Продукты гидродимеризации при перегонке не отделяются.

Молекулярная структура и изомерный состав синтезированных циклоалкилизированных ароматических углеводородов были установлены методами ИК-спектроскопии и газо-жидкостной хроматографии, результаты которых будут сообщены отдельно.

В настоящей работе мы ограничиваемся сообщением о том, что при алкилировании указанных ароматических углеводородов как 1-метил-, так и 3-метилцикlopентеном основными продуктами реакции являются 1-метил-1-арилцикlopентановые углеводороды. Следует также отметить, что при алкилировании метаксилола, параксилола,

Таблица 2

Продукт алкилирования	3-метилцикlopентен				1-метилцикlopентен				MR_D найд. выч.
	Т-ра кип. при 0,1 мм рт. ст., С	d_4^{20}	n_D^{20}	MR_D найд.	Т-ра кип. при 0,1 мм рт. ст., С	d_4^{20}	n_D^{20}	найд.	
Бензол	52—54	0,9293	1,5142	51,9	52—54	0,9219	1,5081	51,8	51,8
Толуол	67—68	0,9314	1,5210	56,9	67—68	0,9314	1,5210	56,9	56,4
Этилбензол	84—86	0,9267	1,5190	61,6	84—86	0,9266	1,5188	61,6	61,1
Изо-пропилбензол	97—100	0,9243	1,5161	66,0	97—100	0,9262	1,5168	66,0	65,7
Втор.-бутилбензол	107—110	0,9180	1,5140	70,8	107—110	0,9181	1,5140	70,8	71,3
О-ксилол	87—89	0,9355	1,5251	61,6	87—89	0,9355	1,5250	61,6	61,1
М-ксилол	84—86	0,9328	1,5236	61,6	84—86	0,9350	1,5248	61,6	61,1
П-ксилол	86—88	0,9342	1,5270	61,9	86—88	0,9340	1,5270	61,9	61,1
Мезитилен	105—108	0,8354	1,5260	66,5	105—108	0,9366	1,5255	66,3	65,7
Псевдокумол	106—110	0,9381	1,5290	66,4	109—110	0,9374	1,5277	66,3	65,7

псевдокумола и мезитилена в условиях проводимой реакции происходит расширение метилцикlopентенового кольца с образованием циклогексилпроизводных этих углеводородов, что подтверждает карбоновый механизм данной реакции циклоалкилирования.

В табл. 2 приведена физико-химическая характеристикаmonoцикlopентилпроизводных исследуемых углеводородов. Как видно из данных таблицы, в некоторых случаях наблюдается отличие в константах углеводородов, полученных алкилированием одних и тех же углеводородов отдельными изомерами метилцикlopентена, что можно объяснить различным изомерным составом продуктов реакции.

Выводы

1. Исследована реакция алкилирования бензола, толуола, этилбензола, трех изомеров ксилола, мезитилена, псевдокумола, изо-пропил- и втор.-бутилбензола 1-метил- и 3-метилцикlopентенами в присутствии серной кислоты.

2. Установлено, что в условиях проводимой реакции независимо от структуры метилцикlopентена основными продуктами реакции являются 1-метил-1-арилцикlopентановые углеводороды.

ЛИТЕРАТУРА

- Пашаев Т. А., Исаева Ф. А. и др. Авт. свид. СССР № 218 169, 1968.
- Пашаев Т. А., Исаева Ф. А. и др. Уч. зап. АМИ, т. 30, 1969.

ИНХП им. Мамедалиева

Поступило 21. XI 1972

С. Ч. Мендиев, Т. Э. Пашаев, Ф. А. Пашаева, Б. С. Салимова

Бензол в э онун һомологларынын метилцикlopентенин фәрди изомерләрилә алкилэшдирилмәси

ХУЛАСӘ

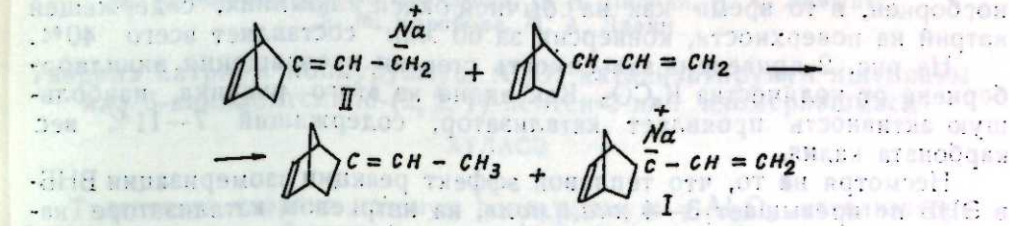
Мәгаләдә бензол в э онун һомологларынын сүлфат туршусы иштиракы илә метилцикlopентенин фәрди изомерләрилә алкилэшдирилмәсиндән бәhc едилмишdir. Мүәjjән олунмушшур ки, апарылан реакция нәтичесинде әсас етибарилә 1-метил-1-арилцикlopентан карбонидирекенләри әмәлә кәлир.

S. D. Mekhtiev, T. A. Pashaev, F. A. Pashaeva, B. S. Salimova

The alkylation of benzene and its homolog by individual isomers of methylcyclopentene

SUMMARY

The alkylation of benzene and its homologs by individual isomers of methylcyclopentene has been studied in the presence of H_2SO_4 and it has been established that 1-methyl-1-arylcylopentene hydrocarbons are formed independent of initial methylcyclopentene isomers.



УДК 547. 64. 04: 542. 952. 1

ХИМИЯ

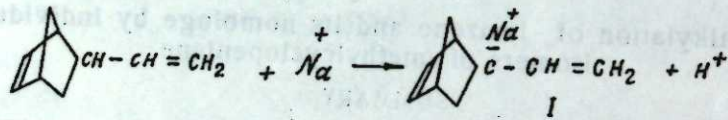
Ж. А. МИРЗОЯН, Г. В. КОВАЛЕВА, И. И. ПИСЬМАН, И. А. ЛИВШИЦ,
Л. М. КОРОБОВА, акад. М. А. ДАЛИН

ИЗОМЕРИЗАЦИЯ 5-ВИНИЛБИЦИКЛО-(2,2,1)-ГЕПТЕНА-2 В ПРИСУТСТВИИ КАТАЛИЗАТОРА НАТРИЙ НА $\gamma\text{-Al}_2\text{O}_3$

Гетерогенные катализаторы основного характера—щелочной металла на кислотном носителе, проявляют высокую активность и селективность в реакциях изомеризации положения двойной связи [1] альфа-олефинов. Однако катализаторы такого типа недостаточно эффективны для осуществления изомеризации 5-ванилбицикло-(2,2,1)-гептена-2, в этилиденбицикло-(2,2,1)-гептен-2, мономер, применяемый при синтезе каучука [2].

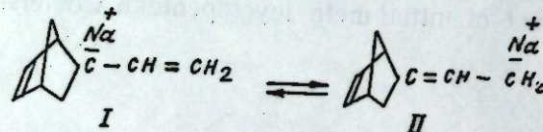
В настоящей работе приведены и некоторые итоги разработки трехмерного щелочного катализатора для синтеза 5-этилиденбицикло-(2,2,1)-гептена-2 (этилиденнорборнена, ЭНБ) изомеризацией 5-ванилбицикло-(2,2,1)-гептена-2 (ванилнорборнена, ВНБ).

В соответствии с положениями Г. Пайнса [3] для изомеризации олефинов под влиянием катализаторов основного характера изомеризацию ванилнорборнена можно представить протекающей через стадию образования промежуточного карбаниона, по правилу металлирования:



Положительно заряженный ион натрия образуется на поверхности окиси алюминия.

Карбанион переходит в структуру II:



При взаимодействии полученного карбаниона II с новой молекулой ванилнорборнена образуется этилиденнорборнен и карбанион I

При нанесении натрия на $\gamma\text{-Al}_2\text{O}_3$ наблюдалось неравномерное распределение металла на поверхности носителя, и такой катализатор был недостаточно эффективен в реакции изомеризации ванилнорборнена. По-видимому, часть ионов натрия взаимодействует с сильными льюисовскими и кислотными центрами окиси алюминия с образованием малактивных комплексов.

Обработка окиси алюминия карбонатом калия приводит к нейтрализации наиболее кислых мест, натрий хорошо смачивает поверхность носителя, образуя на ней ионы металла, обладающие высокой активностью.

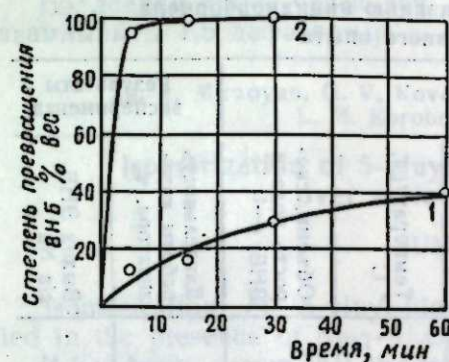


Рис. 1. Влияние обработки окиси алюминия K_2CO_3 на скорость изомеризации ванилнорборнена: 1— $\gamma\text{-Al}_2\text{O}_3$ немодифицированная; 2— $\gamma\text{-Al}_2\text{O}_3$ модифицированная 15% вес. K_2CO_3 . Условия опыта: ВНБ—22,5 г, катализатор—0,3 г, размер частиц—0,25–0,5 мм, содержит Na—5% вес., время реакции—60 мин.

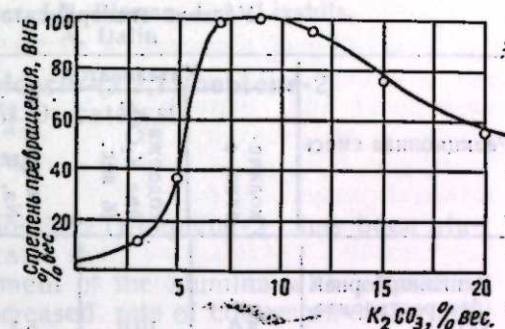


Рис. 2. Зависимость конверсии ванилнорборнена от содержания K_2CO_3 на Al_2O_3 . Условия опыта: ВНБ—22,5 г, катализатор—0,3 г, размер частиц—0,25–0,5 мм, содержит Na—4,5% вес., время реакции—60 мин.

Ниже приводятся данные по изомеризации ванилнорборнена в присутствии натриевого катализатора, приготовленного на $\gamma\text{-Al}_2\text{O}_3$, обработанной K_2CO_3 .

Опыты проводились при температуре 20–25°C и атмосферном давлении. В периодических опытах реакция осуществлялась в колбе с мешалкой, при непрерывных—в проточном реагенте.

Продукты анализировались методом ГЖХ (колонка с апневоном „L“ на целине 545, $l = 3,5$ м, $t_{\text{кол}} = 104^\circ\text{C}$, газ-носитель—водород).

В качестве исходного сырья использовался ванилнорборнен 99,99%-ной степени чистоты. Катализатор готовился либо механическим перемешиванием расплавленного металла с носителем, либо пропиткой его аммиачным раствором натрия.

На рис. 1 показаны результаты изомеризации ВНБ в периодических опытах.

Как видно из сравнения кривых 1 и 2, обработка окиси алюминия 15% карбонатом калия значительно увеличивает активность натриевого катализатора. За 15 мин на модифицированном катализаторе ванилнорборнен практически полностью изомеризуется в этилиден-

норборнен, в то время как на сбычной окиси алюминия, содержащей натрий на поверхности, конверсия за 60 мин составляет всего 40%.

На рис. 2 приведена зависимость степени превращения винилнорборнена от количества K_2CO_3 . Как видно из этого рисунка, наибольшую активность проявляет катализатор, содержащий 7–11% вес карбоната калия.

Несмотря на то, что тепловой эффект реакции изомеризации ВНБ в ЭНБ не превышает 3–4 ккал/моль, на натриевом катализаторе наблюдалось самопроизвольное повышение температуры, что приводило к усилению побочных реакций и быстрой потере активности. Поэтому с целью улучшения условий отвода тепла и увеличения "срока жизни" катализатора ВНБ разбавляли бензином, применяемым при синтезе полиэтилена (ТУ-381-240-69). Это не вносило каких-либо осложнений, т. к. при получении терполимера ЭНБ применяется в виде раствора в бензине.

При проведении непрерывных опытов было показано, что длительность работы катализатора при использовании растворов винилнорборнена в бензине увеличивается \sim в 1,5 раза, что видно из таблицы.

Влияние растворителя на изомеризацию винилнорборнена в условиях непрерывного опыта

Реакционная смесь	Условия эксперимента				Результаты эксперимента	
	Катализатор			Температура, °С	Объемн. скорость подачи ВНБ, ч ⁻¹	Длительность работы катализатора, ч
	количество, г	содержание K_2CO_3 , % вес.	содержание Na, % вес.			
Винилнорборнен (без растворителя) 25% об. раствор винилнорборнена в бензине	3,0	10,0	5,1	25	1'0	30
						1090
						44,5
						1600

* Данные получены при условии 100% превращения винилнорборнена в этилнорборнен.

Этилиденнорборнен, полученный в результате изомеризации винилнорборнена, благодаря высокой селективности разработанного натриевого катализатора, практически не содержал продуктов побочных реакций. Каучуки, синтезированные на основе этилена, пропилена и ЭНБ (без предварительного концентрирования, очистки и осушки), отвечали всем предъявляемым требованиям.

Таким образом, применение разработанного эффективного катализатора позволяет осуществлять процесс изомеризации винилнорборнена при температуре 20–25°C, атмосферном давлении и малых временах контакта. Эти результаты указывают на практическую ценность нового катализатора и процесса изомеризации ВНБ.

ЛИТЕРАТУРА

- I. Haag W. O., Pines H. J. Amer. Soc., 82, 1960; Bloari B. Laden J., Rumpf P. Compt. rend., 267, № 2, 1968 2. Пат. США, № 3347, 944, 1967.
- З. Пайис Г., Шаап Л. Катализ. Полифункциональные катализаторы и сложные реакции. Перев с англ. Изд-во "Мир", М., 1965.

Поступило 25. VI 1973

Ж. А. Мирзоян, Г. В. Ковалева, И. И. Писман, И. А. Лившиц,
Л. М. Коробова, М. А. Далин

Узәринә натриум һондурулмуш Al_2O_3 катализаторунун иштиракы
и лә 5-ванилбитцикло-(2, 2, 1)-нептен-2-нин изомерләшмәсі

ХУЛАСӘ

Тәдгигатда үзәринә натриум һондурулмуш $Na-\gamma-Al_2O_3$ катализаторунун иштиракы и лә 5-ванилбитцикло-(2, 2, 1)-нептен-2-нин изомерләшмәсі өјрәнилмишdir.

Калиум карбонатла олан алюминиум оксидинин модификациясы 5-ванилбитцикло-(2, 2, 1)-нептен-2-нин-5-етилиденбитцикло-(2, 2, 1)-нептен-2-јә чеврятма сүр'етинин чох артмасыны көстәрир. Тәркибинде 7–11% чәки K_2CO_3 олан вә натриум и лә һондурулмуш алүминиум оксиди катализатор, нун чох јүксәк активлијә малик олан нүмнәләри алынышдыр.

Мүәјлән олунмуш катализатор винилнорборненин этилиденнорборненә 20–25°C температурда атмосфер тәзҗигинде, гыса бир мүддәтдә там изомерләшмәсинә практики олараг имкан јарадыр.

Іәлледичи кими бензиндән истифадә едилдикдә катализаторун давамлылығы 1,5 дәфә артыр.

Zh. A. Mirzoyan, G. V. Kovaleva, I. I. Pisman, I. A. Livshits,
L. M. Korobova, M. A. Dalin

Isomerization of 5-vinyl-bicyclo-(2,2,1)-heptene-2 over a $Na-\gamma-Al_2O_3$ catalyst

SUMMARY

Isomerization of 5-vinyl-bicyclo-(2, 2, 1)-heptene-2 has been studied in the presence of $Na-\gamma-Al_2O_3$ catalyst.

It has been shown that the treatment of the alumina with potassium carbonate results in a considerably increased rate of conversion of 5-vinylbicyclo-(2, 2, 1)-heptene-2 to 5-ethylidenebicyclo-(2, 2, 1)-heptene-2. The most active sodium catalyst samples were obtained with alumina containing from 7 to 11 wt. % of K_2CO_3 .

The catalyst enables a substantially complete isomerization of vinylnorbornene to ethylidene norbornene at 20–25°C, atmospheric pressure, and short contact times.

The use of gasoline as solvent increases the service life of the catalyst by about 1,5 times.

его 16 об/мин в основном получаются гранулы + 8—10 мм (65%), с прочностью 500 г/гранул. После обжига, как указывают авторы, их прочность возрастает примерно в 2 раза. При этом несмотря на то, что обжиг проводился в шахтной печи, эти гранулы истираются и теряется 3,87% обрабатываемой руды [5].

НЕОРГАНИЧЕСКАЯ ХИМИЯ

УДК 66. 099. 2, 669, 713; 622.349.2

Акад. Г. Б. ШАХТАХТИНСКИЙ, Г. А. АСЛАНОВ, А. А. МУСАЕВ,
Х. М. АДЫГЕЗАЛОВ, М. С. ГУСЕЙНОВ

ИССЛЕДОВАНИЕ ПРОЦЕССА ГРАНУЛЯЦИИ МОЛОТОГО АЛУНИТА
В ТАРЕЛЬЧАТОМ ГРАНУЛЯТОРЕ

Каждый год вступают в строй все новые и новые металлургические и цементные заводы, химические комбинаты, мощные тепловые электростанции. Зачастую эта грандиозная индустрия производит огромное количество отходов, многие из которых, загрязняя нашу биосферу, представляют серьезную угрозу здоровью людей и окружающей живой природе.

Большая и серьезная работа ведется во всем мире по охране окружающей среды, в частности воздушного бассейна.

Особенно много в этом направлении делается в Советском Союзе, об этом свидетельствует, в частности, принятое в сентябре 1972 г. четвертой сессии Верховного Совета СССР постановление "О мерах по дальнейшему улучшению охраны природы и рациональному использованию природных ресурсов" [1].

С целью устранения пылеусоса и рационального использования минеральных ресурсов в последние годы во многих отраслях химической промышленности, цветной и черной металлургии пользуются гранулированием материалов [2—10].

В этой связи в литературе приводятся многочисленные работы, посвященные вопросу изучения условий грануляции сыпучих и порошкообразных материалов [2—18].

Известно, что при проведении процесса обжига порошкообразных материалов в "кипящем слое" имеет место сильный унос мелких фракций [2—9].

В условиях же проведения обжига молотого алюнита в "кипящем слое" в отличие от других видов порошкообразных материалов [2—6], уносятся наиболее богатые по содержанию алюнита (60—70%) фракции. При этом 15—20% алюнитовой руды, подаваемой в печи обжига, выбрасывается в атмосферу безвозвратно, что, помимо незакономичности процесса, также недопустимо в санитарно-гигиеническом отношении.

В литературе имеется лишь одна работа по грануляции молотого алюнита в тарельчатом грануляторе, диаметром чаши 1 м, высотой орта 0,126 м.

По данным авторов этой работы [4] при проведении грануляции в указанном грануляторе при уклоне чаши 38°, скорости вращения

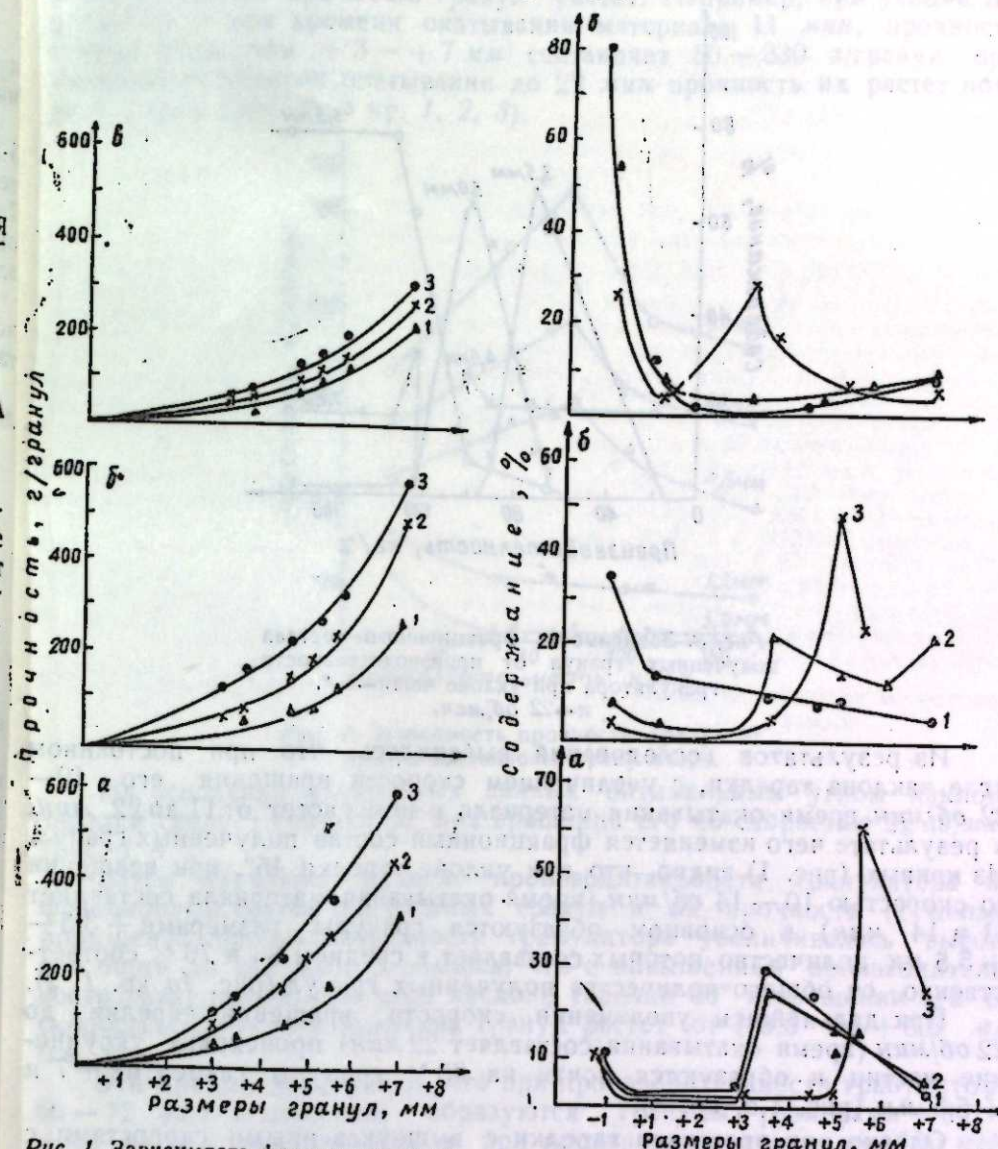


Рис. 1. Зависимость фракционного состава полученных гранул от скорости вращения тарелки при уклоне: а—45°; б—50°; в—55°; 1—10 об/мин; 2—14 об/мин; 3—22 об/мин.

Рис. 2. Зависимость прочности гранул от размеров их превращений чаши со скоростью: 1—10 об/мин; 2—14 об/мин; 3—22 об/мин и при уклоне: а—15°; б—50°; в—55°.

Кроме того, можно предположить, что с увеличением размеров гранул гаснет порозность слоя, в результате чего ослабевает взаимодействие восстановителя с обрабатываемым материалом.

Ввиду этого, для проведения процессов обжига и восстановления в лучших условиях для взаимодействия восстановителя с обрабатываемым материалом требуется более прочные и мелкие (2—5 мм) гранулы [2—3].

В этой связи нами были проведены соответствующие исследова-

ния по грануляции молотого алюнита в тарельчатом грануляторе, результаты которых приведены в данной статье.

Прежде всего изучалось влияние времени окатывания материала в чаше на фракционный состав полученных гранул и их прочность. Результаты этих опытов показаны в виде кривых на рис. 1.

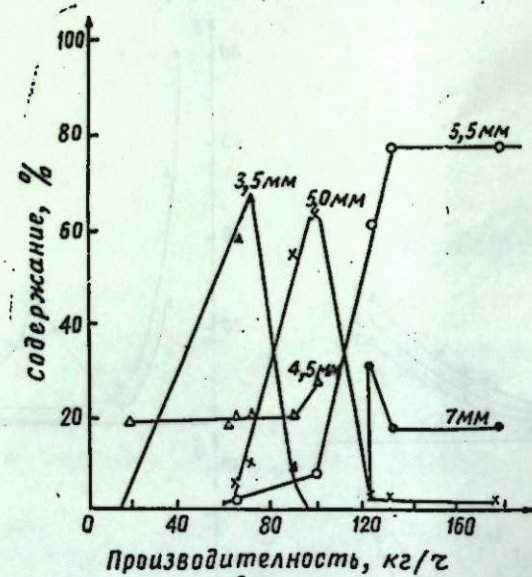


Рис. 3. Зависимость фракционного состава полученных гранул от производительности гранулятора при уклоне чаши -56° , $n=22$ об/мин.

Из результатов исследований выяснилось, что при постоянном угле наклона тарелки, с увеличением скорости вращения его 10–22 об/мин время окатывания материала в нем растет от 11 до 22 мин, в результате чего изменяется фракционный состав полученных гранул. Из кривых (рис. 1) видно, что при уклоне тарелки 45° , при вращении со скоростью 10–14 об/мин (время окатывания материала составляет 11 и 14 мин) в основном образуются гранулы размерами $+3,5$ – $+5,5$ мм, количество которых составляет в среднем 86 и 76 % соответственно от общего количества полученных гранул (рис. 1, а кр. 1, 2).

При дальнейшем увеличении скорости вращения тарелки до 22 об/мин (время окатывания составляет 22 мин) происходит укрупнение частиц и образуются почти на 85 % гранулы размерами $+7$ и $+5,5$ мм (рис. 1, а, кр. 3).

Однако при вращении тарелки с вышеуказанными скоростями с увеличением угла наклона тарелки время окатывания материала постепенно сокращается.

Таким образом при вращении тарелки со скоростью 10 об/мин под углом 50° время окатывания снижается до 7 мин, в результате чего не успевают образоваться окомкованные гранулы и материал выходит из тарелки в виде мелких частиц (см. рис. 1, б кр. 1). С увеличением же скорости вращения чаши от 10 до 22 об/мин (время окатывания увеличивается примерно 1,7 раза) происходит укрупнение гранул от $+1$ до $+5,5$ мм.

Таким образом, при вращении чаши со скоростью 22 об/мин образуются по размерам более однородные гранулы ($+4,5$ – $+5,5$ мм в среднем) в количестве до 91 % (рис. 1, б кр. 3).

При угле наклона тарелки 55° и при тех же скоростях вращения его время окатывания материала снижается даже до 5 мин, в результате чего получаются еще менее желательные результаты, чем было указано (рис. 1, в кр. 3).

Следует отметить, что с увеличением времени окатывания материала в тарелке прочность гранул растет. Например, при уклоне тарелки 45° и при времени окатывания материала 11 мин, прочность гранул диаметром $+3$ – $+7$ мм составляет 50–330 г/гранул, при увеличении времени окатывания до 22 мин прочность их растет почти в 2 раза (рис. 2, а кр. 1, 2, 3).

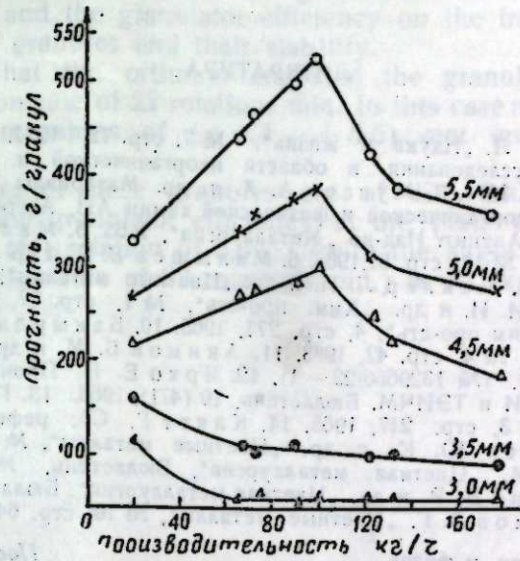


Рис. 4. Зависимость прочности гранул от производительности гранулятора.

На основании полученных данных оптимальным углом наклона тарелки следует считать 50° при вращении его со скоростью 22 об/мин (рис. 1 и 2).

Затем изучалось влияние производительности гранулятора на фракционный состав полученных гранул и их прочность (с целью повышения производительности гранулятора увеличивалась высота его борта до 165 мм). Оказалось, что с повышением производительности гранулятора, при угле наклона тарелки 50° и вращении его со скоростью 22 об/мин величина гранул растет от $+3,5$ до $+5,5$ мм (см. рис. 3).

Эти кривые показывают, что при производительности гранулятора 66–72 кг/ч в основном образуются гранулы размерами $+3,5$ – $+4,5$ мм в количестве 87 %, а при производительности же 100 кг/ч $+4,5$ – $+5,5$ мм в количестве 97 %, при 132 кг/ч $+5,5$ – $+7,0$ мм 95 %. При дальнейшем увеличении производительности гранулятора гранулометрический состав полученного материала почти не изменяется (см. рис. 3). Однако с увеличением производительности гранулятора до 100 кг/ч прочность гранул диаметром $4,5$ – $5,5$ мм растет, а потом постепенно снижается (рис. 4).

Таким образом, оптимальной производительностью тарельчатого гранулятора диаметром тарелки 600 мм и высотой борта 165 мм следует считать 100 кг/ч.

Выводы

- Установлено, что при грануляции молотой алюнитовой руды, содержащей около 50 % чистого алюнита, оптимальным углом наклона

тарелки гранулятора следует считать 50° при вращении его со скоростью 22 об/мин. При этом образуются более однородные гранулы размерами $+4,5, +5,0$ и $+5,5$ мм в среднем на 91 %. Прочность гранул этих размеров составляет 270, 340, 590 г/гранул соответственно, что превышает прочность гранул, полученных работниками химико-металлургического института АН Каз. ССР в 2 раза.

2. Оптимальная производительность тарельчатого гранулятора при соотношении диаметра чаши (D) к высоте борта (H) равной $3,64:1$ с углом наклона ее 50° и скоростью вращения 22 об/мин, составляет 100 кг/ч.

ЛИТЕРАТУРА

1. Арсеньев Л. "Наука и жизнь", № 7, стр. 12, 1973.
2. Шахтахтинский Г. Б. и др. Исследования в области неорганической и физической химии. Изд-во "Элм". Баку, 1971.
3. Мусаев А. А. и др. Материалы конференции молодых ученых Ин-та неорганической и физической химии АН Азерб. ССР. Баку, 1969.
4. Лабутин Г. В. Алунит. Изд-во "Металлургия", 1965.
5. Малышев В. П. и др. "Цветные металлы", № 11, стр. 51, 1968.
6. Малышев В. П. и др. "Цветные металлы", № 2, стр. 39, 1972.
7. Меклер Л. И. и др. "Цветные металлы", № 1, стр. 61, 1972.
8. Абличенков И. И. и др. "Хим. про-сть", № 1, стр. 27, 1965.
9. Абличенков И. И. и др. "Хим. про-сть", № 4, стр. 271, 1965.
10. Бакырджиев П. Н. и др. "Цветные металлы", № 4, стр. 42, 1968.
11. Акимов Б. М. и др. Авт. свид. 279949 заявлено 05. V. 1969. (№ 1329660/22—1).
12. Ярхо Е. Н. Производства окатышей за рубежом. ЦНИИИ и ТЭИЧМ. Бюллетьнь, 19 (471), 1963.
13. Гитис Э. Б. и др. "Хим. про-сть", № 3, стр. 217, 1965.
14. Кляйт Г. Сб. рефератов, № 5, 1958.
15. Победоносцев Ю. К. и др. "Цветные металлы", № 12, стр. 24, 1968.
16. Акимов Б. М. "Цветная металлургия", Бюллетьнь, № 6, стр. 19, 1972.
17. Ксендзовский В. Р. и др. "Цветная металлургия". Бюллетьнь, № 3, стр. 29, 1973.
18. Евдакимов В. Г. "Цветные металлы", № 10, стр. 64, 1964.

Институт неорганич. и физич.
химии

Поступило 30. X 1973

O. B. Shakhtakhtinsky, G. A. Aslanov, A. A. Musajev,
Kh. M. Adigisalov, G. M. Guseinov

Investigation of granulation process of ground alunite in a plate granulator

SUMMARY

In the present article the results of investigation of ground alunite in a plate granulator are given.

It was studied the influence of granulation time in a plate, the angle of its dip and the granulator efficiency on the fractional composition of resulting granules and their stability.

It is found that the optimum angle of the granulator plate dip is 50° at the rotation rate of 22 rotations/min. In this case more homogeneous granules with dimensions of $(+4,5 - +5,5)$ mm are formed on the average 91 %.

The stabilities of these granules are of 270, 340, 590 g/granules. The optimum plate granulator efficiency at the plate diameter (D) and the edge height (H) relation of $3,64:1$ (with the angle of plate dip of 50° and the rotation rate of 22 rotations/min.) is 100 kg/hour.

Б. Шахтахтинский, Г. Асланов, Э. Э. Мусаев, Х. М. Адыкезэлов,
М. С. Гусейнов

Нимчэвары дэнэвэрлэшдиричидэ үүдүлмүш алунитин дэнэвэрлэшдирилмэсийн просесиний тэдгиги

ХУЛАСЭ

Мэглэдэ нимчэвары дэнэвэрлэшдиричидэ үүдүлмүш алунитин дэнэвэрлэшмэсийн просесиний өөрнүүлмэсийн мэргэдий илэ апарылан тэдгигат ишинин нэтийнээри верилмишдир.

Тэдгигат заманы мухтэлиф амиллэр (дэнэвэрлэшдирилэн материалы нимчэдэ галма мүлдэти, дэнэвэрлэшдиричинин нимчэсийн мејл бучагы вэ онун мэйсулдарлыг) дэнэвэрлэшдирилмиш алунитин фраксија тэрийнэ вэ албанан ниссэчилэрийн бэрклийн тэ'сир өөрнүүлмийшдир. Мүэjjэн олуумушдур ки, үүдүлмүш алунити дэнэвэрлэшдирилмэк учун дэнэвэрлэшдиричинин нимчэсийн мејл бучагы 50° фынланма сүр'эти исэ 22 дөөр/дэг-дир. Бу заман нисбэтэн (91%) ejni өлчүүлү, я'ни $+4,5 +5,5$ мм-лик алунит ниссэчилэри өмөлжилж. Бу дэнэлэрийн бэрклийн уյгун олараг 270—340 вэ 590 г/дэнэ үүдүдүнда дэжишилж.

Нимчэсийн диаметринийн (D) үндүрлүүнэ (H) нисбэтэй, $3,64:1$ -э бэрабэр олан дэнэвэрлэшдиричинин оптимал мэйсулдарлыг 100 кг/саат-дир.

3. Модификация твердого сорбента парами растворителя.

Использование летучих растворителей в газо-жидкостной хроматографии позволило определить еще один эффект.

4. Эффект модификации неподвижной жидкой фазы парами подвижной фазы.

Уменьшение диффузии анализируемых веществ в паровой подвижной фазе является следствием замены низкомолекулярного газа-носителя более высокомолекулярными парами растворителей и подчиняется формуле Гиллиланда [5]. Из этого следует, что при какой бы температуре не проводился хроматографический анализ, замена одного газа-носителя другим изменяет проникновение анализируемого вещества в подвижную фазу. Однако в практической работе температурные ограничения, при которых природа газа-носителя не имеет значения, все же существуют. Так, например, при температуре колонки, равной температуре кипения анализируемого вещества, не существует, какой газ используется в качестве подвижной фазы, потому что в таких условиях сорбенты с малой удельной поверхностью ($1-2 \text{ м}^2/\text{г}$) не взаимодействуют с анализируемым веществом и его перемещение по колонке будет происходить со скоростью газа-носителя.

Экспериментально доказано, что в случае анализа тетрадекана, ундецилового спирта, циклогексилксилола и ацетофенона эффект модификации подвижной фазы становился незначительным уже при температуре 250° .

Образование неподвижной жидкой фазы из паров подвижной зависит от температуры колонки, температуры кипения выбранного растворителя, давления в колонке, а также как от общих, так и от специфических сорбционных свойств наполнителя колонок к парам взятого растворителя.

В нашем случае пары этилового спирта или гексана усиленно поглощались хроматоном до температуры около 80° , так что при температуре ниже отмеченной невозможно было дождаться выхода анализируемых продуктов из-за невысокой (почти нулевой) скорости потока, оставшейся неадсорбированной части пара-носителя.

Увеличение температуры колонки приводило к постепенному уменьшению количества конденсирующихся паров. Конденсирующиеся пары спирта или гексана образовывали жидкые пленки, отличающиеся своей растворительной способностью по отношению к различным углеводородам. Действительно, опытами было подтверждено, что при $100, 125$ и 150°C анализируемые вещества элюировали быстрее в парах спирта, чем в парах гексана, и тем более, чем в газе-носителе азоте. Однако при 175° и выше элюирование не зависело от того, являются ли подвижной фазой пары спирта или гексана, что говорит либо об отсутствии жидкой фазы, либо об отсутствии специфического взаимодействия с ней анализируемых веществ. Так как дальнейшие анализы в газо-жидкостном варианте показали, что специфические свойства паровой подвижной фазы сохраняются даже при 200°C , осталось предположить, что в данном газо-адсорбционном варианте анализов уже при температуре 175° конденсированная жидкая фаза отсутствовала.

Эффект модификации твердого носителя парами подвижной фазы имеет две стадии. Первой стадией такого эффекта является образование пленки неподвижной жидкой фазы из паров, второй стадией эффекта является забивание пор сорбента и нейтрализация активных центров поверхности молекулами пара без образования мономолекулярного слоя. Эффект модификации твердого носителя без образования неподвижной жидкой фазы при невысоких давлениях паровой подвижной фазы ($1-2 \text{ кг}/\text{cm}^2$) для широкопористых твердых носителей

УДК 543. 544. 45

НЕФТЕХИМИЯ

Э. А. КЯЗИМОВ, М. Н. АГАЕВА

ХРОМАТОГРАФИЯ С ПАРОВЫМИ ПОДВИЖНЫМИ ФАЗАМИ

(Представлено академиком АН Азербайджанской ССР И. А. Оруджевской)

В научной литературе последних лет большое внимание уделяется хроматографии с паровыми подвижными фазами. Рядом исследователей [1-4] было показано, что применение паров ускоряет элюирование компонентов. В связи с этим высказано несколько различных объяснений. Вполне возможно, что отсутствие единого мнения связано с различием точек зрения и различными условиями проведения экспериментов. Следует особо отметить что, в большинстве опубликованных работ недостаточно освещены вопросы, связанные с использованием паровой подвижной фазы в газо-жидкостной хроматографии.

Целью настоящей работы являлось практическое обнаружение известных эффектов, появляющихся при замене газа-носителя парами различных органических растворителей, определение температурных пределов, в которых эти эффекты имеют существенное значение, а также изучение влияния природы паровой фазы на газо-хроматографические процессы.

Для выполнения поставленной задачи на колонках, заполненных хроматоном при различных температурных режимах ($75-250^\circ\text{C}$), в токе паров гексана и этилового спирта проводились газо-адсорбционные анализы индивидуальных продуктов четырех классов соединений (нормальных парафиновых углеводородов, ароматических углеводородов, нормальных спиртов и кетонов).

В дальнейшем подобные газо-жидкостные анализы проводились на колонках, заполненных хроматоном, обработанным или 10% по весу апнеозон, или 10% полиэтиленгликоля с молекулярным весом 2000.

Газо-адсорбционные анализы позволили определить, что паровая подвижная фаза вносит в хроматографический процесс следующие эффекты:

1. Уменьшение диффузии анализируемых веществ в паровой подвижной фазе по сравнению с диффузией в обычные газы-носители. Для удобства в дальнейшем будем называть это эффектом изменения подвижной фазы.

2. Образование неподвижной жидкой фазы из паровой подвижной фазы.

с малой удельной поверхностью ($1-2 \text{ м}^2/\text{г}$) ограничивается температурой кипения анализируемого вещества. В случае использования хроматона и анализа тетрадекана, ундецилового спирта, циклогексилксилола и ацетофенона этот эффект ограничивался при температуре около 250°C , о чем свидетельствовало уравнивание времени выхода исследованных соединений независимо от подвижной фазы.

Явление модификации неподвижной фазы проникающими в нее вследствие диффузии молекулами подвижной фазы в литературе [6] известно.

Температурные пределы этого эффекта нетрудно очертить. Действительно, за нижний предел можно принять минимальную температуру колонки с сорбентом, при которой подвижная фаза не будет конденсироваться полностью. В нашем случае это происходило при температуре около 80° . При таких условиях пары этилового спирта и гексана начинали проходить через колонку.

Верхним пределом модификации жидкой фазы можно считать температуру кипения анализируемого вещества. При этом ролью неподвижной жидкой фазы и ее модификацией можно было пренебречь.

Следует отметить, что вклад модификации жидкой фазы в хроматографические процессы существенно зависел от температуры анализа. Так, при температуре ниже 160° , в хроматографических процессах принимали участие все четыре эффекта: образование неподвижной жидкой фазы, модификация твердого носителя, модификация жидкой фазы и модификация паровой фазы. Однако при температуре 175° и выше образование неподвижной жидкой фазы уже не происходило, а эффекты модификации твердого носителя и подвижной паровой фазы не зависели от природы выбранного пара-носителя. Действительно, при температуре выше 175° пары гексана и этилового спирта ускоряли элюирование анализируемых веществ по сравнению с азотом, но разницы от замены одного пара другим не наблюдалось. Представлялось интересным сравнение эффекта модификации жидкой фазы при температурах ниже и выше 175° . Анализы четырех искусственных смесей различных классов углеводородов, проведенные при температуре 125 и 150°C на колонке $200 \times 0,3 \text{ см}$, заполненной хроматоном, пропитанным 10% по весу апизесна, в токе паров этилового спирта и гексана показали, что пары этилового спирта замедляют элюирование полярных спиртов и кетонов, а неполярные пары гексана, соответственно замедляют элюирование неполярных парафиновых углеводородов по сравнению с элюированием в газе-носителе азота.

Сравнение с газо-адсорбционной хроматографией при тех же условиях показало, что все анализируемые соединения в парах элюируют быстрее, чем в токе азота и никакого замедления элюирования, отмеченного в газо-жидкостной хроматографии, здесь не наблюдается. Следовательно, в газо-жидкостной хроматографии при 125 и 150° уменьшение времени выхода некоторых компонентов было связано только с модификацией жидкой фазы, а эффекты модификации твердого носителя и газовой фазы играли при этом ограниченную роль. Из этого можно сделать вывод, что пары полярной (неполярной) подвижной фазы, растворяясь в неподвижной жидкой фазе, придают соответствующие свойства, что, в свою очередь, ускоряет анализ неполярных (полярных) соединений.

Как отмечалось, при температуре 200°C в наших условиях анализа эффекты модификации твердого носителя и подвижной фазы уже четко должно было проявляться влияние модификации жидкой фазы. Действительно, опытным путем было доказано, что в случае газо-жид-

костной хроматографии при 200° использование паров полярных (не-полярных) растворителей в качестве газа-носителя ускоряет анализ неполярных (полярных) продуктов и замедляет анализ полярных (не-полярных) продуктов вне зависимости от того, какая жидккая фаза была нанесена на твердый носитель, что является подтверждением найденной при 125 и 150°C закономерности модификации жидкой фазы.

ЛИТЕРАТУРА

1. Truda Takao, Takuro Nobuo Toshi Daido. Gas chromatography using the vapour of organic solvents as carrier gases. *J. Chromatogr.*, 46, №3, 241, 1970.
2. Karger Barry L., Sewell Peter A., Castellis Reynaldo C., Hartkoort Arleigh. Gas chromatographic study of the adsorption of insoluble vapours on water. *J. Colloid and Interface Sci.*, 35, №2, 328, 1971.
3. Nonaka Akira. Gas-solid chromatography of organic compounds using steam as the carrier gas. *Anal. Chem.*, 44, №2, 271, 1972.
4. Казимов Э. А. К вопросу о влиянии коэффициента распределения на разделение в газовой хроматографии. *ДАН Азерб. ССР*, 25, №12, 17, 1969.
5. Нагаре С. Д., Джувет Р. С. Газо-жидкостная хроматография. Изд-во "Недра". Л., 175, 1966.
6. Вигдергауз М. С., Семкин В. И. Влияние газовой фазы на удерживание ароматических углеводородов в хроматографической колонке. *Физическая химия*, XVI, №3, 691, 1972.

Институт химии присадок

Поступило 21. VII 97

Е. А. Казимов, М. Н. Агаева

Мұтәһәрrik бухар фазасын хроматографијасы

ХУЛАСӘ

Мәгаләдә бухарларын тәбиэтинин хроматографик процесі тә'сити, һәмчинин апарычы газы үзви һәлледициләрин бухары илә әвәз едәрекен әмәлә кәлән «эффектләр» нәзәрдән өчирilmиш вә һәмин еффектләрин температур һәлди тә'жин едишлишdir. Бу мұтәһәрrik бухар фазасын газ-адсорбсија вә газ-маје англиз үсуllарына тәтбиғи мәгсәдәуігүн несаb олунур.

E. A. Kyazimov, M. N. Agaeva

Chromatography with vapour moving phases

SUMMARY

In this paper the effects of vapour nature on chromatographic processes and also the substitution of carrier gas by organic solvents vapours are discussed.

The temperature range of these and the use of moving vapour phase in gas adsorption and gas — liquid analyses were determined.

ГЕОЛОГИЯ НЕФТИ

УДК 551. 24 (479. 24)

О. Д. ГУСЕЙН-ЗАДЕ, В. Р. ЯЩЕНКО

**К ИССЛЕДОВАНИЮ РЕЗУЛЬТАТОВ ПОВТОРНЫХ
ГЕОДЕЗИЧЕСКИХ НИВЕЛИРОВОК НА ТЕРРИТОРИИ
БИБИЭЙБАТСКОГО НЕФТЯНОГО МЕСТОРОЖДЕНИЯ**

(Представлено академиком АН Азербайджанской ССР Ш. А. Азизбековым)

Изучение факторов, влияющих на колебание земной поверхности тех или иных нефтяных и газовых месторождений, приобретает особо важное значение в связи с проектированием разработки залежей и строительством крупных инженерно-технических сооружений. Выявление более или менее мобильных участков земной коры в виде отдельных блоков или тектонических полей структуры является весьма важным и при определении темпа нефтегазоизвлечения из эксплуатационных объектов месторождения. Интенсивность высотных смещений и контрастность проявления их во времени, безусловно, оказывает существенное влияние на изменение конфигураций ранее сформированных структурных форм. При этом степень дислоцированности пород всецело зависит от приложенных к нему усилий. Эти вопросы исследованы нами на примере Бибиэйбатского нефтяного месторождения. Результаты повторных геодезических нивелировок обобщены с учетом и геолого-промышленных данных месторождения за весь период его разработки.

Планомерное геодезическое нивелирование в пределах Бибиэйбатского нефтяного месторождения впервые осуществлялось в 1912 г. с установлением ряда реперов и марок на значительной части территории. До указанного времени подобное нивелирование производилось лишь в связи с закладкой отдельных буровых скважин и определением их альтитуд по известным отметкам.

Повторное геодезическое нивелирование, проведенное в 1928, 1953, 1964, 1968, 1972 гг. одновременно сопровождалось здесь постепенным сгущением имеющейся высотной геодезической сети.

Как показывает анализ результатов повторных геодезических нивелировок, территория Бибиэйбатского месторождения с течением времени испытывает неравномерное прогибание своей поверхности (см. рис. 1). При сохранении общей тенденции в сторону уменьшения амплитуд прогибания земной поверхности от сводовой части структуры к ее погруженным участкам, местами она оказывается как бы нарушенной. Так, например, скважины №№ 2777 и 2783 расположе-

ны на своде складки почти рядом, между изогипсами 500—550. Если среднегодовая скорость высотных смещений устья скв. № 2777 составляет —75 мм/год, то эта величина у скв. № 2783 доходит до —6 мм/год. Такое положение, на наш взгляд, прежде всего объясняется обособленностью указанных скважин по отдельным тектоническим блокам и характером проявления подвижности их во времени.

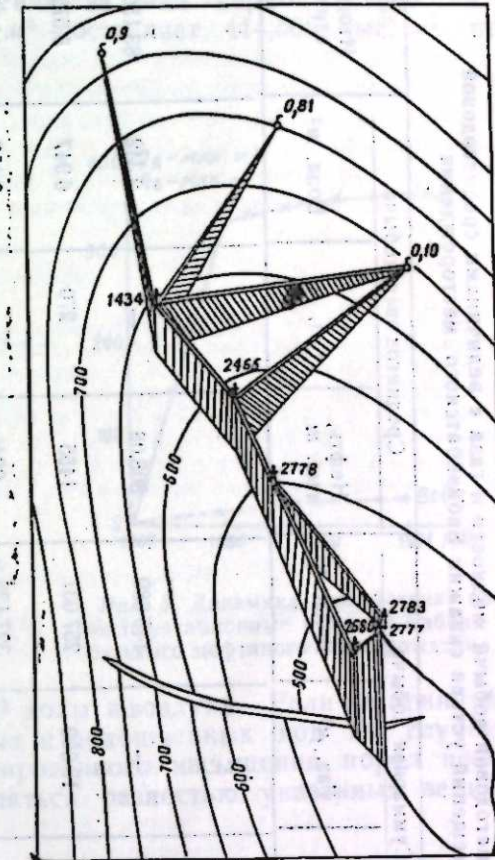


Рис. 1. Блок-диаграмма среднегодовых высотных смещений отрицательного знака реперов и устьев эксплуатационных скважин Бибиэйбатского нефтяного месторождения (структурная карта по подошве X пласта).

С целью установления возможного влияния процесса нефтегазоизвлечения на колебание поверхности Бибиэйбатского месторождения нами подсчитывалась добыча нефти, газа и воды по всем эксплуатационным объектам и отдельным скважинам за весь период разработки залежей, учитывались энергетические ресурсы пласта и другие параметры.

Сопоставлялись и основные показатели разработки месторождения с величинами среднегодовых высотных смещений устьев отдельных скважин (таблица).

Из таблицы следует, что при среднегодовом отборе жидкости и природного газа 8,672 м³ из скв. № 2414 среднегодовая скорость высотных смещений доходит до —50 мм/год, а у скв. № 2882, наоборот, наблюдается обратная картина. Так, при среднегодовом отборе жидкости и природного газа 307,679 м³ среднегодовая скорость высотных смещений устья скв. № 2882 уменьшается и составляет лишь —29 мм/год. Эти данные более наглядно иллюстрируются на построенных нами кривых (рис. 2).

Не менее важным является и то обстоятельство, что в течение 1964—1968 гг. при повторном геодезическом нивелировании абсолютные отметки реперов №№ 0,50, 051, 017, 040, 10, 046, 09, 08 и др., установленных в пределах месторождения, оказались постоянными,

Сопоставление данных среднегодовой добычи жидкости и газа с величинами среднегодовой скорости высотных смещений устьев скважин Бибиэйбатского месторождения

№ п/п	№ скважины	Период разработки	Суммарная добыча			Среднегодовая лобыча			Итого, един.	Среднегодо- вая ско- рость высот- ных смеще- ний, $v = \text{мм}/\text{ч}$
			Нефть, тыс. т	Газ, м ³	Вода, м ³	Нефть, тыс. т	Газ, м ³	Вода, м ³		
1	1 434	1900—1972	51734,3	—	149 889	808,08	—	2 342	83 150	-26,4
2	2 465	1908—1972	53809,3	10 000	257 037	1455	270	6 947	8,672	-30,5
3	2 414	1935—1972	35413,2	—	327 126	984	—	9 087	10,09	-50,0
4	2 401	1936—1972	10593,1	350000	58 983	481	—	19,071	—	-7,5
5	2 783	1950—1972	22211,6	3500000	400 701	1009	227 500	17 214	245,273	-6,0
6	2 820	1950—1972	30881,1	30 000	658 815	1287	1 250	2 745	5,282	-44,0
5	2 777	1948—1972	11089,6	600000	142 514	554,4	30 000	7 125	307,079	-75,0
8	2 882	1952—1972	255000	—	42 142	3052	10 625	1 756	15,433	-29,0
9	2 778	1948—1972	73247,1	—	—	—	—	—	—	-31,4

хотя за указанное время, по-прежнему продолжалось нефтегазонизвлечение.

Особый интерес представляет сравнение данных суммарного отбора жидкости и природного газа в целом по месторождению с объемом закачиваемых в пласты воды и воздуха.

Как видно из кривых (рис. 3, 4), объем извлекаемой жидкости и природного газа по месторождению за весь период разработки в переводе измерения на единицу м^3 составляет 444,565 тыс. м^3 при

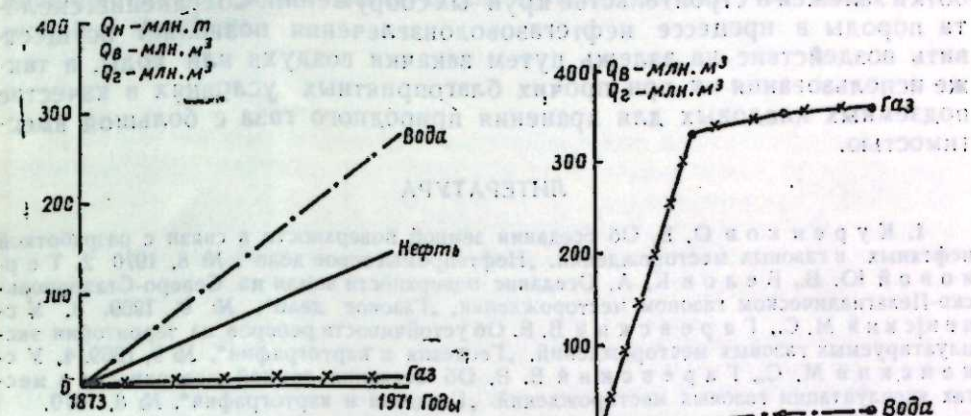


Рис. 2. Кривые сопоставления среднегодовых высотных смещений устьев эксплуатационных скважин со среднегодовыми отборами жидкости и природного газа Бибиэйбатского нефтяного месторождения.

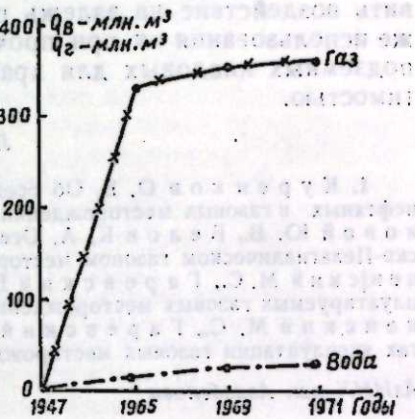


Рис. 3. Динамика воздействия на эксплуатационные объекты Бибиэйбатского нефтяного месторождения.

закачке в пласты 396,657 тыс. м^3 воды и воздуха. Если не принимать во внимание поступление краевых и подошвенных вод из глубоких депрессий, то объем некомпрессированного насыщения пород нефтегазоносных пор будет определяться разностью указанных величин порядка 97,908 тыс. м^3 .

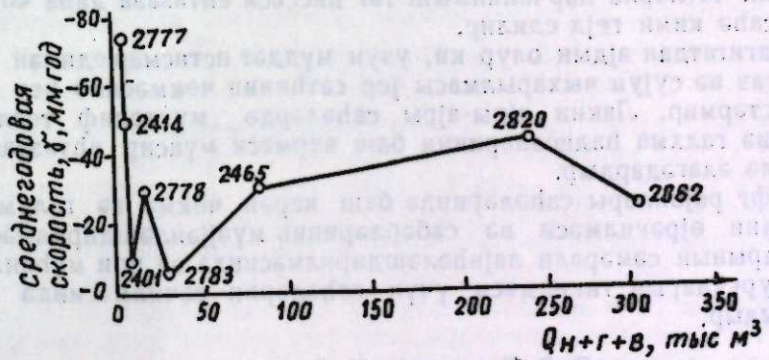


Рис. 4. Динамика нефтегазовоизвлечения из эксплуатационных объектов Бибиэйбатского нефтяного месторождения.

Приведенные выше данные не оставляют никакого сомнения в том, что вопреки утверждениям отдельных исследователей [1, 2, 3, 4] процесс нефтегазонизвлечения не может оказывать влияния на скорость колебания поверхности разрабатываемых месторождений.

Что касается падения пластового давления по отдельным нефтегазоносным объектам месторождения с течением разработки, то оно свидетельствует об отсутствии геостатической нагрузки вышележащих

слоев и вызывает необходимость поддержания такого лишь путем осуществления воздействия на залежи.

Итак, резюмируя изложенное, можно заключить, что наблюдаемые прогибания или, наоборот, поднятия, а также распространение их по площади с различной интенсивностью всецело зависит от характера проявления современных колебательных движений. Более податливы к воздействию усилий современных колебательных движений выделяются те участки месторождения, которые оказались разбитыми тектоническими нарушениями, что следует учесть при проектировании разработки залежей и строительстве крупных сооружений. Сохранение скелета породы в процессе нефтегазоводонизгачения позволяет осуществить воздействие на залежь путем закачки воздуха или воды, а также использования их при прочих благоприятных условиях в качестве подземных кладовых для хранения природного газа с большой вместимостью.

ЛИТЕРАТУРА

1. Куренков О. В. Об оседании земной поверхности в связи с разработкой нефтяных и газовых месторождений. „Нефтепромысловое дело”, № 8, 1970.
2. Терновой Ю. В., Белов К. А. Оседание поверхности земли на Северо-Ставропольско-Пелагиадическом газовом месторождении. „Газовое дело”, № 9, 1969.
3. Успенский М. С., Гаревский В. В. Об устойчивости реперов на территории эксплуатируемых газовых месторождений. „Геодезия и картография”, № 9, 1969.
4. Успенский М. С., Гаревский В. В. Об оседании земной поверхности в местах эксплуатации газовых месторождений. „Геодезия и картография”, № 8, 1970.

АзИНХ им. Азизбекова

Поступило 13. III 1973

О. Ч. Гусейнзадэ, В. Р. Ященко

Бибишебэт нефт ятағы саһәсіндә апарылан тәкрап
кеодезик нивелирләмә иәтичәләринин тәдгигинә даир

ХУЛАСЭ

Мәгаләдә тәкрап кеодезик нивелирләмә иәтичәләринин елми чәһәтдән әтрафлы суратдә тәһлили, һәмчинин ятағының ишләнилмә дөврүндәки мә’дән-кеологияның үмумләшширилмәси әсасында йер сәттинде баш верән еңтазалар арашдырылып. Структурун тектоник ҹатларла парчаланмыш тағ һиссәси еңтазаза даһа чох мә’рүз галан саһә кими гејд едилир.

Тәдгигатдан айдан олур ки, узун мүддәт истисмар едилән ятагдан нефт, газ вә сујун чыхарылмасы йер сәттинин чекмәсінә неч бир тә’сир көстәрмір. Лаки айры-айры саһәләрдә мұхтәлиф тезликләрдә чекмә вә галхма надисәләринин баш вермәси мұасир еңтазазы нәрекәтләрлә әлагәдарды.

Нефт рајонлары саһәләринде баш верән чекмә вә галхма надисәләринин өјрәнилмәси вә сәбәбләринин мүәжжәләшдирилмәси ятаг истисмарының сәмәрәли лајиһәләшдирилмәсіндә вә ири мүһәндис-техники гургуларын тикилмәси учун саһәләрин сечилмәсіндә олдуғча фајдалыдыр,

O. D. Guseinzade, U. R. Yaschenko

On the investigation of the results of repeated levellings on the
territory of the Bibliebat oil field

SUMMARY

Basing on the profound scientific analysis of the results of the repeated geodesic levellings as well as the generalization of the geological and oil field data over the whole period of its development the paper covers the problem of the earth's crust fluctuations in time.

The most mobile section within the structure is its done part which appeared to be damaged as a result of tectonic disturbances.

As it was ascertained by the investigation, the withdrawal of oil, gas and water from the exploited areas of an oil-field with long development duration had no effect on the rate of the crust flexure. Here, the main part is played by the contemporary tectonic movements and intensity of their activity in time in some particular areas of the territory.

The elucidation of the factors affecting the crust fluctuation in the oilbearing areas enables to ensure the rational designing of oil field development and proper choice of the construction site for large-scale technical structures.

УДК 549.351.12

А. А. АЛИЕВ, С. А. МАХМУДОВ, Б. В. МУСТАФАЗАДЕ
О НАХОДКЕ ТАЛНАХИТА В ФИЛИЗЧАЙСКОМ
КОЛЧЕДАННО-ПОЛИМЕТАЛЛИЧЕСКОМ МЕСТОРОЖДЕНИИ

(Представлено академиком АН Азербайджанской ССР М. А. Кашкаем)

Кубическая модификация халькопирита экспериментально была получена [10, 12] при нагревании природного и синтетического тетрагонального халькопирита выше 550°C. Снижение температуры приводит к образованию широко распространенного в природе тетрагонального халькопирита.

В природных условиях кубический халькопирит был обнаружен в медно-никелевых рудах Норильской группы месторождений [2]. По рекомендации Комиссии по новым минералам Международной минералогической ассоциации природной кубической модификации халькопирита было предложено новое название. Вследствие широкого развития этого минерала в рудах Талнахского месторождения он был назван талнахитом [3].

Вначале талнахит с составом $\text{CuFeS}_{1.8}$ и $a = 5,28 \text{ \AA}$ был идентифицирован с синтетическим кубическим высокотемпературным халькопиритом с $a = 5,26 \text{ \AA}$. Последующими работами А. Д. Генкина и др. [4], L. I. Cabri [7], L. I. Cabri, D. C. Harris [8] было показано, что талнахит имеет большую кубическую ячейку с $a = 10,6 \text{ \AA}$, подобную ячейке синтетической β -фазы по И. Хиллеру и К. Пробштейну [12] и формулу $\text{Cu}_{18}\text{Fe}_{16}\text{S}_{32}$. Структура талнахита расшифрована S. R. Hall, E. I. Gabe [11]. Они установили, что последняя отличается от структуры тетраэдрита—теннантита, сходство которых предполагал L. I. Cabri [7]. Это отличие заключается в том, что, во-первых, позиции $2a$ в талнахите заняты атомами металлов, а в блеклых рудах—атомами серы, во-вторых, восемь атомов серы, занимающих в талнахите позиции $8c$, отсутствуют в структуре блеклых руд. Распределение атомов металлов характеризуется частичной упорядоченностью.

В дальнейшем были установлены еще два минерала в семействе халькопирита и талнахита—моихукит $\text{Cu}_9\text{Fe}_9\text{S}_{16}$ и хейлокит $\text{Cu}_4\text{Fe}_5\text{S}_8$ (Cabri, Hall [9]). Из них моихукит отвечает γ -фазе И. Хиллера и К. Пробштейна [12]. Моихукит установлен и в медно-никелевых рудах Октябрьского месторождения в Норильском районе, где является широко распространенным минералом (Муравьева, Естингенеева, Филимонова, Малов [6]).

В рудах Филизчайского месторождения талнахит был нами обнаружен в ассоциации со сфалеритом, гексагональным и моноклинным пирротинами, троилитом (Алиев, Махмудов, Мустафазаде [1]) и другими минералами.

Под микроскопом талнахит наблюдается в виде неправильных форм выделений размером от тысячных и сотых долей до 1 мм. По сравнению с тетрагональным халькопиритом цвет его несколько розоватый. Однако в обособленных выделениях указанные модификации халькопиритов различить по цвету и отражательной способности практически невозможно. В скрещенных николях наш талнахит характеризуется изотропностью, что является единственным отличительным признаком от тетрагонального халькопирита при обычных минерографических исследованиях.

Талнахит из Филизчайского месторождения был исследован рентгенометрически (таблица; условия съемки: Fe—излучение, 30 кв, 10 mA, $D_{\text{эфф.}} = 56,86 \text{ mm}$, $d = 0,4 \text{ mm}$, $h = 14 \text{ \mu}$, асимметричная закладка пленки). Как видно из таблицы, межплоскостные расстояния нашего талнахита весьма близки к таковым талнахита из Норильского месторождения (по Cabri, Hall [9]).

Межплоскостные расстояния талнахита

hkl	Талнахит, Филизчайское месторождение Азербайджанской ССР		Талнахит, Норильский район, по Cabri, Hall [9]	
	I	$d \text{ \AA}/n$	I	$d \text{ \AA}/n$
110	—	—	3	7,48
200	—	—	0,5	5,29
210	—	—	0,5	4,32
220	1	3,73	4	3,75
310	3	3,34	2	3,35
222	10	3,07	10	3,06
321	1	2,829	1	2,83
400	1	2,655	5	2,64
411,330	—	—	2	2,49
420	—	—	0,25	2,37
332	—	—	1	2,26
422	1	2,159	1	2,16
510,431	3	2,080	2	2,08
440	10	1,877	9	1,873
620	1	1,672	0,5	1,675
622	5	1,593	7	1,599
444	1	1,536	3	1,531
721,633,552	1	1,444	0,25	1,443
642	1	1,421	0,25	1,415
730	1	1,387	0,25	1,390
800	3	1,319	4	1,323
662	6	1,210	5	1,213
752	1	1,203	1	1,199
840	1	1,190	2	1,184
844	6	1,078	6	1,079
941,853,770	1	1,068	—	—
10,2,2,666	3	1,0207	5	1,019
10,3,1,952; 765	2	1,0068	—	—
880	—	—	5	0,936

Параметр элементарной ячейки талнахита Филизчая $a = 10,591 \pm 0,007 \text{ \AA}$, вычисленный по дебаеграмме, тоже весьма близок параметру талнахита $a = 10,593 \text{ \AA}$ (Hall, Gabe [11]).

В дебаеграмме другой пробы отмечались некоторые слабые расщепления определенных линий, что указывало на примесь тетрагональных минералов.

нального халькопирита. Нами допускается наличие тетрагональной фазы в талнахите как следствие перехода его в более низкотемпературную модификацию. Присутствие тонких прорастаний талнахита с тетрагональной модификацией халькопирита отмечали А. Д. Генкин и др. [4], И. А. Будько и Э. А. Кулагов [3]. Неустойчивость кубической разновидности была подтверждена экспериментальными термометрическими исследованиями.

Учитывая характер количественных и структурных взаимоотношений талнахита с халькопиритом и сопутствующими минералами медно-пирротиновой ассоциации Филизчайского месторождения, а также принимая во внимание экспериментальные исследования А. П. Лихачева [5], можно предположить, что образование талнахита здесь происходило в результате распада халькопиритового твердого раствора при температуре около 300°.

ЛИТЕРАТУРА:

1. Алиев А. А., Махмудов С. А., Мустафазаде Б. В. О находке троилита в филизчайском колчеданно-полиметаллическом месторождении. Минералогия и рудные месторождения, изд-во Элм, 1974. 2. Будько И. А., Кулагов Э. А. Природный кубический халькопирит. ДАН СССР, т. 152, № 2.
3. Будько И. А., Кулагов Э. А. Новый минерал талнахит—кубическая разновидность халькопирита. Зап. Всесоюз. минер. об-ва, ч. 97, вып. 1, 1968.
4. Генкин А. Д., Филимонова А. А., Шадлуин Т. Н., Соболева С. Б., Троицева Н. В. О кубическом кубаните и кубическом халькопирите. Геол. рудн. месторожд., № 1, 1966.
5. Лихачев А. П. Экспериментальное исследование парагенезисов системы Cu—Fe—S. Сб. Минералы и парагенезисы минераловрудных месторождений. Наука, Л., 1973.
6. Муравьева И. Б., Евстигнеева Т. Л., Филимонова А. А., Малов В. С. Первая находка моихукита в медно-никелевых рудах Октябрьского месторождения (Норильский район). Геол. рудн. месторожд., № 3, 1972.
7. Cabrit L. I. A new copper-iron sulfide. Econ. Geol., 1967, v. 62, No. 7, 910—925.
8. Cabrit L. I., Harris D. C. New compositional date for talnakhite, $Cu_{18}(Fe, Ni)_{16}S_{32}$. Econ. Geol., 1971, v. 66, No. 4, 673—675.
9. Cabrit L. I., Hall S. R. Moolhockite and haycockite two new copper-iron sulfides, and their relationship to chalcopyrite and talnakhite. Amer. Mineral., 1972, v. 57, p. 689—708.
10. Donnay G., Kullerud G. High temperature chalcopyrite. Carnegie Inst., Wash., Year Book 57, 1958, p. 246.
11. Hall S. R., Gabe E. I. The crystal structure of talnakhite, $Cu_{18}Fe_{16}S_{32}$. Amer. Mineral., 1972, v. 57, p. 368—380.
12. Hiller I. E., Probstain K. Thermische und rontgenographische Untersuchung am Kupferkies. Z. Kristallogr., 1956, Bd. 108, Hf. 1—2, S. 108—129.

Институт геологии

Поступило 7. X 197

А. Э. Элиев, С.Э. Махмудов, Б. В. Мустафазаде

Филизчай колчедан-полиметалль јатағында талнахит минералынын тапталымасы нағызыда

ЖУЛАСЭ

Мәгаләдә Филизчай јатағы учун жени минерал олан талнахитин дәгиг өјрәнилмә иәтичәләри верилмишdir. Халкопиритин кубик модификасијасы олан бу минерал сферерит, hexagonal and monoclinic pyrrhotite, troilite and oth. The difference of talnakhite from chalcopyrite is shown and the unit cell parameter is determined.

Талнахитин халкопиритдән фәрги көстәрилмиш вә дебајеграмлара эсасән элементар гәфәсәнин параметри тә'жин едилмишdir.

A. A. Aliev, S. A. Mahmudov, B. W. Mustafazade

On the finding of talnakhite in Phylischay pyrite-polymetallic deposit

SUMMARY

The results of detailed studies of talnakhite, a new mineral from Phylischay deposit, are given. It is observed in a close association with sphalerite, hexagonal and monoclinic pyrrhotite, troilite and oth. The difference of talnakhite from chalcopyrite is shown and the unit cell parameter is determined.

АЗЭРВАҶЧАН ССР ЕЛМЛӘР АКАДЕМИЈАСЫНЫН МӘРҮЗӘЛӘРИ

ДОКЛАДЫ АКАДЕМИИ НАУК АЗЕРБАЙДЖАНСКОЙ ССР

ТОМ XXX чилд

№ 8

1974

ГЕОЛОГИЯ

УДК 551.21

Акад. А. Д. СУЛТАНОВ, Н. В. МАМЕДОВА

ПЕТРОХИМИЧЕСКИЕ ОСОБЕННОСТИ ТРАССОВ СЕВЕРО-ВОСТОЧНОЙ ЧАСТИ МАЛОГО КАВКАЗА

Трассы в пределах северо-восточной части Малого Кавказа широко распространены в зоне Казахского прогиба Сомхето-Агдамского антиклиниория. Здесь они встречаются в бассейнах рр. Инчай, Гасансу, Таузчай и на горной гряде Айдаг.

В указанных местах трассы залегают у кровли вулканогенной толщи нижнего сантонса в виде отдельных пластов мощностью 2—35 м, которые чередуются с небольшими слоями карбонатных отложений. Трассы представляют собой плотные голубовато-зеленые лitoидные породы, лишенные вкраплеников; в отдельных случаях имеют брекчийевидное сложение.

Петрографическое изучение трассов показало, что они являются пирокластическими породами типа сваренных витрокристаллокластических туфов теплого потока. Основная масса их состоит из тонких, плотно приплетенных друг к другу неправильного углекатых обломков кристобалита и полевого шпата с небольшим участком опала, халцедона и тридимита, заполняющие миаролитовые пустоты туфов. Вся указанная минеральная ассоциация является продуктом кислого стекла липарито-дацитов.

В массе вулканического стекла всегда присутствуют микрофенокристы плагиоклаза (до 15 %), альбит-олигоклазового ряда, редко кислого андезина. Встречаются единичные кристаллы биотита, роговой обманки, пироксена, апатита, циркона и магнетита. Отмечены инородные включения, связанные с породами, через которые туфообразующие магмы прокладывали свой путь к поверхности или с породами, захваченными на поверхности при перемещении потока. Они представлены мелкими обломками карбонатов, порfirитов и туфогенных пород основного состава. Из вторичных минералов большим развитием пользуется хлорит, образовавшийся за счет раскристаллизации стекла, изредка встречаются монтмориллонит и цеолиты.

Петрохимическая характеристика трассовых пород дается по результатам более 100 химических анализов. Средние химические составы этих пород по месторождениям показаны в таблице, а их графическое изображение на рис. 1.

Средние химические составы трассовых пород по месторождениям

Месторождения	SiO ₂	TiO ₂	Al ₂ O ₃	Fe ₂ O ₃	FeO	MnO	MgO	CaO	Na ₂ O	K ₂ O	H ₂ O	П. П. П.	Сумма
Аббастапа	63,29	—	14,03	3,18	0,47	—	1,60	5,00	1,65	1,76	2,23	7,36	100,54
Кероглы	66,77	0,36	14,86	2,54	0,57	—	1,72	3,76	2,01	2,09	4,4	6,80	100,88
Айдаг	67,89	0,8	11,70	1,80	0,23	—	1,90	3,87	2,78	1,94	2,25	9,17	104,33
Гаймахлы	66,5	—	12,46	2,32	0,43	—	1,7	4,18	2,21	2,04	1,96	7,10	101,0

Характеристики по А. Н. Заварницкому

Месторождения	<i>a</i>	<i>c</i>	<i>b</i>	<i>s</i>	<i>a</i> ₁	<i>f</i> ₁	<i>m</i> ₁	<i>c</i> ₁	<i>n</i>	<i>φ</i>	<i>Q</i>
Аббастапа	6,4	6,8	7,6	79,2	12,5	45,5	42,0	12,5	61,5	39,5	+43,4
Кероглы	7,4	4,7	9,2	78,7	38,2	22,5	32,3	—	61,3	24,4	+40,0
Айдаг	9,0	3,5	7,3	80,2	—	37,1	46,7	16,2	69,0	20,9	+37,5
Гаймахлы	8,1	4,3	7,2	80,4	—	39,5	53,0	7,5	66,0	34,0	+38,4

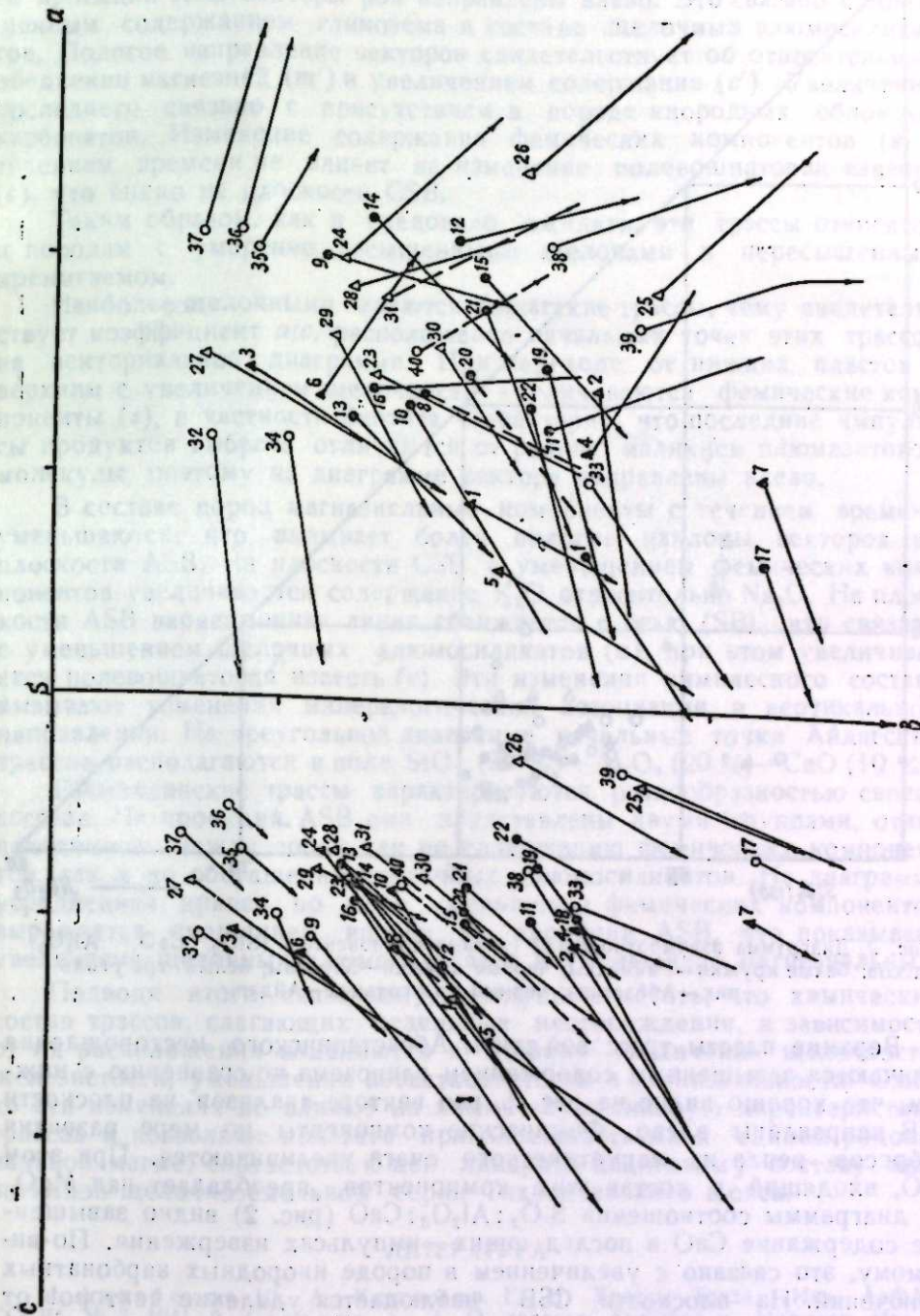


Рис. 1. Диаграмма химических составов трассовых пород северо-восточной части Малого Кавказа: белые кружки—Гаймахлинское месторождение, черные кружки—Кероглинское; белый треугольник—Аббастапинское, черный треугольник—Айдагское месторождение.

При сопоставлении химизма трассовых пород Аббастапинского Кероглинского, Айдагского и Гаймахлинского месторождений, обнаруживается незначительное различие между ними.

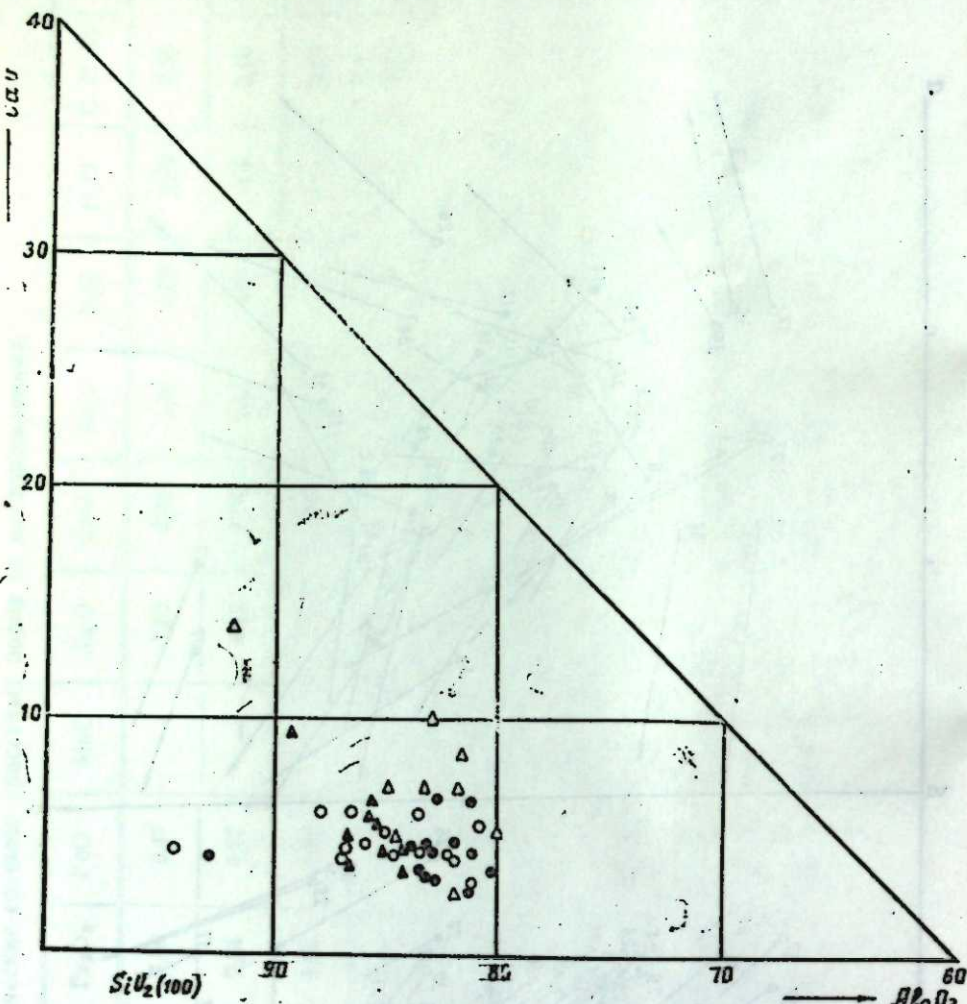


Рис. 2. Диаграмма взаимоотношений главных компонентов (SiO_2 , CaO , Al_2O_3) трассов: белые кружки—Гаймахлы; черные кружки—Кероглы; белый треугольник—Аббастапа; черный треугольник—Айдаг.

Верхние пласти трассовой свиты Аббастапинского месторождения отличаются завышенным содержанием глиноzemата по сравнению с нижним, что хорошо видно на рис. 1, где вектора анализов на плоскости ASB направлены влево. Фемические компоненты по мере развития выбросов пепла из магматического очага увеличиваются. При этом CaO , входящий в состав этих компонентов, преобладает над MgO . Из диаграммы соотношения $\text{SiO}_2 : \text{Al}_2\text{O}_3 : \text{CaO}$ (рис. 2) видно завышенное содержание CaO в последующих импульсах извержения. Повидимому, это связано с увеличением в породе икородных карбонатных включений. На плоскости CSB наблюдается удаление векторов от оси SB, вместе с тем можно отметить преобладание калия над натрием, указывающего появление щелочного шпата—сандинита. Это увязывается также с минеральным составом трассовых пород.

Выяснение всего комплекса химических взаимоотношений трассовых пород Аббастапинского месторождения показало, что они относятся к классу пересыщенных кремнеземом.

На Кероглинском месторождении верхние пласти трассовой свиты наиболее обогащены кремнеземом и обеднены Al_2O_3 , Fe_2O_3 , CaO , MgO и щелочами. В нижней части свиты отмеченные компоненты появляются в количестве, характеризующем породу как относительно бедную кремнекислотой. Анализируя диаграмму (рис. 1) видим, что на проекции ASB векторы роя направлены влево. Это связано с повышенным содержанием глиноzemата в составе щелочных алюмосиликатов. Пологое направление векторов свидетельствует об относительном обеднении магнезией (m') и увеличением содержания (c'). Увеличение последнего связано с присутствием в породе икородных обломков карбонатов. Изменение содержания фемических компонентов (a) с течением времени не влияет на изменение полевошпатовой извести (c), что видно на плоскости CSB.

Таким образом, как и следовало ожидать, эти трассы относятся к породам с умеренно насыщенными щелочами и пересыщенным кремнеземом.

Наиболее щелочными являются Айдагские трассы, чему свидетельствует коэффициент a/c , расположение начальных точек этих трассов на векториальной диаграмме. При переходе от нижних пластов к верхним с увеличением щелочности увеличиваются фемические компоненты (a), в частности биотита. Характерно, что последние импульсы продуктов выброса отличаются от ранее наличием плумазитовой молекулы, поэтому на диаграмме вектора направлены влево.

В составе пород магнезиальные компоненты с течением времени уменьшаются, что вызывает более пологие наклоны векторов на плоскости ASB. На плоскости CSB с уменьшением фемических компонентов увеличивается содержание K_2O относительно Na_2O . На плоскости ASB вариационная линия сближается с осью (SB), что связано с уменьшением щелочных алюмосиликатов (a), при этом увеличивается полевошпатовая известь (c). Эти изменения химического состава вызывают изменения минералогической ассоциации в вертикальном направлении. На треугольной диаграмме начальные точки Айдагских трассов располагаются в поле SiO_2 (70 %)— Al_2O_3 (20 %)— CaO (10 %).

Гаймахлинские трассы характеризуются разнообразностью своего состава. На проекции ASB они представлены двумя группами, отличающимися между собой как по содержанию фемических компонентов, так и по обогащению щелочных алюмосиликатов. На диаграмме усредненная кривая по мере уменьшения фемических компонентов выражается смещением вправо на проекции ASB, что показывает увеличение щелочных алюмосиликатов и уменьшение магнезиальных.

Подводя итоги сказанному, следует отметить, что химический состав трассов, слагающих отдельные месторождения, в зависимости от их расположения изменяется в сторону увеличения щелочности, железистости, уменьшения известковистости и магнезиальности. Однако эти изменения не влияют на химическую типовую характеристику трассов и позволяют полагать принадлежность их к единой родонаучальной магме, соответствующей липарито-дацитовому составу аналогичной щелочноземельной серии Тихоокеанского пояса.

ЛИТЕРАТУРА

1. Азизбеков Ш. А., Керимов Г. И. Трассы Тауза. „Изв. АзФАН СССР“, № 3, 1941.
2. Ализаде А. А. О трассах бассейна р. Ниджасу. Изд-во АН Азерб. ССР, № 6, 1962.
3. Левинсон-Лессинг Ф. Ю., Дьяконова-Савельева Е. Н. Вулканическая группа Карадага в Крыму. Изд-во АН СССР, Л., 1933.
4. Лебединский В. И., Макаров Н. М. Вулканизм горного Крыма. Изд-во АН УССР. Киев, 1962.

Институт геологии

Поступило 16. II 1972

Кичик Гафгазын шимал-шәрг һиссәсіндеги трассларының
петрокимієви хұсусијеттері

ХУЛАСӘ

Трасслар Инчәса, Һәсәнсу, Товузчај чајларының һөвзәләрендә вә
Айдағ дағы рајонунда кениш язылыштыр. Бунлар ашағы сантон
вулканик гатларының таванында жатыр.

Жатагларын йерләшмәсіндән асылы олараг трассларын кимієви
тәркиби дә дәжишир. Онының гәләвилиji, дәмирилиji артыр, әһәнклиji
вә магнезиумлуғу азалыр.

Трасслар липарит-дасит тәркибли илкін магманың мәһсүлудур.

A. D. Sultanov, N. V. Mamedova

Petrochemical peculiarities of trasses of the North-Eastern
part in the Mivlor Caucasus

SUMMARY

Chemical composition of trasses is changed to the side of hyperal-
kalinity, ferruginosity and decrease of calcicity and magnesiasity accord-
ing to the deposit arrangement.

All these changes do not influence to the chemical typical character-
istics and allow to suppose their belonging to the united parent magma
corresponding to the liparite-dacitic composition of analogical alkaline-
earth series of the Pacific Ocean belt.

УДК 551. 7

СТРАТИГРАФИЯ

Р. А. Аллахвердиев

К ВОПРОСУ О СЕВЕРНОЙ ГРАНИЦЕ РАСПРОСТРАНЕНИЯ
ПЕСЧАНО-ГЛИНИСТОЙ ЛИТОФАЦИИ ВЕРХНЕГО МАЙКОПА
В ПРЕДЕЛАХ ЮЖНОЙ ПОЛОСЫ ЦЕНТРАЛЬНОГО КОБЫСТАНА

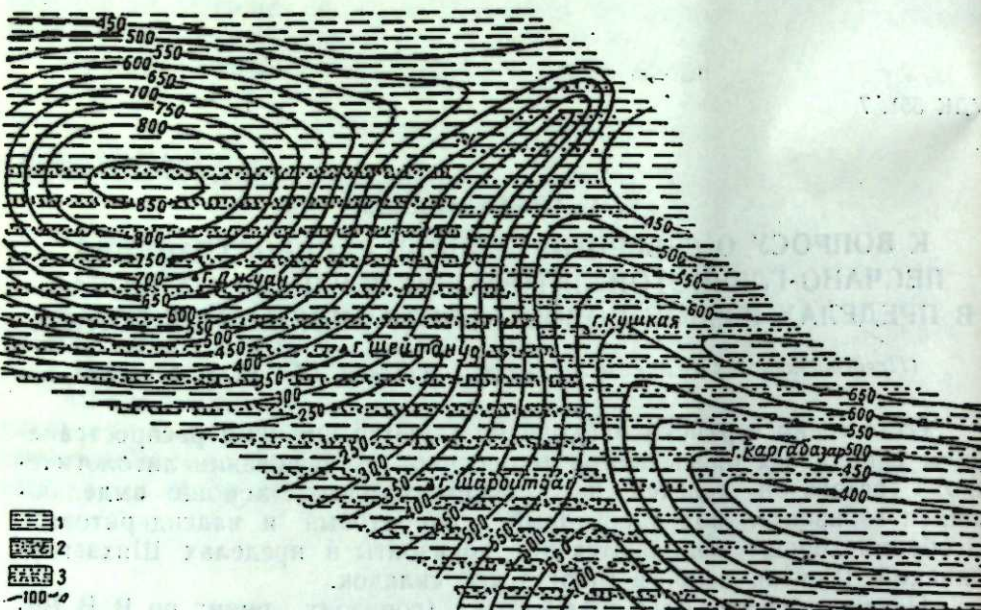
(Представлено академиком АН Азербайджанской ССР К. А. Ализаде)

Отложения верхнего майкопа пользуются широким распространением в пределах описываемой территории. На основании литологического состава он делится на 3 самостоятельных, хорошо выделяющихся горизонта: подсидеритовый, сидеритовый и надсидеритовый. Особенно хорошо выделяются эти горизонты в пределах Шихзагирлинской, Шейтанудской и Бюргутской складок.

Подсидеритовый горизонт (горизонт "рики" по В. В. Веберу [5]). Представлен глинистыми образованиями с крупными, до 1,5 м шаровидными и эллипсоидальными конкрециями, состоящими из доломитизированных известняков и песчаников. Глины зеленовато-бурового цвета, жирные с блестящей поверхностью и темными пятнами на поверхностях разлома, с налетами ярзита. Среди глин встречаются стволы дерева Cedroxylop (южные склоны г. Гайблляр) [1]. Подсидеритовый горизонт обнажается на южном склоне Гайбллярского хребта. Здесь он состоит из серых, коричневато-бурых, темно-бурых и редко-желто-бурых слоистых глин. В них нередко наблюдаются линзы мергелей и доломитовые конкреции эллипсоидальной формы, диаметром 1–3 м. Мощность линз достигает 1 м. Конкреции и линзы имеют коричневато-бурый оттенок и часто обволакиваются концентрическими корками кальцита. Для этого горизонта характерно почти полное отсутствие песчаных прослоев на северном крыле Шихзагирлинской антиклинали. В районе Шейтанудской складки в разрезе подсидеритового горизонта появляются песчаные прослои. На ее северном крыле отчетливо обнажается мощная пачка нефтеносных среднезернистых, бурых песков мощностью до 12 м. Подсидеритовый горизонт отчетливо обнажается в районе Бюргутской антиклинали. Разрез этого горизонта здесь также содержит прослои песков, хотя уже в меньшем количестве. Имея линзовидное залегание, эти пески в большинстве случаев пропитаны нефтью и имеют мощность до 3 м. Общая мощность подсидеритового горизонта в пределах Шихзагирлинской и Шейтанудской площадей составляет соответственно: 380 и 450 м. Исходя из вышеизложенного, можно отметить, что в пределах Шихзагирлин-

ской антиклинали подсiderитовый горизонт выражен в глинистой лиофации, тогда как южнее, на Шейтанудской и Бюргутской площадях, он имеет песчано-глинистый характер (рисунок).

Сидеритовый горизонт. Согласно залегает на подсiderитовом горизонте, обнажаясь узкой полосой на южных склонах хребтов Гаиблар и Шайблар, а также участвует в строении периклинальной восточной части Шихзагирлинской складки. Сидеритовый горизонт состоит из чередующихся железистых песчаников и глин, причем часто песчаники по простианию переходят в пески. В восточном



Карта лиофаций и мощностей верхнего майкопа. Южная полоса Центрального Казахстана: 1—глины (глинистая лиофация); 2—глины с мощными прослойями песков и песчаников (песчано-глинистая лиофация); 3—глины с маломощными прослойями песков и песчаников (песчано-глинистая лиофация); 4—линии равных мощностей (составил Р. А. Аллахвердиев).

направлении от г. Шайблар мощность сидеритового горизонта увеличивается за счет появления новых глинистых пачек, с одновременным уменьшением песчаных прослоев. Таким образом, в восточном направлении сидеритовый горизонт приобретает глинистый характер, отличаясь от подстилающего и надстилающего горизонтов более темной окраской пород. Мощность его достигает 140 м в пределах Шихзагирлинской и 170 м—Шейтанудской складках.

Надсiderитовый горизонт. Согласно налегает на подстилающие отложения сидеритового горизонта, хорошо отбиваясь от него по резкой смене нижележащих темных пород сидеритового горизонта светло-бурыми глинами с обильными выцветами ярозита. В них встречены органические остатки—рыбы чешуи и др.

В пределах Шихзагирлинской антиклинали количество песчаных прослоев весьма незначительно, в то время, как южнее на Шейтанудской и Бюргутской площадях в разрезе надсiderитового горизонта появляются значительные прослои тонко- и мелкозернистых песков (местами слабосцепментированных песчаников), в отдельных случаях представляющих довольно мощные пачки песчано-глинистого чередования.

В кровле горизонта залегают линзовидные плотные сидеритовые кирличевато-бурые песчаники, выше которых залегает линзовидный пласт мелкозернистого, светло-серого вулканического пепла, мощ-

ностью до 30 см. Еще выше залегает мощная пачка серых и шоколадно-бурых глин с ярозитом, на которой лежат отличные от них глины, чередующиеся с тремя пластами серого мелкозернистого вулканического пепла, мощностью 0,5—1 м. Значительная часть надсiderитового горизонта размыта, вследствие чего видимая мощность его составляет не более 180 м в пределах Шихзагирлинской и 200 м—Шейтанудской площадей.

Суммарная мощность верхнего майкопа в пределах Шихзагирлинской антиклинали, с учетом данных по естественным обнажениям, бурения геометрических построений и региональных соображений, не превышает 700—750 м. На Шейтанудской площади мощность верхнего майкопа увеличивается до 800—850 м. Что касается Бюргутской складки, то здесь мощность верхнего майкопа заметно сокращается за счет глубокого разыма и по нашим подсчетам не должна превышать 550—600 м. Таким образом, сопоставляя разрезы верхнего майкопа Шихзагирлинской, Шейтанудской и Бюргутской площадей, можно заметить, что на северном крыле Шихзагирлинской антиклинали верхний майкоп выражен глинистой лиофацией, в то время как на Шейтанудской и Бюргутской площадях он представлен в песчано-глинистой лиофации. Наиболее мощные песчаные прослои встречены структурно-поисковыми скважинами [9] в верхнемайкопских отложениях Шейтанудской складки. Здесь они представлены серыми мелкозернистыми, уплотненными песками с обилием растительных и рыбных остатков и прослойями серых плотных глин, местами пропитанных нефтью. Мощность отдельных пачек достигает 40—50 м.

В пределах Донгузлыкской площади [13] верхнемайкопские отложения не разбиваются на отдельные горизонты, так как почти однообразный глинистый характер осадков сильно затрудняет литологическую разбивку. Верхний майкоп здесь представлен в основном серыми с зеленоватым оттенком, темно-серыми плотными слабосечистыми глинами.

Встречаются прослои песка мощностью до 1 м; исходя из положения о том, что в региональном плане Донгузлыкская складка находится в зоне распространения песчано-глинистой лиофации верхнего майкопа, можно сделать вывод о том, что скважинами вскрыты лишь низы верхнего майкопа бедные песчаными прослойями. Верхняя половина его, к которой обычно приурочены мощные песчаные пачки, видимо, глубоко размыта. Верхнемайкопские отложения Каргабазар-Кафтаранской площади представлены серыми, местами темно-серыми с зеленоватым оттенком слабосечистыми глинами. Изредка скважинами были встречены полутораметровые прослои серого, мелко-среднезернистого глинистого песчаника. О полной мощности верхнего майкопа судить очень трудно, ввиду чего ни одна скважина не вскрыла его подошву, а также вследствие глубокого разыма—его кровлю. Можно предположить, что ориентировочная мощность всего майкопа на Донгузлык-Кафтаранской площади не превышает 1 000 м.

Еще Н. С. Шатским в 1928 г. [12] было замечено, что верхний майкоп Казахстана выражен в 2-х отличных друг от друга фациях: северной глинистой и южной—песчано-глинистой. Граница между двумя этими литсфациями различными исследователями проводится по-разному. В. В. Вебером [4] условная граница проводится с востока на запад, севернее района наших исследований А. Л. Путкарадзе [10] на востоке границу проходит южнее г. Шайблар, т. е. в отличие от В. В. Вебера стопейнует ее к югу, а на западе за пределами исследуемогоами района передвинул на север. А. А. Ализаде [2] значительно расширил восточную границу распространения песчано-глинистой литсфации верхнего майкопа; что касается северной и северо-западной границ этих фаций, то они почти совпадают с таковыми,

приведенными А. Л. Путкарадзе. С 1949—1952 гг. Г. А. Ахмедовы [4] были проведены специальные исследования для уточнения границ обеих фаций верхнего майкопа. Им было установлено, что переход от северной (глинистой) литофации к южной (песчано-глинистый) происходит далеко не закономерно по всей толще и не по прямой линии (в нашем понимании—близширотной). По Г. А. Ахмедову, район наших исследований входит в северную область распространения песчано-глинистой фации верхнего майкопа. С. Г. Салаев [11] также относит рассматриваемую территорию к области распространения песчано-глинистой литофации верхнего майкопа. Анализируя вышеперечисленные верхнемайкопские разрезы на площадях, мы приходим к выводу о том, что отложения северного крыла Шихзагирлинской антиклинали относятся к глинистой литофации верхнего майкопа, где практически лишены сколько-нибудь значительных песчаных прослоев.

Таким образом, северная граница распространения песчано-глинистой литофации верхнего майкопа проводится нами по южному крылу Шихзагирлинской антиклинали. Что касается отсутствия песчаных прослоев на Кафтаран-Каргабазарской площади, то можно сказать, что верхняя часть разреза здесь подверглась глубокому размыву и, таким образом, песчаная часть его оказалась смытой. Это подтверждается тем, что несколько северо-западнее на Донгуздыкской и Бюргутской площадях разрез верхнего майкопа является песчанистым; следует также отметить, что на расположенной севернее Каикишлакской площади, вскрытые скважинами чокракские отложения содержат песчаные разности, т. е. чокрак представлен в песчано-глинистой литофации. Исследованиями доказано, что северная граница распространения песчано-глинистой фации чокрака сбычно располагается южнее аналогичной границы песчано-глинистой фации верхнего майкопа. Следовательно, площадь Каргабазар—Кафтаран находится в зоне распространения южной (песчано-глинистой) фации верхнего майкопа.

Из изложенного следует, что верхний майкоп на исследуемой территории, за исключением северного крыла Шихзагирлинской антиклинали, выражен в песчано-глинистой литофации; особенно хорошо эта литофация прослеживается на Шейтанудской площади. В восточном направлении мощность и количество песчаных прослоев заметно уменьшаются за счет размыва верхних частей разреза. Северная граница песчано-глинистой литофации верхнего майкопа проводится нами по южному крылу Шихзагирлинской антиклинали и в районе восточной периклинали этой складки резко зворачивает на северо-восток, выходя за пределы описываемой территории.

ЛИТЕРАТУРА

1. Агабеков М. Г. Геологические исследования в пределах юго-восточной части планшета П-2 (Бозтапа) Центрального Кобыстана. Фонд Ин-та геологии АН Азерб. ССР, 1953.
2. Ализаде А. А. Майкопская свита Азербайджана и ее нефтеносность. Азиенфтиздат, 1945.
3. Ализаде К. А. Олигоценовые отложения восточной части Малого Кавказа. Изд-во АН Азерб. ССР, 1968.
4. Ахмедов Г. А. Геология и нефтеносность Кобыстана. Азиенфтиздат, 1957.
5. Вебер В. В. Проблема нефтеносности палеогеновых и миоценовых слоев Кобыстана. Труды НИГРИ, серия А, вып. 110, 1939.
6. Гасанов С. Г. Геологический отчет о результатах структурно-поискового бурения на площади Шихзагирлы в 1959—1962 гг. Фонд Тр. "Азморнефтеразведка", 1963.
7. Жабрев И. П. Геологический отчет о производстве структурно-поискового бурения на площади Каргабазар. Фонд Тр. "Азморнефтеразведка", 1956.
8. Жабрев И. П. Геологический отчет о результатах структурно-поискового бурения по площади Кафтаран. Фонд Тр. "Азморнефтеразведка", 1956.
9. Мамедов Б. Б. Шейтануд. Геологический отчет ГПТ за 1953 г. Баку, 1966.
10. Путкарадзе А. Л. Майкопская свита Кобыстана. Фонд Тр. "Азморнефтеразведка", 1938.
11. Салаев С. Г. Олигоцен-миоценовые отложения юго-восточного Кавказа и их нефтегазоносность. Изд-во АН Азерб. ССР, 1951.
12. Шатский Н. С. О фациях и нефтеносности

сти майкопских отложений юго-восточного окончания Кавказа. НХ, № 8, 1928.

13. Яхъяев К. Ю. Геологический отчет о структурно-поисковом бурении в районе Донгуздык в 1954—1955 гг. Фонд Тр. "Азморнефтеразведка", 1955.

Институт геологии

Поступило 4. XI 1971

R. A. Allahverdiev

On the problem of the northern extent boundary of Upper-Mycopian sandy-argillaceous lithofacies within the southern belt of Central Kobystan

SUMMARY

Specification of the northern extent boundary of Upper-Mycopian sandy-argillaceous lithofacies has been carried out. It is significant in prospecting for oil and gas in Paleogene deposits.

Lack of sandy bands in some areas is considered to be a result of extensive washout of the upper part of Mycopian sequence.

СИСТЕМАТИКА РАСТЕНИЙ

УДК 582:001. 9:584. 736/379

Э. Х. ХАЛИЛОВ, Р. К. ДЖАВАДОВА, С. А. ЗЕЙНАЛОВА

О СИСТЕМАТИЧЕСКОМ ПОЛОЖЕНИИ *ASTRAGALUS OLEIFOLIUS* DC.

(Представлено академиком АН Азербайджанской ССР И. К. Абдуллаевым)

Род *Astragalus* L.—один из полиморфных в семействе бобовых и трудных в систематическом отношении. Во флоре Азербайджана этот род представлен 152 видами, из которых 76 встречается в Нахичеванской АССР. Среди нахичеванских астрагалов вид *Astragalus oleifolius* DC. интересен тем, что его систематическое положение до настоящего времени остается неясным.

Ниже приводится синонимика и результаты детального исследования *A. oleifolius* DC. в природе и лабораторных условиях. *A. oleifolius* DC., 1802, *Astrag.*: 192; DC. Prodgr., 1825, 2: 297; Bunge., 1869, *Astrag. geront.* 2: 155; Boiss., 1872, Fl. Or. 2: 372; Гросг., 1949, Опред. раст. Кавк. 137; Гросг., 1952, Фл. Кавк. 15: 292; Ан. Федоров, 1954, Фл. Азерб. 5: 379; —*A. pygniformis* Willd., 1800, Sp. pl.: 1334; non I. Herrt. excl. pl. I. Syria et Palaestina—*longifolius* Willd., 1794, Acta Ac. Berd., 14, excl. tab 2. f. non lam.—*A. aeluropis* Bunge, 1869, *Astrag. geront.* 2: 157; Boiss., 1872, Fl. Or. 2: 374; А. Гросг., 1930, Фл. Кавк. 2: 308—*Tragacantha oleaeifolia* Stev., 1832, in Bull. Nat. Mosc. 4: 269—*T. olifolia* O. Ktze, 1891, Rev. gen.: 946.—А. оливколистный.

Кустарничек 30—50 см высоты, стебли короткие, до 10 см длины. Прилистники треугольные, голые, молодые, посередине с волосками, заостренные, крупные, полуобъемлющие стебель. Листья парно-перистые 25—50 см длины, многочисленные, оси заканчиваются короткой колючкой до 5 мм длины. Черешки голые, цилиндрические, листочки в числе 8—11 (14) пар, крупные, широко-продолговатые, 23—30 (45) мм длины, 12—14 мм ширины, кожистые, сверху почти голые, снизу с редкими прижатыми волосками, бледнозеленые, иногда почти сизые, заостренные, заканчиваются короткой колючкой, к основанию клиновидно суженные. Цветки по нескольку в пазухах листьев, скучены в крупные, яйцевидные, толстые головки 4—6 см в диаметре, прицветники широко-продолговато-линейные, ладьевидные, по спинке до половины беловолосистые, к основанию голые, равны чашечке, последняя 13—18 мм длины с беловолосистыми острыми зубцами,

в 2—3 раза короче трубки чашечки. Венчик беловато-желтоватый (бледно-желтый); флаг 20—28 мм длины, пластинка его с островатыми ушками, немного длиннее клиновидно-суженного ноготка; крылья незначительно превышают флаг, с заметными ушками, лодочка незначительно короче крыльев, с пластинкой в два раза короче ноготка. Тычиночная трубка вверху кососрезанная, при основании срессшаяся с лодочкой и крыльями, тычинки срослись между собой на 3/4 длины, завязь беломохнатая, с длинным столбиком, спущенным на 1/3 от основания. Семяпочек несколько. Бобы беломохнатые, яйцевидные 6—9 мм длины. Цв. V—VI, пл. VII—VIII.

Данный вид приводится для Нахичеванской АССР, где произрастает в среднем горном поясе на сухих каменистых, иногда более или менее влажных склонах.

Общее распространение. Балканский полуостров, Малая Азия, Армянский Курдистан. Описан Декандолем с „Востока“. Тип в Париже. Хорошее декоративное растение.

Детальное изучение экземпляров *A. oleifolius* DC. Из Нах. АССР как в природе, так и в лабораторных условиях путем анализа генеративных и вегетативных органов показало, что растение, принимаемое довольно долгое время за *A. oleifolius* DC. не соответствует действительности.

Это, видимо, произошло по той причине, что со времен О. Декандоля (1802) окраска венчика данного вида неизвестным.

Ботаники Кавказа, в том числе и А. А. Гроссгейм, вероятно, собирали этот вид не в том состоянии, когда венчик имел присущую ему светло-фиолетовую окраску, а в стадии отцветания, когда уже он приобрел желтый цвет.

Видимо, это и послужило причиной тому, что во „Флоре СССР“, „Флоре Кавказа“ указывается, что венчик *A. oleifolius* DC. желтого цвета.

Дальнейшее изучение показало, что нахичеванские экземпляры *A. oleifolius* DC. резко отличаются от типичной формы этого вида еще некоторыми наследственными признаками. Если, согласно литературе, типичный *A. oleifolius* DC. имеет флаг с островатыми ушками, то у нахичеванских экземпляров ушки флага тупые или округлые, переходящие постепенно в ноготок.

Растение более рослое, со значительно крупными листочками и густыми соцветиями.

По литературным данным [1, 2], на территории Кавказа, возможно, распространён очень близкий вид *A. lagowskyi* Trautv., описанный Траутфеттером из Турции (между Табле и Эрзерумом). Изучение типа, хранящегося в Ленинграде, показало, что у этого вида венчик желтый, пластинка флага имеет ушки сростчатые, что исключает возможность отождествления с нахичеванскими экземплярами *A. oleifolius*, у которых венчик светло-фиолетовый, ушки флага тупые или округлые.

Таким образом, нахичеванские экземпляры, до сих пор принимаемые за *A. oleifolius* DC., не соответствуют типичным формам этого вида и *A. lagowskyi* Trautv. Надо полагать, что в Нахичеванской АССР произрастает самостоятельный вид из секции *Macrophyllum* Bois. подрода *Tragacantha* Bge.

Дальнейшие сборы материала, детальное морфологическое исследование цветка помогут дополнить полученные данные.

ЛИТЕРАТУРА

1. „Флора СССР“, т. XII, 1946. 2. „Флора Кавказа“, т. V, 1952. 3. „Флора Азербайджана“, т. V, 1954.
- Институт ботаники АН Азерб. ССР

Поступило 20. IV 1973

Э. Хәлилов, Р. Чавадова, С. Зејналова

Зејтунјарпаг көвән нөвү наггында систематик аныкчылыш

ХУЛАСӘ

Мәгәләдә Гафгазда вә Нахчыван МССР-дә яйлан зејтунјарпаглы көвән нөвүнүн тәбии шәраитдә вә һербари материалларына әсасен апарылмыш тәдгигатларын нәтичеси верилмишdir.

Индіјә гәдәр бир чох флораја аид әдебијатларда Нахчыван МССР-дә *A. oleifolius* DC. нөвүнүн яйымасы гејд олунурdu. Лакин тәдгигатларымызын нәтичеси көстәрди ки, һәмин нөвә орада тәсадүф едилмир. Чүнки зејтунјарпаг көвән нөвү кими гәбул едилән бу нөв халис *A. oleifolius*-дән бир чох таксономик әlamәтләре көрә кәсскин фәргләнир. Нахчыванды *Macrophyllum* Boiss. сексијасына аид олан мүстәгил көвән нөвләри яйымышдыр.

А. Н. Khalilov, R. K. Djavadova, S. A. Zeinalova

On the question of systematic position
of *Astragalus oleifolius* DC.

SUMMARY

This paper deals with the data of investigation of *Astragalus oleifolius* DC, growing under conditions of the Caucasus. The investigation was carried out on the basis of natural and herbarium material. It revealed that *Astragalus oleifolius* DC, described as growing in the Nakhichevan ASSR, was not typical of this region in fact. Nakhichevan representatives of the species, taking as *Astragalus oleifolius* DC, differ from it taxonomically. An original species of *Macrofillum* section was found there.

АЗӘРБАЙЧАН ССР ЕЛМЛӘР АКАДЕМИЈАСЫНЫН МӘРҮЗӘЛӘРИ

ДОКЛАДЫ АКАДЕМИИ НАУК АЗЕРБАЙДЖАНСКОЙ ССР

ТОМ XXX чилд

№ 8

1974

УДК 06.532

ПОЧВОВЕДЕНИЕ

М. Э. САЛАЕВ, Ш. Г. ГАСАНОВ, Ю. И. КОСТЮЧЕНКО

БОНИТИРОВКА ПАХОТНЫХ ЗЕМЕЛЬ АЗЕРБАЙДЖАНА

(Представлено академиком АН Азербайджанской ССР В. Р. Волобуевым)

В Азербайджане, по последним данным статистического управления 1670 тыс. га пахотных земель, из них под орошающими культурами 1132 тыс. га, под бобовыми—538 тыс. га. Качественная характеристика, бонитировка этих земель имеет важное значение в их рациональном использовании в сельском хозяйстве.

Институт почвоведения и агрохимии АН Азербайджанской ССР в течение ряда лет проводит исследования по качественной оценке и бонитировке почв отдельных регионов, в основном административных районов. Эти исследования позволили выявить диагностические признаки почв, коррелирующие с урожайностью ведущих сельскохозяйственных культур, и в некоторой мере проявить основные принципы бонитировки почв в условиях республики [1].

Вместе с тем имеющиеся материалы по бонитировке почв далеко недостаточны для проведения каластра земель в республике. Поэтому выяснилась крайняя необходимость в составления республиканской шкалы бонитета почв.

Качественная оценка почв, как известно, представляет агрономическую характеристику их, т. е. среди, в которой обитает растение в количественных показателях (баллах). Сравнительную оценку почв следует базировать на свойствах почв, определяющих ее плодородие с учетом конкретных условий ведения земледелия. Исходя из этого, за основные критерии бонитировки почв республики нами приняты агрохимические показатели почв, т. е. запасы гумуса, азота, фосфора в глубинах 0—20, 0—50, 0—100 см, т. к. каждый из этих слоев почв представляет различнообитаемые для корневой системы культурных растений толщи и позволяет дифференцированно оценить различные слои почвенного субстрата. Помимо отмеченных свойств за критерии оценки пахотных почв дополнительно принята еще емкость поглощения (по сумме), так как с ее величиной связана поглотительная способность почв, а следовательно, размеры содержания элементов питания, удерживающих почвой, особенно этот показатель важен для оценки почв орошающего земледелия.

Для построения оценочной шкалы выбирали агрохимические данные по типам почв нормального профиля и предельно одинакового механического состава.

Балловая оценка пахотных земель нами дана по орошающим и богарным районам республики с учетом требований ведущих сельскохозяйственных культур (хлопчатника, субтропических, зерновых).

Качественные свойства основных почв Азербайджана по физико-географическим областям показывают различное плодородие почв, даже в пределах одного типа. Например, горные черноземы Большого Кавказа содержат запасы гумуса, азота, фосфора в т/га в слоях 0—50 см соответственно 267, 20, 8, тогда как в этих же почвах Малого Кавказа данные показатели гораздо выше—344, 24, 15. Такая же разница в агрохимических показателях по отдельным областям отмечается у почв аллювиально-луговых, серо-бурых и др. Различия эти заметно снизились в почвах сухо-степной зоны, что, вероятно, связано с хозяйственной деятельностью человека. На качестве почв явно сказалась специфика природных условий каждого региона. Поэтому при бонитировке земель нами использован систематический список почв для каждой физико-географической области отдельно.

При сравнительной оценке по свойствам почв высокоплодородной в орошающем районе республики оказалась аллювиально-луговая почва Малого Кавказа. Показатели этой почвы приняты нами за эталонные и получили высокий балл—100. Для каждой почвы установлен оценочный балл, который является мерой относительного уровня плодородия. Самый низкий балл бонитета среди почв по сумме показателей получили серо-бурые почвы Малого Кавказа и бурые полупустынные Большого Кавказа.

Следует отметить, что средний балл бонитета почв Кура-Араксинской низменности значительно повысился за счет высоких показателей запасов валового фосфора. Как показала обработка материала, по агрохимическим показателям почвы Нахичеванской АССР менее обеспечены питательными веществами, чем почвы других областей республики. Но при этом аллювиально-луговые и каштаново-луговые почвы, благодаря воздействию древнего орошения, хорошо обеспечены валовым фосфором и эти показатели существенно оказались на величине баллов данных почв.

Оценка почв желтоземного типа почвообразования, которые в Ленкорани используются под субтропические культуры, нами произведена отдельно, согласно требованиям этих культур. За этalon принята слабоподзолисто-желтоземная почва, которая широко используется в сельском хозяйстве и занимает значительную площадь в Ленкорани. По плодородию эта почва ниже, чем слабоподзолисто-желтоземно-глеевая, но последняя выборочно используется в сельском хозяйстве, т. к. приурочена к депрессионным, что не позволяет принять ее за эталон.

Среди пахотных почв богарных районов республики по показателям естественного плодородия самыми богатыми оказались горные черноземы Малого Кавказа. Показатели этой почвы приняты за оптимальные для оценки почв богарных районов.

Отметим, что в большинстве республик и областей (Украина, Молдавия, Ростовская область и др. [2, 3]) чернозем также принят за эталон, что, естественно, в дальнейшем облегчит привязку республиканской бонитировочной шкалы к общесоюзной.

Низкий балл (34—40) в богарных районах получили светло-каштановые почвы всех областей.

Почвы Нахичеванской АССР имеют наиболее низкие баллы бонитета. Так, например, если горные серо-коричневые почвы по всем другим областям получили балл 55—57, то эти почвы в Нахичеванской АССР имеют значимость всего 40 баллов. По-видимому, это объясняется широким распространением в Нахичеванской АССР явления смыва почв.

Определив качественную значимость почв по внутренним их свойствам, для уточнения достоверности полученных баллов оценки произведено сопоставление бонитета почв с величиной урожайности сельскохозяйственных культур. В богарных районах баллы бонитета

Бонитировочная шкала пахотных почв Азербайджана
(в баллах)

Почвы	Малый Кавказ	Большой Кавказ	Нахичевань	Кура-Аракс. низменность	Ленкорань
-------	--------------	----------------	------------	-------------------------	-----------

Почвы богарного земледелия					
Горно-бурые послелесные	—	66	—	—	—
Горно-луговые черноземовидные	96	82	—	—	—
Горно-лугово-степные	87	—	55	—	69
Горный чернозем	100	74	—	—	71
Горные коричневые послелесные	68	58	60	—	—
Горные серо-коричневые	55	57	40	—	56
Горные темно-каштановые	60	63	—	—	—
Горные каштановые	48	47	40	—	—
Горные светло-каштановые	38	40	34	—	—
Горно-лесные желтоземные	—	—	—	—	49

Почвы орошающего земледелия					
Коричневые	—	—	—	—	65
Лугово-коричневые	63	75	—	—	—
Коричнево-луговые	—	—	—	—	78
Каштановые	66	—	55	—	—
Лугово-каштановые	89	57	67	—	—
Светло-каштановые	56	—	47	—	—
Бурые полупустынные	—	45	—	—	—
Серо-бурые	41	—	32	52	—
Сероземы	—	—	47	55	—
Лугово-сероземные	—	—	56	62	—
Сероземно-луговые	—	—	66	66	—
Аллювиально-луговые	100	72	79	—	—
Слабоподзолисто-желтоземные	—	—	—	—	100
Среднеподзолисто-желтоземные	—	—	—	—	65
Сильноподзолисто-желтоземные	—	—	—	—	64
Слабоподзолисто-желтоземные глеевые	—	—	—	—	91
Слабоподзолисто-желтоземные глеевые	—	—	—	—	100
Среднеподзолисто-желтоземные глеевые	—	—	—	—	97

почв были сопоставлены с урожайностью зерновых культур, в орошающих районах с урожайностью хлопчатника. Результаты сравнения позволили установить, насколько величина баллов почв коррелируется с урожайностью. В богарных районах в большинстве случаев наблюдается достаточное соответствие величины урожайности и балла оценки почв. Несколько меньше это соответствие выражено на орошаемых землях. В данном случае несоответствие объясняется разным уровнем ведения хозяйства, применением удобрений, орошения и в целом соблюдения агротехники.

Установлено, что коррелятивная связь между баллом почв орошаемых районов по природным свойствам и многолетней урожайностью озимой пшеницы и хлопчатника характеризуется коэффициентом корреляции, равным соответственно +0,65; +0,78. Теснота связи

балла по свойствам почв богарных районов с урожайностью зернобобовых культур равна коэффициенту +0,65.

Результаты проведенной бонитировки почв являются основой для разработки мероприятий, направленных на повышение общего плодородия почв и урожайности сельскохозяйственных культур, которые выращиваются или будут выращиваться на этой почве, а главное — являются одним из звеньев земельного кадастра Азербайджана.

ЛИТЕРАТУРА

1. Волобуев В. Р., Салаев М. Э., Костюченко Ю. И. Опыт агропроизводственной группировки и качественной оценки почв Азербайджанской ССР. *Изв. АН Азерб. ССР*, № 1, 1967. 2. Гаврилюк Ф. Я. Бонитировка почв Ростовской области. *Почвоведение*, № 11, 1959. 3. Кузмичев В. П. Методика качественной оценки (бонитировки) почв Украины. Киев, 1968.

Институт почвоведения
и агрохимии

Поступило 10. VI 1971

М. Е. Салаев, Г. К. Іасенов, Ю. И. Костюченко

Азәрбајчаның әқинчилик торпагларынын бонитировкасы

ХУЛАСӘ

Республиканың дәмҗә вә суварылан раionлары үчүн торпағын бонитировкасы кәнд тәсәррүфаты биткиләринин мәһсүлдарлығына вә мүнбителлијә билаваситә тәсир едән дахили хассәләри әсасында өүрәнилмишdir.

Бу мұғајисәли гијмәтләндирмә заманы суварылан раionлар үчүн Кичик Гафгазын аллұвиал-чәмән, дәмҗә раionлар үчүн дағ гаратор-паглары еталон көтүрүлмүшdүр.

М. Е. Salyev, Sh. m Гасанов, U. I. Costuchenco

The bonitirovca of top soil of Azerbaijan

SUMMARY

In this article is carry out quality of top soils, non-irrigation and irrigation lands of the republic according property of soils. This is correlated with yield of agricultural plants. As standard unit for irrigation soils is taken alluvial-meadow soils, but for mountain non-irrigation soils chernosem of Minor Caucasus.

АЗӘРБАЙЧАН ССР ЕЛМЛӘР АКАДЕМИЈАСЫНЫН МӘРҮЗӘЛӘРИ

ДОКЛАДЫ АКАДЕМИИ НАУК АЗЕРБАЙДЖАНСКОЙ ССР

ТОМ XXX чилд

№ 8 1971

1974

УДК 631.41

В. А. ӘҮМӘДОВ

ШОРАН ТОРПАГЛАРЫН КИМЈӘВИ МЕЛИОРАСИЯ ФОНУНДА ЖУЈУЛМАСЫНДА УДУЛМУШ КАТИОНЛАРЫН ДӘЖИШМӘСИ

(Азәрбајчан ССР ЕА академики Ч. М. Ыусејнов тәзгиди етмишdir)

Шорлашмыш торпагларын әлверишиз су-физики вә физики-кимјәви хассәләри һәмин торпагларын удучу комплексиндә натриум катионун чох олмасыны көстәрир. Шоран торпаглардан истифадә етмәк үчүн торлагда асан һәлл олан дүзләрди јумагла бәрабәр, торпағын удучу комплексиндән натриум катионуну чыхармаг вә ону калсиум катиону илә әвәз етмәк лазымдыр.

Гарабағ дүзүнүн дағатәжи саһәсindә бу чүр характерә малик ағыр килли шоранлар сохдур. Бу торпаглары јахшылашдырымаг мәгсәдилә онларын кимјәви мелиорасија фонунда жујулмасы илә мәшгүл олдуг. Тәчрүбәләр үч тәкрапла апарылмыйшдыр. Һектара 12 мин³ су вә 40 m/ha кәч, 20 m/ha+40m/ha пејин, 40 m/ha үзүн минерал туршулашдырычы вә 30 m/ha сулфат түршесү верилмишdir. Бу мелиорантларын тә'сирини мұғајисә етмәк үчүн контрол мәгсәдилә мелиорантсыз жујадан истифадә олунмушdүр.

Апарылан тәчрүбәләрдән мәлүм олмушдур ки, шоран торпаглар мелиорант верилмәдә жујулдугда торпағын удучу комплексиндә натриум мигдары артыр. Илкин вәзијјәтдә удулмуш әсасларын чәми шум гатында 20 мг·екв, удулмуш натриум исә бунун 18%-ни тәшкил етмишdir. Әvvәлки вәзијјәтә һисбәтән жујадан сонра натриум 0—45 см-лик гатда, хүсусен 9—43 см-лик гатда хејли артмышдыр (7—12%). Бу гатда удулмуш калсиум 19—20% азалмыш, удулмуш магнезиум исә 14—13% үксәлмишdir.

Һектара 40 т кәч верилмиш варианта вәзијјәт тамамилә башга чүр олмушdүр. Бурада үст 0—25 см-лик шум гаты нејтрал һала дүшмүш, Na 5—9% азалмыш вә бунун әвәзиндә Ca артмышдыр.

Кимјәви мелиорасија фонунда жујулмуш торпагларын удучу комплексиндә әмәлә кәлән дәжишикликләр кәчлә пејинин гарышыбы верилән варианта даһа айын көзә ҹарпыр. Бу һалда удулмуш натриум вә удулмуш калсиумун дәжишмәси даһа сәчијјәвидир. Торпаг мелиорасија едилдикдән сонра исә удулмуш натриумун мигдары кәсекин су-рәтдә азалмыш вә торпағын 60 см-лик үст гаты удулмуш натриумун мигдарына көрә тамамилә нормал вәзијјәтә дүшмүшdүр (14—16%-дән азалағ 1—7% олмушdүр). Һәмин гатда удулмуш калсиум катиону-

нуң да кәсқин сүрәтдә артмасыны нәзәрә алсаг, кәчлә пејинин гарышыг һәлда торпаға верилмәсін шоракәтләшмиш торпаглар үчүн ән әлвериши үсул несаб етмәк олар.

Торпаға үзви минерал туршулашдырычы верилдикдә удучу комплексдә вә катионларын мигдарында әлвериши дәјишикликләр әмәлә кәлмишdir. Илкин вәзијәтдә һәмин торпағын уdma туруму бир метрлик гатда 25—29 мг·екә арасында дәјишир. Удулмуш натриум исә 6—8% олмуш вә йумадан соңа азалараг битки үчүн тамамилә зәрәрсиз вәзијәтә дүшмүшдүр.

Жуманын сульфат туршусу фонунда апарылмасы да торпағын шоракәтләшмәсінә мүсбәт тә'сир етмишdir. Торпағын յарымметрик үст гатында удулмуш натриумун мигдары 1—5%-э енмиш вә торпағын бу гаты тамамилә нејтрал һала дүшмүшдүр.

Беләліккә дејіләнләрдән айын олур ки, тәчрубә мәгсәдилә сынагдан кечирилән мелиорантлар шоран торпагларын удучу комплексидә әнәмијәтли дәјишиклик յарадыр. Торпағын шоракәтлик дәрәчесини кәсқин сүрәтдә азалдыр вә торпағы тамамилә нејтраллашдырыр. Бу һалда кәчлә пејинин биркә верилмәси, нефт вә кимја сәнајеси тулантыларындан алынмыш үзви минерал туршулашдырычы даһа чох тә'сир көстәрир.

Торпагшұнаслығын агрокимја институту

Алынмышдыр 23. IV 1972

В. А. Ахмедов

Изменение содержания поглощенных катионов при промывке на фоне химической мелиорации глинистых солончаков

РЕЗЮМЕ

Опытная промывка глинистых солончаков с применением различных химических мелиорантов (гипс 40 т/га, гипс 20 + навоз 40 т/га, подкислитель 40 т/га, серная кислота 30 т/га) и без применения их проведена в Карабахской степи. Установлено, что промывка на фоне химической мелиорации, в отличие от обычной промывки, способствует значительному рассолонцеванию (почти до нейтрализации) почвы. При этом наилучшими способами промывки оказались промывки с применением гипса 20 т/га + навоза 40 т/га и подкислителя 40 т/га.

АЗЭРБАЙЧАН ССР ЕЛМЛӘР АКАДЕМИЯСЫНЫН МӘРҮЗӘЛӘРИ

ДОКЛАДЫ АКАДЕМИИ НАУК АЗЕРБАЙДЖАНСКОЙ ССР

ТОМ XXX чилд

№ 8:

1974

ДОКЛАДЫ АКАДЕМИИ НАУК АЗЕРБАЙДЖАНСКОЙ ССР
ЧИЛД № 8
1974
ГЕНЕТИКА
Член-корр. М. А. АЛИ-ЗАДЕ, Э. М. АХУНДОВА

ВЛИЯНИЕ ВОЗРАСТА ЛИСТЬЕВ ШЕЛКОВИЦЫ НА СОДЕРЖАНИЕ ДНК В КЛЕТКЕ

В предыдущей нашей работе [1] было показано резкое снижение содержания ДНК в клетке старых листьев двух сортов шелковицы. В ней мы приводили результаты исследований, проведенных на молодых, расположенных в верхней части годичного побега, и старых, находящихся на нижней части побега, листьях.

Эти результаты не согласовались с существующей теорией о постоянстве ДНК в ядре или клетке, выдвинутой еще в 1948 г. Буавен и Вендрели [2].

С целью более тщательного исследования этого вопроса мы в 1971 г. заложили специальный опыт, где молодые листочки в день их появления на годичном побеге шелковицы заэтикетировались, а затем через каждые три дня брались пробы отмеченных листьев и определялось число клеток на лист, сухой вес одного листа и содержание нуклеиновых кислот в мг% на сухое вещество в пикограммах на одну клетку. Методы этих определений описаны нами ранее [3]. Первые пробы брались 14 мая 1971 г., в день развещивания этикеток. Результаты определений приведены в таблице.

Содержание ДНК в листьях шелковицы (сорт Морух-тут) в связи с их возрастом

Дата взятия проб	Сухой вес одного листа, мг	Число клеток в одном листе, млн	ДНК на сухое вещество, мг%	ДНК в одной клетке, пг
14. V 1971	59,16	111,2	151,5±1,5	0,535
17. V 1971	117,1	286,0	121,3±1,66	0,497
21. V 1971	221,7	437,0	104,0±1,77	0,485
24. V 1971	353,8	612,0	85,05±1,55	0,469
27. V 1971	565,6	817,0	66,5±5,0	0,431
31. V 1971	794,3	895,0	32,8±0,8	0,366
3. VI 1971	886,3	971,0	41,6±0,5	0,216
7. VI 1971	1041,3	985,0	41,8±2,21	0,208

Наблюдения, проведенные с 14 мая по 7 июля, показали, что сухой вес листа шелковицы сорта Морух-тут беспрерывно растет—в начале периода очень резко, в конце—заметно слабее. Число

клеток в листе увеличивается примерно до 27—31 мая. Дальнейший рост листа за счет увеличения количества клеток прекращается. Увеличение сухого веса происходит за счет накопления веществ в клетке. По мере роста листа падает относительное содержание ДНК ($\mu\text{g}/\text{г}$ на сухое вещество). Наиболее резкое падение наблюдается к 31 мая, т. е. когда прекращается увеличение количества клеток в листе. К концу опыта (7. VI 1971 г.) содержание ДНК в клетке становится в два с половиной раза меньше, чем в начале опыта (14. V 1971 г.). Следует отметить, что в лаборатории цитологии Ю. Агаевым и Е. Федоровой установлено значительное уменьшение объема ядра в листьях шелковицы в связи с их возрастом (неопубликованные данные).

Приведенный материал свидетельствует о том, что даже в короткий начальный период жизни листа шелковицы (ибо эти листья находятся на деревьях до глубокой осени) происходит резкое изменение в содержании ДНК в клетке. Это уменьшение, вероятно, происходит за счет отдельных повторяющихся участков на молекуле ДНК, или копий генов, которые выполнили свои функции в период активных ростовых процессов, становятся уже ненужными, когда ростовые процессы затухают или резко приостанавливаются. По-видимому, в такой период действуют регуляторные системы клеток, освобождающие ее от ненужных выполнивших свои функции включений.

Выводы

1. На основании полученных данных можно заключить, что по мере роста и старения листа шелковицы происходит уменьшение как относительного содержания ДНК ($\mu\text{g}/\text{г}$ на сухое вещество), так и абсолютного ее содержания в клетке (в пикограммах).
2. По-видимому, наблюдаемое резкое уменьшение ДНК происходит за счет дополнительных генов (копий генов).
3. Можно допустить гипотезу о наличии регуляторной системы в растительной клетке, которая в зависимости от ее физиологического состояния способствует увеличению и уменьшению содержания ДНК.

ЛИТЕРАТУРА

1. Али-заде М. А., Ахундова Э. М. О резком снижении содержания ДНК в клетке листьев шелковицы в связи с возрастом. *ДАН Азерб. ССР*, т. XXVII, № 2, стр. 86—88, 1971. 2. Брашё Ш. Биохимическая цитология. ИЛ, 1960.
3. Али-заде М. А.; Ахундова Э. М. Изменение в содержании нуклеиновых кислот в листьях полиплоидных форм шелковицы. *ДАН СССР*, т. 178, № 3, 725—727, М., 1968.

Институт генетики и селекции

Поступило 4 X 1972

М. А. Элизадэ, Е. М. Ахундова

Тут јарпагларынын јашынын һүчејрәдә олан
ДНТ-нин мигдарына тә'сири

ХУЛАСЭ

Тут ағачынын бириллик зөвлөрүнде чохлу мигдарда йени әмәлә кәлмиш чаван јарпаглар нишанланыш вә һәр үч күгдән бир һәмин јарпаглардан нүмүнәләр көтүрүләрк, онларда нуклеин түршүларынын мигдары өјрәнилмишdir. Мүэйжән олунмуштур ки, чаван јарпагларын һүчејрәләриңдә нуклеин түршүлары эн чох олмуш, јарпаглар бөјүдүкчә бир һүчејрәдә олан ДНТ-нин мигдары ғазалмышдыр.

Тәчрүбәдә үч һәфтә әрзиндә бир һүчејрәдә олан ДНТ-нин мигдары бөјүмә илә элагәдар олараг 2,5 дәфә ғазалмышдыр.

М. А. Ali-zade, E. M. Akhundova

The effect of the age leaves of the mulberry (-tree) on the content DNA in cell

SUMMARY

On the shoot mulberry (tree) was numbered many leaves in the beginning appearance. Across each three days taked of the trials determined of the content DNA. Establishement, that to the end of the growth leaf in the cell contains in 2,5 time smaller DNA than in the beginning of the growth.

УДК 576.3

ЦИТОЛОГИЯ

Г. М. РАСИ-ЗАДЕ

ЦИТОЛОГИЧЕСКОЕ ИЗУЧЕНИЕ ПШЕНИЧНО-ЭГИЛОПСОВЫХ ГИБРИДОВ

(Представлено академиком АН Азербайджанской ССР И. Д. Мустафаевым)

В настоящее время известно большое количество спонтанно возникших и экспериментально полученных межродовых гибридов пшеницы с эгилопсом.

Межродовая гибридизация злаковых, в том числе гибридизация пшеницы с эгилопсом, проводится в больших масштабах как в разных республиках, так и за рубежом (Tanaka, 1961; Карпеченко и Сорокина, 1929; Попова, 1928, 1929; Kihara, 1954; Сорокина, 1934, 1937, 1938; Мустафаев, 1956, 1961 и др.).

Межродовые скрещивания среди пшениц и эгилипсов представляются интересным для разрешения определенных вопросов по происхождению пшеницы.

Проведены многочисленные цитогенетические исследования гибридов между видами родов *Triticum* и *Aegilops* (Kihara, 1924—1929; 1949, 1954; Percival, 1926; Kagawa, 1927, 1929; Вакар, 1932, Левитский, 1939; Чеботарь, Челак, Суружиу, 1970 и др.).

При всей обширности данных по генетике и цитологии межродовых гибридов пшеницы исследования проведены не в полной мере. Что же касается пшенично-эгилопсовых гибридов, то последние изучены далеко недостаточно.

Для цитологического изучения пшенично-эгилопсовых гибридов (третье, четвертое и девятое поколения) последние были высажены и собраны на Апшеронской опытно-экспериментальной базе.

Работа проводилась в Институте генетики и селекции АН Азербайджанской ССР в 1971—1972 гг. на семенном материале (пшеница и эгилопс), предоставленном нам акад. И. Д. Мустафаевым.

Для определения числа хромосом, семена проращивали в термостате; предобработка корешков проводилась α -бромнафтилином, фиксация—по Упадиа, окрашивание—по Шиффи.

Препараты изучали в микроскопах МБИ-3 и МБН-6. Определены числа хромосом у 37 номеров (в корешках).

Предварительно для выяснения константности плодовитых пшенично-эгилопсовых гибридов мы изучали количество хромосом у ряда поколений некоторых комбинаций. Приводим эти данные:

1. *T. turgidum* 7 (n=14) \times *Ae. aucherii* (n=7) $F_4=14, 28$ и 56.

2. *T. turgidum* v. *nigrobarbatum* (n=14) \times *Ae. aucherii* (n=7) $F_4=14$ и 28.
3. *T. turgidum* 7 (n=14) \times *Ae. triuncialis* (n=14) $F_4=14, 28$ и 42.
4. *T. turgidum* v. *nigrobarbatum* (n=14) \times *Ae. triuncialis* (n=14) $F_4=28$.
5. *T. turgidum* v. *nigrobarbatum* (n=14) \times *Ae. triuncialis* (n=14) $F_9=14, 28$ и 56.
6. *T. turgidum* 7 (n=14) \times *Ae. triaristata* (n=14, 21) $F_4=14$ и 28.
7. *T. turgidum* 7 (n=14) \times *Ae. triaristata* (n=14, 21) $F_9=14, 8$ и 42.
8. *T. turgidum* v. *nigrobarbatum* (n=14) \times *Ae. triaristata* (n=14, 21) $F_4=14, 28$ и 56.
9. *T. turgidum* v. *nigrobarbatum* (n=14) \times *Ae. sguarroso* (n=7) $F_9=21$ и 28.
10. *T. turgidum* v. *nigrobarbatum* (n=14) \times *Ae. sguarroso* (n=7) $F_9=28$.
11. *T. turgidum* v. *nigrobarbatum* (n=14) \times *Ae. sguarroso* (n=7) $F_9=28, 39$ и 42.
12. *T. turgidum* v. *nigrobarbatum* (n=14) \times *Ae. sguarroso* (n=7) $F_9=28$.
13. *T. turgidum* v. *nigrobarbatum* (n=14) \times *Ae. otata* (n=14) $F_4=14, 28$ и 56.
14. *T. turgidum* v. *nigrobarbatum* (n=14) \times *Ae. speltoides* (n=7) $F_4=14$ и 28.
15. *T. turanicum* 186 (n=14) \times *Ae. triaristata* n=14, 21) $F_4=28$ и 42.
16. *T. turanicum* 186 (n=14) \times *Ae. aucherii* (n=7) $F_4=28$.
17. *T. erytrospermum* (n=21) \times *Ae. biuncialis* (n=14) $F_9=28$.
18. Полба (n=14) \times *Ae. ovata* (n=14) $F_4=14$ и 28.
19. Полба (n=14) \times *Ae. triaristata* n=14, 21) $F_4=14, 28$ и 42.
20. Джрафари (n=14) \times *Ae. ovata* (n=14) $F_4=28$ и 42.
21. Джрафари (n=14) \times *Ae. ovata* (n=14) $F_4=28$.
22. Джрафари (n=14) \times *Ae. ovata* (=14) $F_4=28$.
23. Джрафари (n=14) \times *Ae. triaristata* (n=14, 21) $F_4=28$.
24. *T. monococcum* (n=7) \times *Ae. triaristata* (n=14, 21) $F_4=14$ и 28.
25. *T. monococcum* (n=7) \times *Ae. triuncialis* (n=14) $F_4=14$ и 28.
26. *T. monococcum* (n=7) \times *Ae. speltoides* (n=7) $F_4=14$ и 28.
27. *T. leucurum* (n=14) \times *Ae. biuncialis* (n=14) $F_3=14, 28$ и 56.
28. *T. turgidum* 7 (n=14) \times *Ae. speltoides* (n=7) $F_4=14$ и 28.
29. *T. erytrospermum* (n=21) \times *Ae. biuncialis* (n=14) $F_9=14$ и 28.
30. *T. durum coeruleascens* (n=14) \times *Ae. biuncialis* (n=14) $F_9=28$.
31. Зогал-буугда (n=14) \times *Ae. ovata* (n=14) $F_9=28$ и 56.
32. Зогал-буугда (n=14) \times *Ae. triaristata* (n=14, 21) $F_4=28$.
33. Зогал-буугда (n=14) \times *Ae. speltoides* (n=7) $F_4=28$.
34. Бол-буугда (n=21) \times *Ae. ovata* (n=14) $F_3=28, 42$ и 56.
35. Бол-буугда (n=21) \times *Ae. ovata* (n=14) $F_4=28$ и 42.
36. Бол-буугда (n=21) \times *Ae. triaristata* (n=14, 21) $F_4=28$ и 42.
37. *T. aestivum erytrospermum* (n=21) \times *Ae. biuncialis* (n=14) $F_9=28$ и 42.

Цитологический анализ корешков гибридных растений показал, что число хромосом в соматических клетках у большинства пшенично-эгилопсовых гибридов равно $2n=14, 28$. Часто имело место явление миксоплоидии. У некоторых (№ 1, 5, 8, 13, 27, 31, 34) расщепленных форм $2n=14, 28, 56$.

В лаборатории цитогенетики Института генетики и селекции начата специальная кариологическая работа, в которой ставится вопрос о числе и форме хромосом у пшенично-эгилопсовых гибридов.

Выводы

1. Цитологический анализ корешков гибридных растений показал, что число хромосом в соматических клетках у большинства пшенично-эгилопсовых гибридов равно $2n = 14,28$. Часто имело место явление миксоплоидии.

2. У некоторых расщепленных форм $4n = 14, 28$ и 56 .

ЛИТЕРАТУРА

1. Карпеченко Г. Д., Сорокина О. Н. Гибриды *Aegilops triuncialis* с рожью. Труды по прикладной ботанике и селекции, т. 20. 1929. 2. Левитский Г. А. Сравнительная морфология хромосом пшеницы. ДАН СССР, т. 25, № 2, 1939.
3. Мустафаев И. Д. Материал по изучению пшениц, рожь, ячменя и эгилопсов в Азербайджане. Баку, 1961. 4. Мустафаев И. Д. Селекция пшеницы в Азербайджане. Баку, 1956. 5. Попова Г. Гибриды *Aegilops Boiss* \times *T. vulgare* Host. Труды по прикладной ботанике, генетике и селекции, т. 19, № 1, 1928.
6. Попова Г. Гибриды *Ae. juvenalis* (Theit) *Ergx* \times *T. Vulgare*. Труды по прикладной ботанике, генетике и селекции, т. 22, вып. 2, 1929. 7. Сорокина О. Н. Гибридизация эгилопса с пшеницей. Труды по прикладной ботанике, генетике и селекции, серия 2, № 6, 1934. 8. Сорокина О. Н. Плодовитый и константный 42-хромосомный гибрид *Ae. ventricosa* \times *T. durum*. Труды по прикладной ботанике, генетике и селекции, серия 2, № 7, 1937. 9. Сорокина О. Н. Роль амфидиплоидов и других сбалансированных форм в отдаленных скрещиваниях. ДАН СССР, т. 20, № 7—8, 1938. 10. Чеботарь А. А., Челак В. Р., Суружиу А. И. Цитогено-карногенетическое исследование хлебных злаков. Кишинев, Изд-во ЦК КП Молдавии, 1970, 81 стр. 11. Вакар Б. А. Цитогенетическое изучение межвидовых гибридов рода *Triticum*. Труды по прикладной ботанике, генетике и селекции, серия 11, № 1, 1932. 12. Kitahara H. Consideration on the evolution p. 336—357. Cytologia, T. 19, 1964. 13. Kitahara H. Conjugation of homologous chromosomes in the genus hybrids *Triticum* and *Aegilops* and species hybrids of *Aegilops*, Cytologia, vol. 1, № 1, 1924—1929. 14. Kitahara H. and Lillienfeld a new Synthesized 6x—wheat. Hereditas supp. 307—319, 1949. 15. Kawagawa F. The comparison of chromosomes among different species in *Triticum*. Proceedings of the Imperial Academy, Tokyo, 1927, 3. 16. Kawagawa F. On the phylogeny of some cereals and related plants, as considered from the size and shape of chromosomes. Japanese Journal of Botany, Tokyo, 1929, 4. 17. Percival J. The morphology and cytology of some hybrids of *Aegilops ovata* \times wheats. Journal of genetics, 17, 1926. 18. Tanaka M. New amphidiploids, synthesized 6x—wheats derived from. Emmer wheat Information service, Kyoto univ, 12, 1961.

Институт генетики и селекции

Поступило 20. III 1972

К. М. Расизадэ

Бүгда-екилопс һибридләринин ситолокијасының өјрәнилмәси

ХУЛАСӘ

Азәрбајҹан ССР Елмләр Академијасы Кенетика вә Селексија Институтунда бүгда-екилопс һибридләринин ситолокијасына аид тәдгигат ишләри апарылыш вә бу саһәдә бир сырьа нәтиҗәләр әлдә едилмишdir. Өјрәнилән һибридләrin әксәрийјәtinin бәдән һүчејрәләrinde хромосомларын мигдары $2n = 14,28$ -dir, јәни миксоплоидия наисәси мүшәнидә олунмушdur. Һачаланыш һибрид формаларын бир нечәсindә исә $2n = 14,28$ вә 56 хромосом раст кәлмишdir.

G. M. Rasi-zade

The citologist studing of wheat-aegilops hybrids
Institute Genetica and Selectica AS Azerb. SSR

SUMMARY

Citologist analiz roots of hybrids plants established that a number of hromosoms in the somatic cels in most cases is $2n = 14,28$.

In this cels took place mixcloploidia. In some splitting forms $2n = 14,28$ and 56 .

УДК 619:616; 576. 851. 42:636. 293. 2

МИКРОБИОЛОГИЯ

Д. М. Дащдамиров

ОТНОШЕНИЕ БРУЦЕЛЛ, ВЫДЕЛЕННЫХ ОТ БУЙВОВОВ, К ПОЛИВАЛЕНТНОМУ БРУЦЕЛЛЕЗНОМУ БАКТЕРИОФАГУ И К ФАГУ Тб

(Представлено академиком АН Азербайджанской ССР М. А. Мусаевым)

В таблице по дифференциальным свойствам видов и биотипов *Brucella*, принятая на состоявшемся 7 августа 1970 г. в Мехико заседании подкомитета по токсономии бруцелл Международного комитета по номенклатуре бактерий, идентификация культур бруцелл бактериофагом занимает специальное место.

В настоящее время, наряду с другими диагностическими методами, для идентификации культур бруцелл стали применять бруцеллезные бактериофаги. Ведущая роль в разработке этого метода принадлежит советским исследователям (Сергиенко, Шульц, Натович, Дрожевкина, Ременцова, Полхадзе, Абашидзе). Особого внимания заслуживают работы М. С. Дрожевкиной (1951—1958), которая впервые выделила из лабораторных штаммов более стойкие поливалентные высокоспецифические расы бактериофага. Последние в данное время широко применяются для идентификации атипичных культур. Еще более широкую известность получил фаг Тб, выделенный М. З. Полхадзе и Т. Е. Абашидзе (1955) из сточной воды.

Бактериофаг оказался наиболее активным из всех известных фагов и специфичным по отношению бруцелл коровьего вида.

В своих опытах мы применяли поливалентный бруцеллезный бактериофаг, полученный из Ростовского противочумного института серия № 9, титр 10^{-9} и бруцеллезный бактериофаг вида абортус раса № 3 Тб, изготовленный 29. VII 1967 г. в гор. Тбилиси.

Для определения чувствительности наших штаммов к фагу Тб (Тбилиси) применяли две дозы—рабочую, содержащую 1 млн. корпукул фага в 1 мл ($1 \text{ RTD} = 1 \cdot 10^6$) и не разведенный бактериофаг ($RTO 1 \cdot 10^{-9}$ корпукул). В качестве питательной среды использовали печеночный агар слабощелочной реакции ($\text{pH} = 7,2$).

Работу проводили в следующем порядке: на пластинку агара в чашке Петри наносили 0,1 мл бактериальной суспензии в физиологическом растворе, 1 мл которой содержал 500 млн или 1 млрд. микробных клеток испытуемой культуры, которую при помощи шпаделя равномерно распределяли по поверхности питательной среды. Таким способом засевали одновременно две чашки: опытную и контрольную.

На подсущенный бактериальный газон опытной чашки при помощи тонкой пастеровской пипетки наносили одну каплю бактериофага. Легким наклоном чашки с посевом капле бактериофага давали стекать в виде „дорожки“. После подсыхания посева чашку переворачивали и вместе с контрольной (без бактериофага) помещали в термостат при температуре 37°C.

Учет результатов производили дважды—через 24 и 48 ч. При положительном результате на месте „дорожки“ была зона лизиса культуры.

Результаты литического действия бактериофага Тб и поливалентного фага на бруцелл приводятся в таблице.

Как видно из этих данных, бруцеллезные штаммы, выделенные от буйволов разного пола и разных возрастов, характеризовались почти одинаковым отношением к фагу Тб как через 24 ч, так и через 48 ч. Например, через 24 ч в опыте было хорошо заметно лизирующее действие фага в виде стерильной „дорожки“ с наличием в этой зоне единичных мелких колоний. До 48 ч лизирующая зона не изменялась. Однако после 48 ч во всех случаях на указанной зоне появлялся постепенно нарастающий рост вторичной культуры.

№ штамма	Бактериофаг				Контрольные чашки	
	Тб		Поливалентный			
	Через 2 ч.	48 ч.	Br. abortus	Br. melitensis		
Б-12	++	+++	++	—	—	
Б-19	+	++	—	—	—	
Бц-22	—	++	—	—	—	
Бц-20	+++	++	++	—	—	
Бц-21	+++	++	++	—	—	
Бц-18	+++	+++	++	—	—	
Б-13	++	++	++	—	—	
Б-36	+	+	—	—	—	
Б-16	++	+++	++	—	—	
Бц-21б	++	++	++	—	—	
Бц-21а	+	+	—	—	—	
Бц-21г	+	+	+	—	—	
Бц-21д	++	+++	++	—	—	
Б-50	—	++	—	—	—	
Бц-9	—	++	—	—	—	
Бц-13	++	+++	++	—	—	
Бк-14	++	+++	++	—	—	
Бк-49	++	++	+	—	—	
Б-62	++	+++	—	—	—	
Бц-63	++	++	—	—	—	
Бц-64	—	—	—	—	—	
Бц-33	—	++	—	—	—	
Бц-17	+++	++	++	—	—	

КОНТРОЛЬНЫЕ РЕФЕРЕНТНЫЕ ШТАММЫ

Br. abortus-54	++++	++++	+	++	—
Br. melitensis 16-M	—	—	—	—	—
Br. Sesis 1330	++	++	+	++	—

Наш опыт показал, что фаг Тб не оказывал никакого действия на референтную культуру вида Br. melitensis и вызывал очень характерный лизис культуры Br. abortus и частично Br. suis.

Лизирующие действия поливалентного фага Br. abortus на изучаемые культуры, а также на культуры контрольной группы отмечены, можно сказать, во всех случаях независимо от того, к каким видам они относятся. Однако следует отметить, что литическое действие поливалентного бактериофага Br. abortus было менее четким, чем это наблюдалось в опытах с бактериофагом Тб.

Наши штаммы ни в одном случае не лизировались с поливалентным фагом Br. melitensis.

Как видно из таблицы, буйволиные штаммы по отношению фага Тб более близко стоят к бруцеллам коровьего вида, нежели свиного, и резко отличаются от бруцеллы овечьего вида.

Некоторые штаммы: Бц-64, Б-36, Бц-22, Бц-33—или совсем не подвергались, или же лизировались очень слабо (БЦ-64), однако их другие дифференцирующие показатели не давали нам права говорить о том, что они не бруцеллы или же бруцеллы другого вида и биотипа.

Что касается контрольных чашек, где бактериофаги отсутствовали, то мы ни в одном случае не наблюдали зоны лизиса.

Таким образом, полученные нами результаты дают склонение считать:

1. Фаг Тб (RTD) в рабочем разведении оказывал на бруцелл лизирующее действие. Не разведенный фаг (10 4-х RTD) вызывал сильный лизис культур бруцелл, выделенных от буйволов.

2. Литическое действие поливалентного бактериофага Br. abortus было менее четким, чем это наблюдалось в опытах с бактериофагом Тб. Наши штаммы ни в одном случае не лизировались с поливалентным фагом melitensis.

3. Бруцеллы, выделенные от буйволов разного пола и возраста, по литическому действию фага Тб более близко стоят к Br. suis, что касается поливалентного фага Br. melitensis, то он на наши буйволиные штаммы не оказывал никакого лизирующего действия.

Ветеринарный институт

Поступило 14. II 1973

Ч. М. Даудэмиров

Чамышлардан айрылмыш брусселлаларын јарымвалент вә Тб брусселјоз бактериофагларына олан мұнасибеті

ХУЛАСӘ

Брусселјозла спонтан хәстә чамышларын организмидән айрылмыш 23 вә контрол мәгсәдилә көтүрүлмүш 3 референт штамлара јарымвалент вә Тб брусселјоз бактериофагларынын тә'сири өјрәниләркән мүәjjән едилмишdir ки, ишчи дурутта бөлкүсүндә Тб бактериофагы чамышлардан айрылмыш брусселләрә лизис тә'сири көстәрир.

Референт штамлар узәринде өјрәнилмишdir ки, Br. abortus јарымвалент бактериофагынын литик тә'сири Тб фагына нисбәтән зәйфdir. Енни заманда айдын олмушшур ки, чамышлардан айрылмыш брусселлалар бир дәфә дә олса јарымвалент бактериофагла лизис просесинә уғрамамышдыр.

Бундан башга мүәjjән едилмишdir ки, чамышлардан айрылмыш брусселлалар нејванын чиис вә јашындан асылы олмајараг, Тб бактериофагына олан мұнасибетинә көрә Br. abortus нөвүнә даһа јахын, Br. suis нөвүнә нисбәтән јахын, Br. melitensis нөвүндән исә узагдыр.

**Relation of brucells isolated from buffaloes to polyvalent
brucellosus bacteriophage and to phage Tb**

SUMMARY

Phage Tb (RTD) in working dilution had lysis effect on brucells. Nondiluted phage (10^4 RTD) caused lysis of brucells cultures isolated from buffaloes.

Lysis effect of polyvalent bacteriophage Br. Aborius was less clear, than it was observed in experiments with bacteriophage Tb. Our strains caused lysis in no case with polyvalent phage.

УДК 902.7 (47.924)

ЕТНОГРАФИЯ**М. Н. ШАҢБАЗОВ**

**ШАҢДАҒ ЕТНИК ГРУПЛАРЫНДА НИКАҢ ВӘ ТОЈ
АДӘТЛӘРИ ҺАГГЫНДА**

(Азәрбајҹан ССР ЕА академику Ә. С. Сүмбатзадә тәгдим етмишdir)

Шаңдағ етник групларын—хыналыгларын, грызларын вә будуларын айлә-мәишәти, хүсусилә никән формалары вә тој адәтләри өјрәнилмәмишdir [1]. Һалбуки гәдим албан тајфаларынын галыгларындан несаб олунаң бу етник групларын айлә мәишәтинде галыг налында сахланылыш бә'зи адәтләр халгымызын тарихи этнографиясынын тәдгиги үчүн гијмәтли ола биләр. Узун әсрләр боју азәрбајчанлыларла јанаши јашадыгларына көрә бу групларын никән вә тој адәтләринә мәхсус спесифик адәтләр арадан чыхмышдыр. Бунунда белә, бә'зи никән вә тој адәтләри өз гәдим формаларыны сыйхамагдадыр.

Азәрбајчанлыларда [2] вә Дағыстан халгларындан олан ләзкиләр, аварлар, лаклар вә сахурларда олдуғу кими [3], Шаңдағ етник групунун айлә мәишәтинде кечмишдә бир кәндин, бир мәһәлләнин, яхуд бир нәслин оғлаш вә гызлары арасында [4] ендогам никәнлар, йәни гоһумдан евләнмә адәти кениш јајылмышдыр. Дағыстан халгларынын айлә-мәишәт тәдгигатчыларындан бири олан Л. И. Лавров да гәдим мәнбәләр әсасында белә нәтичәләр көлмишdir ки, үмүмийләтлә Гафгазда ендогам никән гәдим тарихе маликdir [5]. Ибер-Гафгаз дилләри айләсисин ләзки дил групуна мәнсүб едилен вә Дағыстан халглары илә кенетик јаҳынығы олан [6]. Шаңдағ етник групунда да, шубһәсиз, ендогамија өз мәншәйини гәдим дөврләрдә мөвчуд олмуш гәбильтайфа мұнасибәтләриндән көтүрмушдүр. Һәмин кәндләрдә јаҳын кечмишә гәдәр валидеңіләр оғланларыны јалызы өз нәсилләриндән олан гызларла евләндирirdиләр [7]. Јалызы бир-биринә дүшмәнчилек мұнасибәти бас-әjән бә'зи мәһәлләләр вә яхуд нәсилләр гоһумлуг әлагәләринә кирмirdиләр.

Ендогам никәнлар өзүнү ортоқузен (хала гызы илә хала оғлу вә я әми оғлу илә әми гызы арасында) вә кроскузен никәнлар (дајы гызы илә биби оғлу вә я дајы оғлу илә биби гызы арасында) формасында тәзәнүр едириди. Лакин һәмин никән адәтләриндән әми оғлу илә әми гызы вә биби гызы илә дајы оғлу арасындакы никәнларда даһа чох үстүнлүк верилирди [8]. Гоһум жа евләнмә адәти Азәрбајчанда лап кечмиш заманлардан мә'лумдур. Һәлә 488-чи илдә Агујен

килсесинин гәбул етди и гануннамәниң сәккизинчи бәнді оғланларың өз гоһумларындан олан гызларла евләмәсini гадаған едирди [9]. Еңтимал ки, халг арасында „әми оғлу“ илә „әми“ гызының кәбini қејдә кәсилмишdir—ифадәси өз мәншәji етибарилә мәһz һәмин никаның адәти илә бағылдыры. Тәдгигатчылара көрә, кузен¹ никаның мәншә етибарилә гәбилә-тајфа гурулушу үчүн характерик олмуш чох гәдим никан формасының—групп никанының галығыдыр. Чүнки гәбилә гурулушу дөврүндә бир гәбиләнин гадыңлары йалның дикәр бир гәбиләнин кишиләри илә никаның ола биләрдиләр. Демәли, гарышылыгы никаның әлагәләрилә икى мүәjjән гәбиләни бирләшdirән групп никаның дөврүндә бачыларын нәсли бир гәбиләдә, гардашларын нәсли о бир гәбиләдә галырды. Мәһz бу икى нәслин нұмајәндәләри ғрасындаки никаның сонракы мәрһеләрдінде кузен никаның әмәлә кәтиришишdir. Лакин гәбилә гурулушу дағылдығын сонра кузен никанылар арадан чыхмамыш, әксинә, синифли әмәлдә никаның иғтисади мұлғиңзәләрлә әлагәдар олағағ бир сыра халгларда, о чүмләдән Гағгаз халглары ичәрисинде дә галмышдыр. Айдындыр ки, әкәр гыз өз гоһумуна әрә верилиғса, онда өвәзинде гарышы тәрәфдән башлыг алынырды вә ejni замағда гыза атасы тәрәфиндән верилмиш шејләр (чениз) һәмин гоһум нәсиллә галырды. Көрүндују кими, гоһумдан евләнмә адәти (кузен никанылар) о дөврдә патриархал мұнасибәтләрдін ирэли кәлирди. Илк дәфә Ф. Енкелс гоһумдан евләнмә илә бағыларын бир адәтләрин сәбәбинин мүәjjәn иғтисади амилләрлә әлагәдар слудуғуну көстәрмишdir. Ф. Енкелс җазмышдыр ки, ата һүгугу ана һүгүгуну өвәз етдиклән сонра гызын әмлакының өз гәбиләсindә галмасы үчүн онун өз гәбиләси дахилиндә әрә кетмәсииң иәниңи јол верирдиләр, һәтта ону белә етмәjә мәчбур еттирмишләр [10].

Шаһдағ етник группу ичәрисинде кечмишдә левират² вә сорорат³ никаның адәтләри дә кениш җајылмышды. Левират адәтичә көрә кичик гардаш мәрһум гардашын дул арвадына евләmәli иди. Бу да кәлиниң кәтириди жиңизин апармамасы вә мәрһумун ушагларыны тәрбијәттәсі мәгсәдини күдүрдү. Халг арасында бу адәт „Јараја Јарпаг“, җәни баш вермиш бәлбәхтиләр чарә вә тәсәlli һесаб едилрди. Тәк-тәк налларда сорорат адәти дә раст кәлирди. Һәмин адәт арвады өлмуш кишинин өз балдызына евләнмәсini тәләб едирди ки, бу да левират адәти кими һенә ушагларыны тәрбијә едилмәсі зәруреттindән ирэли кәлирди. Халг арасында дејилдијинә көрә анасыз галмыш ушағы һамыдан җахшы халасы бәсләjә биләрди.

Жұхарыда дејиләнләрдән көрүнүр ки, Шаһдағ етник группунун ичәрисинде җахын кечмишә гәдәр ән гәдим дөврләrin никан формаларының галығлары дәвам етмәkдә иди.

Бу хырда группларын тој мәрасими бүтүн Азәрбајчанда олдуғу кими, асасен үч мәрһеләдән ибәрәт иди: елчилик, шәпнәт ѡолу илә кебин кәсилмәсі вә тој. Лакин онларын тој адәтләри ичәрисинде азәрбајчанлыларын вә башға халгларын мәншәтindә олмајан бә'зи спесифик адәтләр дә вардыр. Кечмишдә гыз елчилигине ағсаггаль кишиләrlә бәрабәр оғланың бибиси вә халасы да кедирди. Елчилар өзләri илә гыз үчүн нишан апарырдылар вә гыз илә оғлан бир нәсилдән олдуғуна көрә елә биринчи елчиликдә нишан верилирди. Грызда елчилик кечесинде „чөрәkkәsdi“ адлы адәт ичра олуктурду. Ағсаггальлардан бири кечә лавашын арасына бал җахыб дүрмәкләjirdi.

¹ Кузен франсыз дилинде sorzin сөзүндән олуб әмиоглу демәкдир.

² Латын дилинде levir гадын демәкдир. Бах: M. O. Коsвeн. Очерки истории первобытной культуры, M., 1957, сән. 127.

³ Латын дилинде soror бачы демәкдир. Бах: M. O. Коsвeн. Көстәрилән эсәри сән. 126.

Сонра оғланың атасы илә гызын атасы дүрмәкләнмиш һәмин чөрәji ортадан беләрек җемәк үчүн гыз вә оғланың көндәрирдиләр. Буныла да әслиндә никаның разылыг битирди. Бә'зән исә оғланың атасы һәмин „чөрәkkәsdi“ заманы сүфреjә мүәjjәn мигдарда пул да атырды ки, грызча буна „пыл саача“ дејилрди. Еjни адәт Будуг вә Хыналыг кәндләринде дә вар иди.

Нишанланымыш гыз узун мүддәт атасы евиндә галырды. Экәр гыз әмиси оғлuna нишанланыбса, онда оғланың әмиләриндән кизләнмәли—јашмаг вурмалы иди. Будуг кәндидә исә нишанланымыш гыз йалның танымадығы кәнар адамлардан кизләнмәли иди.

Бу группларын тој адәтләри үчүн дикәр характерик чөhәt тој мәрасиминдә оғлан вә гызын дајыларының әсас рол ојнамасыдыр. Мәсәләn, тој күнү бәj тәзә палтарыны йалның дајысы евиндә кејинир вә ордадан атасы евине кәтирилир, кәлин дә дајысы евиндән көчүрүлүрдү. Тојун сонунда оғлакын дајысы атыны миниб гызын дајысы евине кәлир вә орадан кәлини өз атына миндириб бәjин евинә апaryрыды. Тој күнү дајы бәj вә достларының гонағ едирди. Тојун ахырынчы күнү бәj өз тојуна кәлир, биринчи олараг дајысы, сонра исә гоһумлар она һәдиijәләр верирдиләр вә с. Гәдим гәбилә-тајфа мұнасибәтләрилә әлагәдар һесаб олунан бу мараглы адәтләр етнографија әдебиijатында авынкулат ады илә мә'лумдур. Бу адәтә инди дә даf кәндләринде әмәл олунур.

Нәһајәт, бу халгларын тој мәрасими үчүн характерик бә'зи хырда адәтләри дә гејд едәк. Грызларын јашадығы چек кәндидә кәлини бәj гапысында атдан дүшдүкдән сонра үзәнкиләри галдырыб җәhәрин үстүнә гојурлар. Бәjин бојнуна дајысы гырмызы парча атыр. Хыналыгда гоһумлар бәjин алинына қағыз пул յапышдырылар. Кечмишдә Грыз вә Хыналыг кәндләринде бәj вә ja онун палтарыны оғурлајыб гыз евинә вермәк, Будугда кәлини бәj евине кәтириләндә յолбоју үстүнә су чиләмәк, бирисинин гызын миндири атын үзәнкисиндән даш кечирилмәсінә имкан вермәмәк кими адәтләр дә вардыр. Шубhәsiz, бу адәтләр гәдим тарихә малик олмагла овсун характери дашиjыр. Дикәр мараглы адәт кәлини әр евине көчмәздән әvvәl өз атасы евин илә видалашмасыдыр. Кечмишдә даf кәндләринде евин ортасында тәңdir олурду. Кәлини үч дәфә һәмин тәndirин әтрафында доландырылырды. Азәрбајчанлыларда кәлини көчүрүләндә башына дуваг салыныр вә бели бағланыр. Лакин гејд олунан кәндләрдә белә адәт җохдур. Бәjин дајысы кәлини өз атына миндириб апардыгда аяғынын алтына дәмир вә ja мис парчасы атыр, башына буғда сәпирләр. Башга бир мараглы чөhәt тојун ахырынчы күнү бәjин пирә апарылмасыдыр. Мәсәләn, Элик кәндидә бәj једи атын илә бирликдә пирә, кедәрек әтрафына доланырды. Бу, шубhәsiz ки, пирләрин кечмишдә әилә мәнишәтindә кениш җер тутмасындан ирэли кәлирди. Грыз, Будуг вә Хыналыг кәндләринде тојда бәj дуран заман гарышына бәзәдилмеш шах кәтирилирди. Ади ағач будағы олан бу шахдан мүхтәлиф шириjат асылыр, јумурта санчылыр, башына гызардылыш хоруз кечирилирди. Көрүнүр, бу адәт шах вә хоруз-көjәrmә, артма, нәсилвермә рәмзи олмагла овсун характери дашиjыр.

Шаһдағ етник группу халгларының јашадығы кәндләрдә тој күнләrinde ичра едилән бә'зи коллектив ојунлар да диггәти чәлб едир. Мәсәләn, зурнада Корофлу һавасы чалыныр, тамашачылар мејдана топлашырдылар. Зурнаның сәдалары алтында атлылар йарыша чыхырылар. Йарышанлар көздән итәндән сонра пәhләванлар сојунуб күләшмәjә башлеjырдылар. Ат чапанлар гајыдыб кәлдикдә күләшәнләр дајаныр, ојунлары идарә едән башчы мејдана тез дахыл олан атын алынына бир јумурта чахыр, атын ағзыны аралайыб бирисини дә боязына әтырды. Галиб атлыja исә тојда кәсилмиш ән ири һеjваның дәриини бағышлаjырдылар.

Атчапка вэ күләшмәдән соңра турна-турна ојуну башланырды. Бир нәфәр бир кәтан дәсмал көтүрүб ону мәһкәм буур вэ ортадан гатлајыб бир дә Јенидән буур. Соңра мәчлисин сағ тәрәфиндә отуран бириңчи адамын габағында кәлиб дурур. Нәмин шәхс мәсәләни баша дүшүб әлини үзәдүр. Турначы вар күчү илә дәсмалы онун овчуна илишдирир. Вурулан аяға дуруб вурандан дәсмалы алыр вэ јанында отуран икиничи адамдан башлајыр. Беләликлә, ојун ахырынчы тамашачыја гәдәр давам едир.

Элбәттә, кичик бир мәгаләдә Шаһдағ етник группу халгларынын мәишәтиндә сахланмыш бүтүн адәтләри әнатә етмәк, онларын мәншәйини вэ тәһлилини вермәк мүйүкүн дејилдир. Биз јалызы бу халглар үчүн характерик бә'зи чәһәтләри гејд едир.

Совет һакимијәти илләринде бу халгларын аилә мәишәтиндә бејүк дәјишикликләр баш вермишdir. Назырда гоңумдан евләнмәк адәти галса да, гарышыг никәһлар кениш язылышыдыр. Гејд едилмәлидир ки, умумијәтлә көстәрилән адәтләрин чохуна иғди әмәл олунмур. Инди никәһ ВВГШ-дә гејд олунур, евләннеләр өзләри әввәлчә мүәјјен разылығы кәлир вэ валидејнләр дә буинна разылашырлар. Назырда кәлин илә аиләнин башга үзвәри арасында Јени мұнасибәтләр јаранышыдыр ки, бу да гадынын ищтимаи тәсәррүфатда иштирак етмәси илә бағылышыр. Бу исә кечмишдә аилә мәишәтиндә мөвчуд олмуш бир сыра патриархал адәтләрин арадан галхасына кәтириб чыхармышыдыр. Өлкәмиздә аиләнин тәсәррүфат функциясындан азад олмасы нәтижәсендә никәһ мұнасибәтләриндә дә еасаслы дәјишикликләр баш вермишdir. Кузен никәһлар, левират вэ сорорат адәтләри инди кадир налларда раст кәлир. Никәһ мадди мұлаһизәләрдән ғазд олдуғуна көрә, бу кими адәтләрин мәишәтдә сахланылмасыны зәрури едән амилләр арадан чыхмышыдыр.

ӘДӘБИЙЛАТ

1. Г. А. Гулев. Народы шахдагской группы (будугцы, крызы и хиналугцы). „Народы Кавказа”, т. II. М., 1962. 2. Г. Э. Гејбуллаев. Азәрбајчанда әндогамијанын мәишәјинә даир. „Азәрбајчан ССР ЕА Мә'рүззәләри”, № 12, Бакы, 1969. 3. Народы Кавказа, том I. М., 1962, сән. 518, 523. А. Алиев. Брак и свадебные обряды даргинцев. „Советская этнография” журналы, 1960, № 4, сән. 120; М. Ш. Хашаев. К вопросу о тухумах и сельских общинах и вольных обществах Дагестана XIX в. „Ученые записки” Института истории языка и литературы Дагестанского филиала АН СССР, 1956, сән. 44; С. Ш. Гаджиева. К вопросу о тухуме и большой семье у каякендских кумыков. КСИЭ, № XIV. 4. Л. И. Лавров. О причинах многоязычия в Дагестане. СЭ, 1950, № 2. 5. А. М. Диrr. Агульский язык. СМОМПК, вып. 37, Тифлис, 1907. 6. Н. А. Гулиев. Көстәрилән эсери, сән. 202 [бах 1]. 7. Г. Э. Гејбуллаев. Көстәрилән эсери [бах 2]. 8. Моисей Каканиката. История агван. СПб, 1865, сән. 67. 9. Ф. Енкелс. Аиләнин, хусуси мүлкијәттін вэ дөвләттін мәншәји; К. Маркс вэ Ф. Енкелс. Икичилдлик сечилмеш эсәрләри, II чилд, Бакы, 1958, сән. 254. 10. М. О. Косвен-Авункулат. СЭ, 1948, сән. 23.

Тарих институту

Алымышыр 30. III 1972

М. Г. Шахбазов

О браке и свадебных обрядах народов шахдагской группы

РЕЗЮМЕ

Как известно, исследователи народы „шахдагской“ этнической группы (хиналугцы, крызы и будугцы) считают остатками древнеалбагских племен. Этим и определяется интерес изучения формы брака и свадебных сбычаев у данных народностей, которые до сих пор специально почти не исследованы. У названных племен в быту до сих пор сохраняются интересные свадебные сбычаи, отличающиеся от других

этнических групп Азербайджана и самих азербайджанцев. У них в прошлом, а частично и теперь, преобладала эндогамия.

По сведениям информаторов, в прошлом девушки выдавали только внутри рода. Один квартал никогда не выдавал своих девушек в другой. Преобладали кузенные браки.

В свадьбе исключительную роль играл дядя со стороны матери-дајы. Так, невесту выдавали замуж только с разрешения дајы. Она же отправлялась в дом мужа из его дома, он первым дарил ей что-нибудь и на своей лошади привозил ее в дом жениха и т. д. Такую же роль играл дядя со стороны матери жениха. В статье приводится краткое описание ряда интересных специфических обычаяев, связанных с прощанием невесты с отцовским домом и с приемом невесты в доме жениха.

Указанные брачные обычайи и свадебные обряды в настоящее время в основном уже не бытуют, иногда практикуются в некоторых семьях.

I. G. Shahbazov

About the wedding and marriaging customs of Shahdag's ethic group

SUMMARY

Being remnant's of Albanian people the Shahdag's ethic group keeps some national peculiarities in wedding and marriaging customs. This peoples have custom marriaging on relatives. They have the „Otokuzen“ marriage (cousins marriage), „Kroskuzen“ marriage (the marriage of mother's nephew with the father's nephew) or on the contrary marriage customs. The peoples of Shahdag's ethic group donot take bride-money for the bride. These peoples have the custom of throwing money which is not exist in Azerbaijani wedding parties.

УДК 902. 7 (47. 924)

ТАРИХ

М. И. АЗӘРЛИ

IX ӘСРИН ӘРӘБДИЛЛИ МӘНБӘЛИ ГӘДИМ
АЗӘРБАЙЧАН ҺАГГЫНДА

(Азәрбајҹан ССР ЕА академики Ә. Сүмбатзадә төгдим етмишdir)

Әбумәһәммәд Эбдулмәлик иби Һишамын (вәфаты 213 ھ. ғ./828/29) յазмыш олдуғу әсәрләр ичәрисинде „Һимјәр шаһлары барәдә тачлар китабы“¹ адлы әсәри тарихи баҳымдан бөյүк әһәмияттә маликдир.

Әбумәһәммәд Эбдулмәлик иби Һишам һәмин әсәрини Убејд иби Шәријјә эл-Чүрһүм адлы һимјәрли алимин, Әмәвиләр сұлаләсінин баниси хәлифә I Мұавијәнин (661—680) һүзуруда сөјләдижи хатирәләrinе вә суал-чавабларына һәср етмишdir.

492 сәнифәдән ибарат һәмин әсәрдә дүнjanын, йарадылмасындан башламыш исламијәттің илк илләrinе гәдәр һимјәrlәr һаггындакы надисәләр гәләмә аlyымышдыр.

Китабда Азәрбајҹан һаггында мә’лumat: Јәмән; онун ше’р вә нәсәбләrinin кифајәtediци мә’lumatы һаггында аллаһ үчүн һәр бир заман шүкүр олсун. Убејд иби Шәријјә эл-Чүрһүминин хәберләrin² вә Чүрһүмн ibtidasы вә онларын Јәмәндәn һәрәмә (Мәккәjә) кәлмәләri³ адлы фәсилләrdә верилмишdir.

Әсәрдә Чүрһүм гәбиләsinin үзвләrinin бачарыг, ағыл вә фәзиләтлә мәшhур олмалары габарыг шәкилдә көстәрилмишdir. Убејд иби Шәријјә һәmin гәбиләnin сәғlam, сабитдүшүнчәlli, итидилли ағсаггал ше’хләrinдәn иди. О, хәлиfә I Mұавијәnин янына јол тапа билмиш, өз ағыл вә зәкасы илә онун ән җашын мәslәhәtchilәrinдәn вә кечә мұсаһибләrinдәn олмушdur. Мұавијә mусамирәlәr тәшкиl өтмәklә Убејдин Јәмәn һаггындакы тарихи надисәlәrә and сөјlәdiji хатирәlәrнгә vә mә’lumatыna бөйүк әһәmияттә верилмишdir. Иби Һишам языр ки, хәлиfә Mұавијә онун сөjlәdiklәrinin bir јерә топланmasы vә kitab шәklinә salymasы һагда kөstәriш verilmisdir⁴.

ابو محمد عبدالمالك بن هشام «كتاب التيجان في ما وشك حمير» حيدرآباد الدكن¹
١٣٢٧ھ. ق. ص ٢٠٩، ٣١٢، ٣١٣.

З.М. Бунинятов. «Обзор источников по истории Азербайджана», источники арабские. Баку, 1964, сәh. 5.

² Әбумәһәммәд Эбдулмәлик иби Һишам. Көстәриләn әсәри, сәh. 311. !
(Бундан соңра Әбумәһәммәд кими көстәриләcәkdir).

«أخبار عبيد بن شريعة الجرمي في أخبار اليمن و اشعارها و انسابها على الوفاء والكمال والحمد لله على كل حال»³

³ Әбумәһәммәд. Көстәриләn әсәри, сәh. 396.
«حدث جرهم و خروجه من اليمن الى الحرم»⁴
Jenә орада, сәh. 209, 312—313.

Убејd Mұавијәnин кечә мұсаһиби, тәшкиl etdiji mусамирәnин әsас апарычысы vә әлагәdar ишләrdә онун әzәri олmuшdur⁵.

Иби әn-Нәdim бу барәdә даһa мүкәmmәl mә’lumat vermiшdir. Иби әn-Нәdimә көрә, Убејd иби Шәrijjә эл-Чүrһүmи Mәhәmmәd pejgәmberi көrmүшdir. Mұavijә onu Jәmәnnin Cәna’ шәhәrinde hуzuруna ҹafyrmyshdyr. Mұavijә она—dillәrin mәhв olub aradan ketmәsi vә mүxtәliflәshmәsi, әnaliinin шәhәrlәrә cәpәlәnmәsi sәbәllәri, әchәm vә әrәb шaһlарынын vә keçmishlәrin xәbәrlәri barәdә suallar vermiшdir.

Иби әn-Нәdim көstәriр ki, Убејd иби Шәrijjә Mұavijәnин бүтүn suallaryna әtrafлы chavablar vermiшdir. Mұavijә исә o chavablarыn Убејd иби Шәrijjәnин adyna jazylmasы haggыnда әmr vermiшdir. Убејd иби Шәrijjә xәlifә Эбduлmәlik иbi Mәrvaniy (685—705) заманына gәdәr jashamysydyr. Иби әn-Нәdim Убејdin «kitab әl-әmsal» (كتاب المثل و أخبار الماضين) kитab әl-mүluk vә әxbar әl-Mazijjin» әsәrlәrinin mүellifi оlmasyny da gejd etmiшdir⁶.

Kitabыn 402-chi сәhiфәsindә Babilistan barәdә mусамирәdә Azәrbaјҹan һaggыnда belә mә’lumat verilmiшdir: Jәmәn padshaһи Raish заманыnda onu sәrkәrdәlәrinde bиri Shimr ibi әl-Gettaf ibi әl-Mүntab, ibi Әmr, Иbi Zejd ibi Um lag ibi Әmr ibi Ziәnәs jүz min nәfәrlik ordu ilә tүrkләrlә dejүsh-dejүsh Azәrbaјҹana daхil oлdu. Dejүsh nәtiqәsindә tүrkләr mәglub oлduлар. Shimr ibi әl-Gettaf hәmin dejүshүn vә keçdiji ѡollaryn kejfiyyәtinи iki dash uзәrinde jazdyrdы. Эл-Чүrһүmи gejd edir ki, onlaryn hәr ikisi bu kүn Azәrbaјҹan divarlarыnda saхlanыlmagdadыr⁷.

Mұavijәnин Убејd иби Шәrijjә ilә sehәbәtlәri бураja чатдыгda Mұavijә Убејdә mүrachiät eðәrәk, Azәrbaјҹan һaggыnда onun fikrini eðrәniмәk istejәrәk demiшdir:

«Сәn аллаh Azәrbaјҹan (һaggыnда) әlagәniz, tәlaшшыныz vә хатirәniz nәdir?»⁸

Убејd иби Шәrijjә belә chavab verir: «Ora түрк torpaғыдыр. Onlar ora ja ҹемләшәrәk bir-biri ilә гарышмыш vә tәkmil-lәshmiшlәr»⁹.

Ejini fikri mүellif башга ifadәlәrлә hәmin әsәrin 436-chi сәhiфәsindә bir daһa tәkrar edir. Shүbhә ѡoхdур ki, VII әsрин 60—

⁵ Әбумәһәммәd. Kөstәriләn әsәri, сәh. 312—313.

فرج بـ معاوحة وقال لهـ أردت إتخاذك مـؤدبـاـي و سـميرـاـنـ لـي سـميرـاـيـ لـيـ و زـيرـاـيـ اـمـرـىـ

⁶ Иби-әn-Нәdim. «әl-fәriست», Тéhran, 1346 ш.-г., сәh. 151, 152.

⁷ Әбумәһәммәd. Kөstәriләn әsәri, сәh. 402. Фәхрәddin Mусови Эрдәbidi Hәcchәfi esүүn ишүүn әsәrinde jazyr: «Сон илләrdә Иран Azәrbaјҹanыnda choхlu jazylы dashыn tapylmasы һаггыnда mә’lumatata rast kәlмәk olur. O чүmlәdәn Savalан dashыnyн чәniб etәklerinде, ja’ni Saрабыn шimal-шәrg hissесindә Tәbrizin ju-haryar Joluunda iki dash tapylmyshdyr». Bunuila әlagәdar, Иранда nәshр olunan

Фخرалдин Mosoи ardiyli نجفي تاریخ اردیل و دانشمندان» مطبعە

الادب فى النجف الاشرف، 1347، ص 8

habelə: 685، 1345، ص 8

⁸ Әбумәһәммәd. Kөstәriләn әsәri, сәh. 402.

فال لهـا من اـرـضـ الـترـكـ وـاجـتمـعـوـالـهـ

70-чи илләриндә хәлифә Муавијәјә верилән белә чавабда Убейд ибн Шәријә „түрк“ дедикдә, еһтимал ки, бурада һәлә өрамызын илк эсрләриндән башлајараг Шимали Гафгаздан Хәзәр дәнизинин гәрб саһили илә Азәрбајчана кәлән, бурада өз һәмдилләринин јашадығыны көрәрек өзләrinә мәскән салан бир сыра түркдилли тајфалары— һүннеләры, сабирләри, булгарләри, хәзәрләри вә башгаларыны нәзәрә алырды.

Тарих институту

Алыкымыштыр 17. V 1972

М. И. Азерли

Арабоязычный источник IX в. о древнем Азербайджане

РЕЗЮМЕ

В статье исследуются сведения книги Абумагомеда Абулмалика ибн Хишама (умер в 828—829) „Китаб ат-Тейджан фи Мулук-и Химйар“ об Азербайджане.

После разбора содержания книги рассказывается о личности по имени Убейд ибн Шарийат ал-Джурхуми, о его приближении к халифу Муавии I (661—680). Беседы Муавии с Убейд ибн Шарийатом ведутся в виде вопросов и ответов.

Излагая халифу Муавии историческое событие, связанное с Азербайджаном, Убейд ибн Шарийат говорит, что Азербайджан— земля тюрок, заселенная ими. Под выражением „тюрки“ автор, возможно, подразумевал тюркоязычные племена, проникавшие в Азербайджан в первые века нашей эры. И здесь они встретились с населением, говорящим на том же языке.

M. I. Azerli

The Arabic language source of the Ninth century about ancient Azerbaijan

SUMMARY

This article has been researched the informations of Abu Mohammed Abulmalic ibn Hashim's book „Kitab at-Teyjan fi Muluk-Khimyar“, who was dead in 825—829 years. This book is about Azerbaijan.

After analysis the content of this book, the author of this article told us about Ubeid ibn Sharijat al-Jurhulm, who was the Sheikh of men, and also about his approaching caliph Muavije I (661—680).

The conversations between Muavija and Ubeid ibn Sharijat were proceeding in the form of questions and answers. While stating the historical events linked with Azerbaijan to Caliph Muavija, Ubeid ibn Sharijat told, that Azerbaijan was the land of turks and settled by them.

Алыкымыштыр 17. V 1972

МУНДЭРИЧАТ

Ријазијјат

Б. А. Мустафаев. Ярымохда һәјәчайламыш финит антармоник операторун спектрал һәзәријәсина даир 3

В. В. Салаев, А. И. Чарков. Бир нөв мәхсуси интеграм һарында 7

Ријази физика

О. И. Далгатов. УИН-дә долдурулмуш тозун кәмијјәт һесабланмасы 12

Физика

С. Э. Ыачыев. Фото-электрон тоггушмасында чүт јараимасы еһтималының икилогарифмик асимптотикасы 16

Механика

И. П. Ыусеинов, Ж. Н. Кәримов, И. Э. Несруллаев. Таван вә дәшәмәси кечирмәз лајда мәили гүјүја گәрлашмамыш ахын 20

Үзви кимja

С. Ч. Мендиев, Т. Э. Пашаев, Ф. А. Пашаева, Б. С. Сәлимова. Бензол вә онун homologлaryның метилциклопентенин фәрди изомерләрилә алкилләшdirilmәsi 25

Кимja

Ж. А. Мирзојаи, Г. В. Kovaljova, И. И. Писман, И. А. Лившиц, Л. М. Коробова, М. А. Далин. Үзәринә натриум ноп-дурулмуш Al_2O_3 катализаторунун иштиракы илә 5 винилбитсикло (2,2,1)-нептен-2-ини изомерләшмәси 28

Гејри-үзви кимja

Н. Б. Шантактийски, Н. Э. Асланов, Э. Э. Мусаев, Х. М. Адыкәзэлов, М. С. Ыусеинов. Нимчәвары дәнәвәрләшdirилчидә үйүдүлмүш алунитин дәнәвәрләшdirilmәси просесинин тәдгиги 32

Нефт кимjasы

Е. Э. Казымов, М. Н. Агаева. Мұтәһәрrik бухар фазаны хроматографиясы 38

Нефт қеолокијасы

О. Ч. Ыусеинзадә, В. Р. Іашенко. Бибиһејбәт нефт јатағы са-һеснида апарылан тәкраб қеодезик нивелирләмә иетичәләринин тәдгигинә даир 42

Минералојија

А. А. Элијев, С. Э. Майдудов, Б. В. Мустафазадэ.
Филизчай колчедан-полиметал јатағында талихит минералының тапылмасы
нагында : 48

Кеолокија

А. Д. Султанов, Н. В. Маммадов. Кичик Гафгазын шимал-
шәрг һиссесиндәки трассларының петрокимиялық үсүсүйлөштөрі : 51

Стратиграфија

Р. А. Алланвердиев. Мәркәзи Габустаның чөнуб золагы дахилин-
да Жуҳары Мајкопун гумлу-килли метафасијасының ябылмасының шимал сәр-
нәдди нагында : 57

Биткиләринг систематикасы

Ә. Хәлилов, Р. Чавадов, С. Зейналов. Зејтуңарпаг
кәвән иөвү нагында систематик анылыш : 62

Торпагшұнаслыг

М. Е. Салаев, Ш. К. Ысәнов, Ж. И. Костјученков. Азәр-
бајчаның әкінчилік торпагларының бонитировкасы : 65

Агрокимја

В. А. Эһмәдоғ. Шоран торпагларының кимјәви мелиорасија фонунда ју-
јулмасында удулмуш катионларының дәйшилмәсі : 69

Кенетика

М. А. Элизадә, Е. М. Ахуидов. Тут јарпагларының јашының
нүчејрәдә олар ДНТ-нин мигдарына тәсирі : 71

Ситолокија

К. М. Расизадә. Бүгда-екилопс індрилдеринин ситолокијасының
өрәннелмәсі : 74

Микробиологија

Ч. М. Дашибаев. Чамышлардан айрылмыш брусселлаларының јарым-
валент вә Тб брусселжоз бактериофагларының мүнасибәти : 77

Етнографија

М. Н. Шабазов. Шаңдағ етник группаларында никан вә тој адәтләре
нагында : 81

Тарих

М. И. Азәрли. IX әсәрнің әрәбдилли мәнбәсінің гәдим Азәрбајчан нагында : 86

СОДЕРЖАНИЕ

Математика

Б. А. Мустафаев. К спектральной теории финитно возмущенного ангармо-
нического оператора на полуоси : 3
В. В. Салаев, А. И. Черкасов. Об одном типе особого интеграла : 7

Математическая физика

О. И. Дағлатов. Численный расчет динамики заряженной пыли в ОТО : 12

Физика

С. А. Гаджиев. Дважды логарифмическая асимптотика образования пары
в поле электрона фотоном : 16

Механика

Г. П. Гусейнов, Ю. Г. Қеримов, И. А. Насруллаев. Приток жидкости
к наклонной скважине в пласте с непроницаемой кровлей и подошвой при
упругом режиме : 20

Органическая химия

Акад. С. Д. Мехтиев, Т. А. Пашаев, Ф. А. Пашаева, Б. С. Салимов. Алкилирование бензола и его гомологов индивидуальными изомерами
метилциклогексенита : 25

Химия

Ж. А. Мирзоян, Г. В. Ковалева, И. И. Письман, И. А. Лившиц,
Л. М. Коробова, акад. М. А. Далин. Изомеризация 5-винилбицикло-(2,2,1)-
гептена-2 в присутствии катализатора натрия на Al_2O_3 : 28

Неорганическая химия

Акад. Г. Б. Шахтахтинский, Г. А. Асланов, А. А. Мусаев,
Х. М. Адыгезалов, М. С. Гусейнов. Исследование процесса грануляции
молотого алюнита в тарельчатом грануляторе : 32

Нефтехимия

Ә. А. Қязимов, М. Н. Агаев. Хроматография с паровыми подвижными
фазами : 38

Геология нефти

О. Д. Гусейнзаде, В. Р. Ященко. К исследованию результатов повтор-
ных геодезических нивелировок на территории Бибизбатского нефтяного
месторождения : 42

Минералогия

А. А. Алиев, С. А. Махмудов, Б. В. Мустафазаде. О находке тал- нахита в Филизчайском месторождении	48
---	----

Геология

Акад. А. Д. Султанов, Н. В. Мамедова. Петрохимические особенности трассов северо-восточной части Малого Кавказа	51
--	----

Стратиграфия

Р. А. Аллахвердиев. К вопросу о северной границе распространения песчано-глинистой лиофации верхнего майкопа в пределах южной полосы Центрального Кубыстана	57
---	----

Систематика растений

Э. Х. Халилов, Р. К. Джавадова, С. А. Зейналова. О системати- ческом положении	62
---	----

Почвоведение

М. З. Салаев, Ш. Г. Гасанов, Ю. И. Костюченко. Бонитировка па- хотных земель Азербайджана	65
--	----

Агрохимия

В. А. Ахмедов. Изменение содержания поглощенных катионов при про- мытке на фоне химической мелиорации глинистых солончаков	69
---	----

Генетика

Член-корр. М. А. Ализаде, Э. М. Ахундова. Влияние возраста листьев шелковицы на содержание ДНК в клетке	71
--	----

Цитология

Г. М. Расизаде. Цитологическое изучение пшениечно-эгипетских гибридов	74
---	----

Микробиология

Д. М. Дащадириров. Отношение бруцелл, выделенных от буйволов, к поли- валентному бруцеллезному бактериофагу и к фагу Тб.	77
---	----

Этиография

М. Г. Шахбазов. О браке и свадебных обрядах народов шахдагской группы	81
---	----

История

М. И. Азерли. Арабоязычный источник IX в. о древнем Азербайджане	86
--	----

ПРАВИЛА ДЛЯ АВТОРОВ

1. В «Докладах Академии наук Азербайджанской ССР» помещаются краткие сообщения, содержащие законченные, еще не опубликованные результаты научных исследований, имеющие теоретическое или практическое значение.

В «Докладах» не публикуются крупные статьи, механически разделенные на ряд отдельных сообщений, статьи полемического характера без новых фактических данных или с описанием промежуточных опытов без определенных выводов и обобщений, работы непринципиальные, описательного или обзорного характера, чисто методические статьи, если предлагаемый метод не является принципиально новым, а также статьи по систематике растений и животных (за исключением описания особо интересных для науки находок).

Статьи, помещаемые в «Докладах», не лишают автора права последующей публикации того же сообщения в развернутом виде в других изданиях.

2. Поступающие в «Доклады» статьи рассматриваются Редакционной коллегией только после представления их академиком по специальности. Каждый академик может представить не более 5-ти статей в год.

Статьи членов-корреспондентов Академии наук Азербайджанской ССР принимаются без представления.

Редакция просит академиков при представлении статьи указывать дату получения ее от автора, а также наименование раздела, в котором статья должна быть помещена.

3. В «Докладах» публикуется не более трех статей одного автора в год.

4. В «Докладах» помещаются статьи, занимающие не более четверти авторского листа — около 6—7 страниц машинописи (10 000 печатных знаков), включая рисунки.

5. Все статьи должны иметь резюме на английском языке; кроме того, статьи, написанные на азербайджанском языке, должны иметь резюме на русском языке и наоборот.

6. В конце статьи должны быть указаны название научного учреждения, в котором выполнена работа, и номер телефона автора.

7. Опубликование результатов работ, проведенных в научных учреждениях должно быть разрешено дирекцией научного учреждения.

8. Статьи (включая и резюме), должны быть напечатаны на машинке через два интервала, на одной стороне листа и представляются в двух экземплярах. Формулы должны быть вписаны четко и ясно, при этом прописные буквы должны быть подчеркнуты (черным карандашом) двумя черточками снизу, а строчные — сверху, буквы греческого алфавита надо обводить красным карандашом.

9. Цитируемая в статье литература должна приводиться не в виде подстрочных сносок, а общим списком (вподбор), в алфавитном порядке (по фамилии автора), в конце статьи с обозначением ссылки в тексте порядковой цифрой. Список литературы должен быть оформлен следующим образом:

а) для книг: фамилия и инициалы автора, полное название книги, номер тома, город, издательство и год издания;

б) для статей в сборниках (трудах): фамилия и инициалы автора, название статьи, название сборника (трудов), том, выпуск, место издания, издательство, год, страница;

в) для журнальных статей: фамилия и инициалы автора, название статьи, название журнала, год, том, номер, (выпуск), страница.

Ссылки на неопубликованные работы не допускаются (за исключением отчетов и диссертаций, хранящихся в научных учреждениях).

10. На обороте рисунков должны быть указаны фамилия автора, название статьи и номер рисунка. Отпечатанные на машинке подписи к рисункам представляются на отдельном листе.

11. Авторы статей должны указывать индекс статьи по Унифицированной десятичной классификации (УДК) и прилагать реферат для «Реферативного журнала».

12. Авторы должны избегать повторения одних и тех же данных в таблицах, графиках и в тексте статьи.

Ввиду небольшого объема статей выводы помещаются лишь в необходимых случаях.

13. В случае представления двух или более статей одновременно необходимо указывать желательный порядок их помещения.

14. Корректура статей авторам как правило не посыпается. В случае посылки корректуры допускается лишь исправление ошибок типографии.

15. Редакция выдает автору бесплатно 15 отдельных оттисков статьи.

Сдано в набор 23/VII 1973 г. Подписано к печати 11/X 1974 г. Формат бумаги
70×108^{1/16}. Бум. лист. 2,88. Печ. лист. 8,05. Уч.-изд. лист 6,75. ФГ 07571.
Заказ 302. Тираж 760. Цена 40 коп.

Типография „Красный Восток“ Государственного комитета Совета Министров
Азербайджанской ССР по делам издательств, полиграфии и книжной торговли:
Баку, Ази Асланова, 80.

